

Genome-wide hydroxymethylcytosine pattern changes in response to oxidative stress

Benjamin Delatte^{1,*}, Jana Jeschke¹, Matthieu Defrance¹, Martin Bachman², Catherine Creppe¹, Emilie Calonne¹, Martin Bizet¹, Rachel Deplus¹, Laura Marroqui³, Myriam Libin⁴, Mirunalini Ravichandran⁵, Françoise Mascart⁴, Decio L. Eizirik³, Adele Murrell², Tomasz P. Jurkowski⁵ & François Fuks^{1,*}

¹Laboratory of Cancer Epigenetics, Faculty of Medicine, ULB, 1070 Brussels, Belgium.

² CRUK Cambridge Institute, University of Cambridge, Cambridge CB2 0RE, United Kingdom.

³ULB, Center for Diabetes Research, Faculty of Medicine, ULB, 1070 Brussels, Belgium.

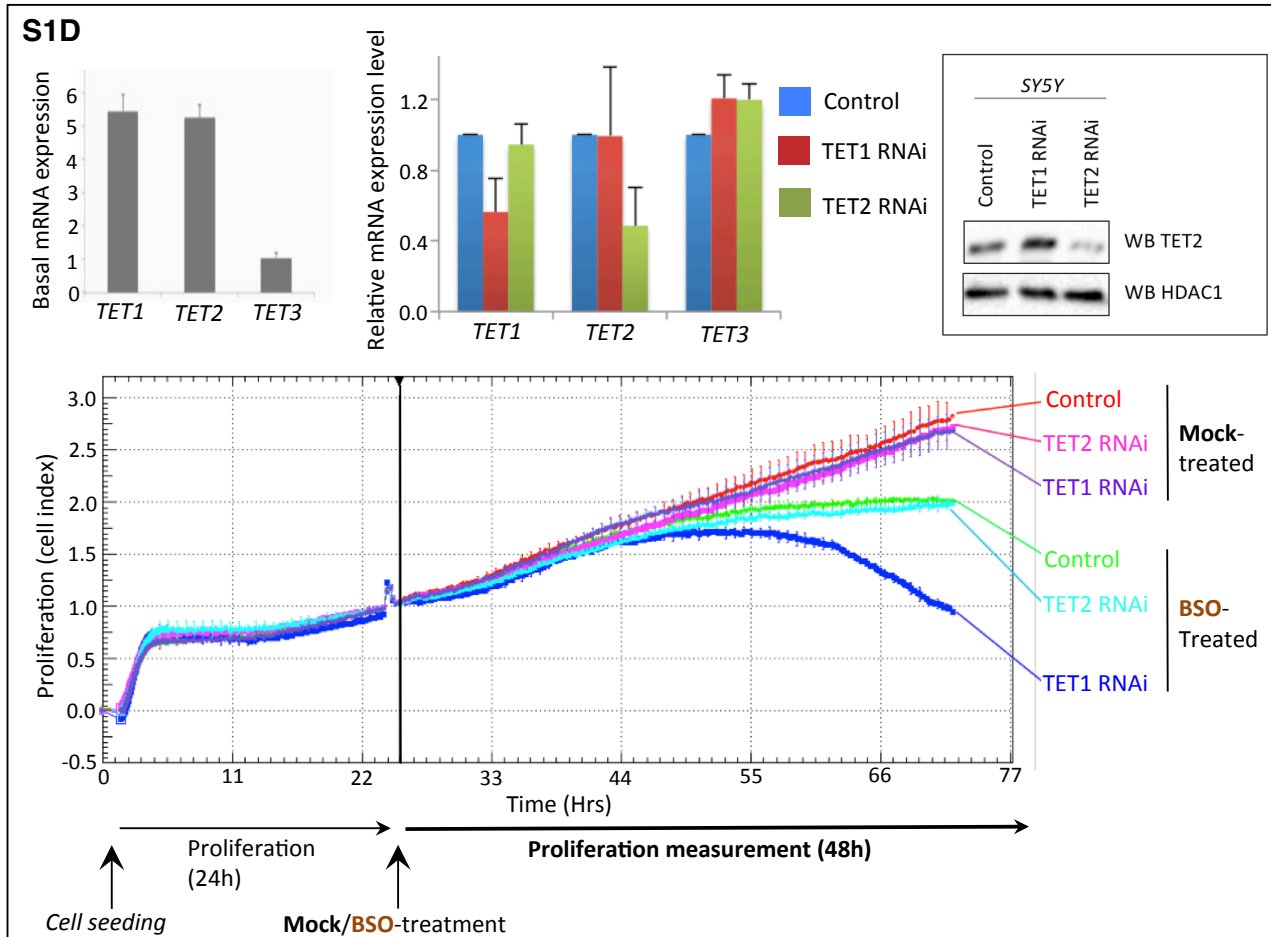
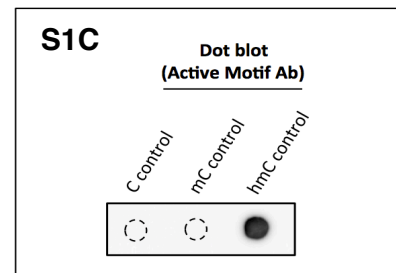
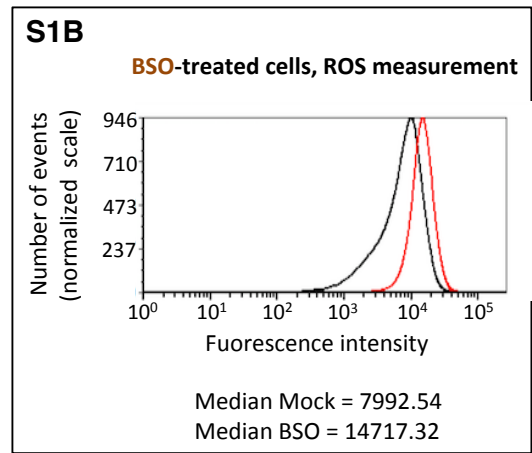
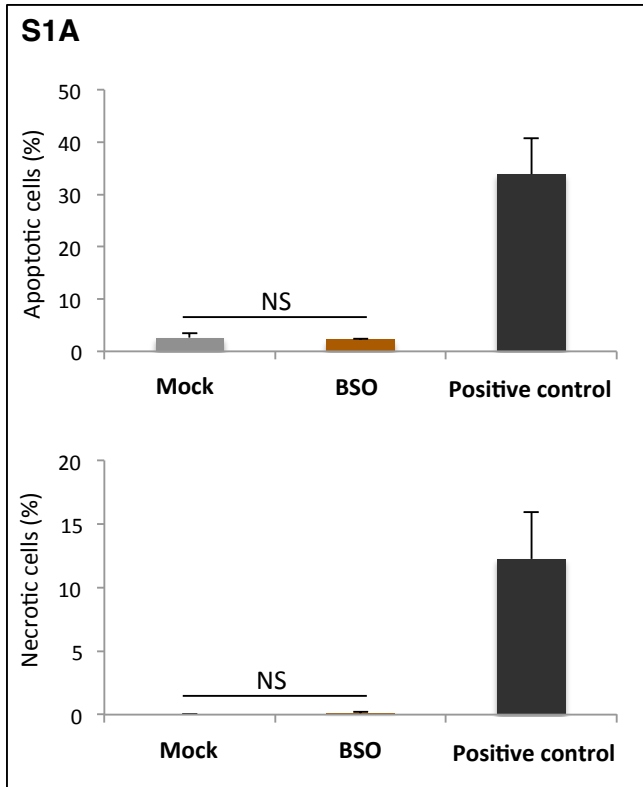
⁴Laboratory of Vaccinology and Mucosal Immunity, Faculty of Medicine, ULB, 1070 Brussels, Belgium.

⁵Institute of Biochemistry, Stuttgart University, 70569 Stuttgart, Germany.

* Corresponding authors:

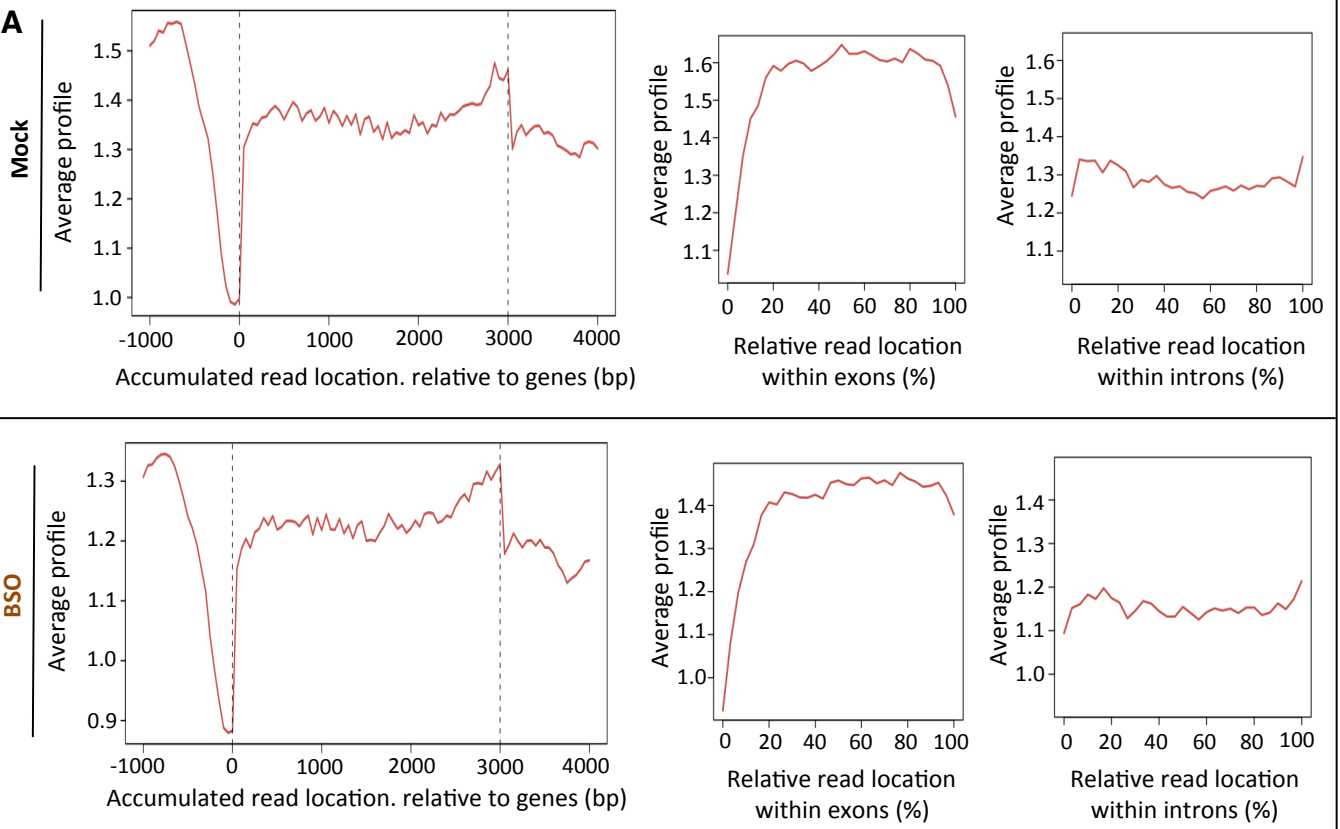
Benjamin Delatte: Tel: 32-2-555.60.16; E-mail: benche65@gmail.com

François Fuks: Tel: 32-2-555.62.45; Fax: 32-2-555.62.57. E-mail: ffuks@ulb.ac.be



Supplementary Figure 1. Delatte *et al.*

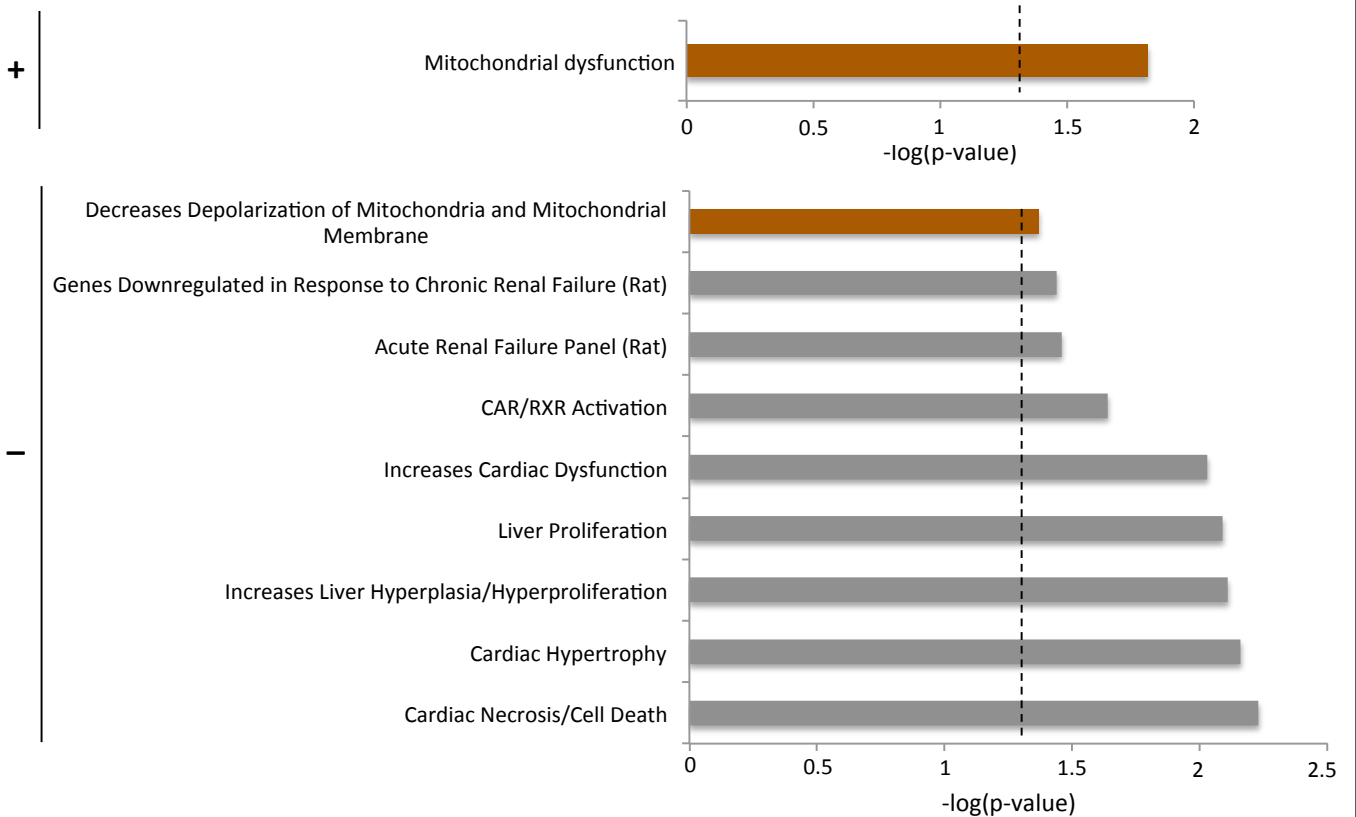
S2A

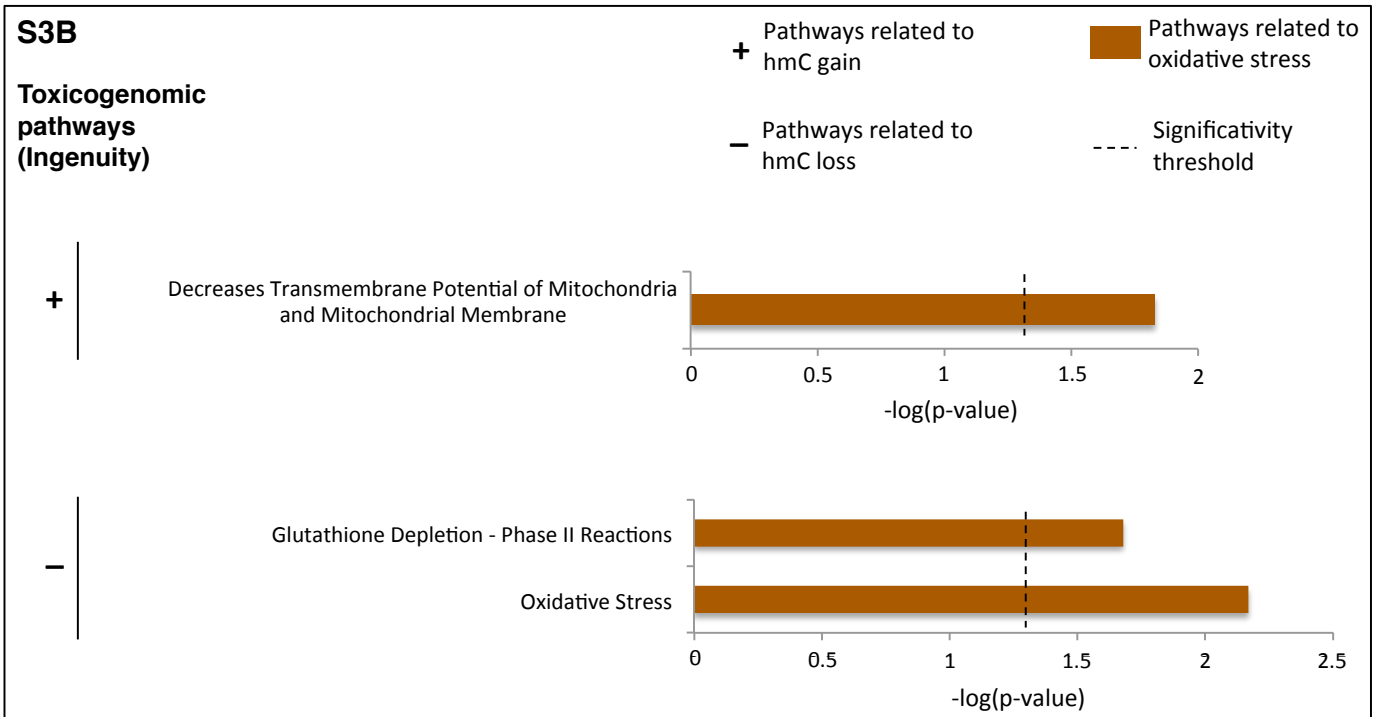
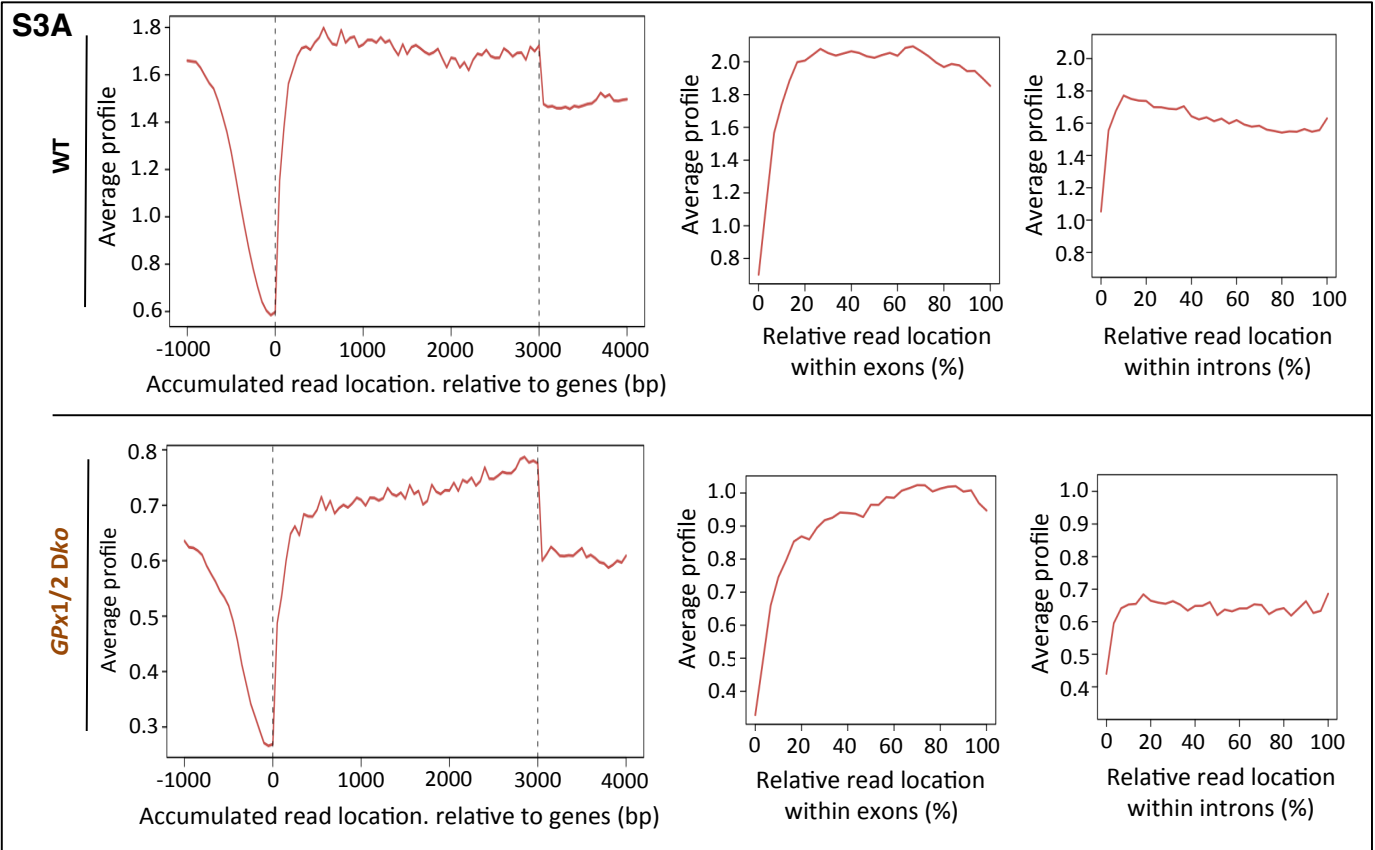


S2B

Toxicogenomic pathways (Ingenuity)

+ Pathways related to hmC gain
 - Pathways related to hmC loss
 Pathways related to oxidative stress
 Significance threshold





S4

Common miRs contained in dhMGs (SY5Y and mice samples)	Increase (+) or decrease (-) hmC in BSO vs mock -treated SY5Y	Increase (+) or decrease (-) hmC in <i>GPx1/2 Dko</i> vs wt mice
miR-1247	-	-
miR-137	+	+
miR-148a	+	+
miR-148b	+	+
miR-15a	-	-
miR-191	-	-
miR-193b	-	-
miR-202	+	+
miR-22	+	+
miR-30a	-	-
miR-31	-	-
miR-449a	+	+
miR-488	-	-
miR-497	+	+
miR-532	-	-
miR-675	+	+
miR-7-2	-	-
miR-877	+	+
miR-let-7d	-	-
miR-let-7g	-	-

Supplementary methods

RNA interference and RT-qPCR analysis

Interfering RNAs for TET1 and TET2 were generated as previously described¹. Briefly, the target sequence used to silence TETs (primers available upon request) were inserted as a short hairpin into the pRetroSuper (pRS) retroviral vector according to the manufacturer's recommendations (OligoEngine), to form TET1 or TET2 RNAi. Retrovirus production by HEK293GP cells and infection of SY5Y were performed as described in¹. Infected cells were selected with 1.5 µg/ml puromycin (Sigma). RNA purification and RT-qPCR analysis were performed as described previously¹. For supplementary Fig S1D (upper right panel), RT-qPCR analysis was performed on mRNAs from TET1- and TET2-knockdown cells (TET1, TET2 RNAi) and results are expressed relatively to the control (pRS-empty). In supplementary Fig S1D (upper left panel), the results are normalized to the level of *HPRT* housekeeping gene. Primers are available upon request.

Dot blot for 5-hydroxymethylcytosine quantification

Isolated genomic DNA was incubated at 95°C for 10 min and immediately chilled on ice to obtain single-stranded DNA. Then, 1.5 µl (approx. 500nG) DNA was spotted in triplicate onto a nylon membrane (GE Healthcare Hybond-N+). After drying the membrane, cross-linking was performed twice with 200 000 µJ/cm² of UV. The membrane was blocked overnight at 4°C in 10% (w/v) non-fat dry milk + 1% (w/v) BSA in PBS+0.1% Tween 20. The membrane was then transferred into blocking solution supplemented with rabbit anti-hmC polyclonal antibodies (from Active Motif) diluted 1:1000. This antibody was validated for specificity in^{2,3} and further validated as shown in supplementary Fig S1C. The quantity of input DNA was assessed by incubation for 1 h on a stripped membrane with human anti-ssDNA antibody (diluted 1:100)

(LSBio). After incubation with the primary antibody, the membrane was washed 3 times for 10 min with PBS+0.1% Tween 20 and transferred into blocking solution supplemented with HRP-conjugated anti-rabbit isotype (GE Healthcare) (diluted 1:5000) or anti-human isotype (Jackson Immuno Research) (diluted 1:10,000), and incubated for 1 h at room temperature. This was followed by 3 washing steps with PBS+0.1% Tween 20. Peroxidase activity was detected by ECL (Western Lightning Plus-ECL, Perkin-Elmer) and signal detection was done with the Bio-Rad ChemiDoc system (Bio-Rad). For spot signal quantification, imageJ64 software was used. Membrane stripping was performed in PBS supplemented with 20% SDS and 1.5% β -mercaptoethanol for 30 minutes at 50°C, then the membrane was washed extensively with PBS+0.1% Tween 20.

Reactive Oxygen Species (ROS) measurements

Cellular ROS production was determined by CM-H2DCFDA staining (Life technologies) by following the manufacturer's protocol. This chloromethyl derivative of H2DCFDA passively diffuses into cells, where its acetate groups are cleaved by intracellular esterases and its thiol-reactive chloromethyl group reacts with intracellular glutathione and other thiols. Subsequent oxidation produces a fluorescent adduct that is trapped inside the cells, and that can be measured by fluorescence, in our case, by FACS measurement. In brief, SY5Y cells were incubated in PBS containing 5 μ M of the CM-H2DCFDA dye for 20 min at 37°C, then cells were further incubated in complete medium for 20 min at 37°C and were trypsinized. Measurements (on the FITC channel) were done on a FACSCanto II flow cytometer (BD Biosciences).

Measures of apoptosis and necrosis

Percentages of viable, apoptotic, and necrotic cells were determined on mock-treated SY5Y cells and on SY5Y cells treated for 48 h with 500 μ M of BSO or 5 μ M rotenone (as a positive control

for apoptosis and necrosis) after a 15-min incubation with the DNA-binding dyes propidium iodide (PI, 5 µg/ml; Sigma) and Hoechst 33342 (HO, 5 µg/ml; Sigma), as previously described ^{4,5}. A minimum of 600 cells was counted for each experimental condition. Apoptosis and necrosis were evaluated by two independent observers, one of them unaware of sample identity. Agreement between the findings of the two observers was >90%. Results are expressed as percentages calculated by dividing the number of apoptotic or necrotic cells by the total number of cells and multiplying by 100.

Proliferation experiments (with the xCELLigence device)

To evaluate SY5Y cell proliferation upon TET depletion (see above) and upon treatment with BSO, cells were seeded into the xCELLigence E-plate 16 (Roche) at 5000 cells/well according to the manufacturer's instructions, and as described in Denis *et al.* (manuscript in preparation). In this system, the electrical impedance is used to derive a cell index which, when continually monitored, gives a real-time representation of cell growth. Measurements were automatically collected with the RTCA DP analyzer every 40 min for up to 48 h. Three technical replicates were produced per condition and the experiment was done at least three independent times. The data were then analyzed with the provided RTCA software.

Library preparation, deep sequencing workflow, and data analysis

Library preparation was done with the TruSeq ChIP Sample Prep Kit (Illumina) according to the manufacturer's instructions. Briefly, captured hydroxymethylated DNA fragments were subjected to 5' and 3' protruding end repair, and non-templated adenines were added to the 3' ends of the blunted DNA fragments. Illumina adapters were ligated and DNA was size selected with a 2% agarose gel cassette (E-gel, Life technologies) in order to remove all unligated adapters and to select for 300-bp fragments. Next, 18 cycles of PCR were done to amplify the library. DNA was

then quantified by fluorometry with the Qubit 2.0 fluorometer (Life technologies) and its integrity was assessed with the Agilent 2100 BioAnalyzer (Agilent). 6 pM of DNA library, spiked with 1% PhiX viral DNA, was clustered on cBot (Illumina), and then sequencing was performed on a HiScanSQ module (Illumina). The BWA software ⁶ was used to map sequencing reads that were mapped to the human genome (NCBI Build 36 / UCSC hg18) (SY5Y cells) or to the mouse genome (NCBI Build 37 / UCSC mm9) (mouse samples). Reads not uniquely mapping to the reference genome were discarded. Raw data are available under the Gene Expression Omnibus [<http://www.ncbi.nlm.nih.gov/geo/query/acc.cgi?token=cfgzooqetvulvgl&acc=GSE59718>] database [GSE59718] ID. Read density was computed by removing duplicate reads (*i.e.* mapping to the same location) and by normalizing the local read count with respect to the total read count. Local enrichment in hmC was evaluated with the MACS software ⁷, with a p-value cut-off < 10e-10. Differences between hmC levels were assessed for all annotated RefSeq transcripts (Gene Body) by first counting the normalized number of reads (FPKM) and then computing the fold change (FPKM condition 1 / FPKM condition 2) and the absolute delta value (FPKM condition 1 - FPKM condition 2) between the two conditions. Genes were sorted according their absolute fold change after discarding genes with a low absolute difference (absolute delta) to avoid artifactual effects. hmC profiles around the TSS and within exons and introns were computed by first computing the local enrichment with the MACS software and then annotating the enrichment with the CEAS software ⁸. All statistics and plotting were done with the R statistical software. To obtain sequencing tracks (Fig 2D and 3D), wig files were uploaded onto the UCSC genome browser.

Supplementary references

- 1 Vire, E. *et al.* The Polycomb group protein EZH2 directly controls DNA methylation. *Nature* **439**, 871-874, doi:10.1038/nature04431 (2006).
- 2 Ito, S. *et al.* Role of Tet proteins in 5mC to 5hmC conversion, ES-cell self-renewal and inner cell mass specification. *Nature* **466**, 1129-1133, doi:10.1038/nature09303 (2010).
- 3 Deplus, R. *et al.* TET2 and TET3 regulate GlcNAcylation and H3K4 methylation through OGT and SET1/COMPASS. *EMBO J* **32**, 645-655, doi:10.1038/emboj.2012.357 (2013).
- 4 Kutlu, B. *et al.* Discovery of gene networks regulating cytokine-induced dysfunction and apoptosis in insulin-producing INS-1 cells. *Diabetes* **52**, 2701-2719 (2003).
- 5 Rasschaert, J. *et al.* Toll-like receptor 3 and STAT-1 contribute to double-stranded RNA+ interferon-gamma-induced apoptosis in primary pancreatic beta-cells. *J Biol Chem* **280**, 33984-33991, doi:10.1074/jbc.M502213200 (2005).
- 6 Li, H. & Durbin, R. Fast and accurate short read alignment with Burrows-Wheeler transform. *Bioinformatics* **25**, 1754-1760, doi:10.1093/bioinformatics/btp324 (2009).
- 7 Zhang, Y. *et al.* Model-based analysis of ChIP-Seq (MACS). *Genome Biol* **9**, R137, doi:10.1186/gb-2008-9-9-r137 (2008).
- 8 Shin, H., Liu, T., Manrai, A. K. & Liu, X. S. CEAS: cis-regulatory element annotation system. *Bioinformatics* **25**, 2605-2606, doi:10.1093/bioinformatics/btp479 (2009).

Supplementary Figure S1 (related to Figure 1). Apoptosis, necrosis, and ROS measurements; dot blot controls and cell proliferation.

(A) Percentages of apoptotic (upper panel) and necrotic (lower panel) cells measured by fluorescence microscopy on SY5Y cells subjected to mock treatment, or treated with 500 μ M of BSO and 5 μ M of rotenone (as a positive control for apoptosis/necrosis) for 48 h. Data are means \pm standard deviations of at least 3 independent experiments. NS = non-significant. **(B)** Reactive oxygen species (ROS) were quantitated by FACS analysis with a CM-H2DCFDA probe after treatment of SY5Y cells with 500 μ M of BSO. Peak shifts towards higher fluorescence intensities in BSO-treated (red peak) versus mock-treated (black peaks) cells, and are indicative of increased intracellular levels of ROS in the former cell population. Median intensities for this representative experiment are also shown. **(C)** Specificity of the anti-hmC antibody used in our experiments: controls with *in vitro* PCR fragments containing only non-modified cytosines (C control), methylated cytosines (mC control), or hydroxymethylated cytosines (hmC control). Dashed circles denote the total absence of signal. **(D)** Proliferation of SY5Y cells after knockdown of *TET1* or *TET2* expression. Upper left panel: Basal levels of *TET1*, *TET2*, and *TET3* transcripts (relative to *HPRT*). Upper right panel: Levels of the three TET transcripts after treatment with *TET1*- or *TET2*-targeting interfering RNA (RNAi). Results are normalized with respect to the levels observed in control cells transfected with an empty vector. On the upper right panel: validation of the *TET2*-targeting RNAi at protein level by western blotting. HDAC1 levels confirm that equal amounts of extract were used. The lower panel shows proliferation curves obtained with the xCelligence device for control-, *TET1*- and *TET2*-knockdown cells, mock-treated or BSO-treated. Briefly, SY5Y cells were seeded and grown for 24 h and then the proliferation of mock- and 500- μ M-BSO-treated cells was monitored continuously for 48 h.

Supplementary Figure S2 (related to Figure 2). Deep-sequencing profiles and Ingenuity toxicogenomic analyses of dhMGs showing an increase or a decrease of hmC in BSO-treated cells.

(A) Upper panels: Normalized average sequencing read counts obtained for mock-treated S5Y5 cells are plotted against the distance upstream or downstream from transcription start site (TSS). Average read accumulation within exons and introns is also shown. Lower panels: same as above, but for BSO-treated cells. (B) Toxicogenomic analyses (IPA-Tox) applied to dhMGs showing an hmC gain in SY5Y cells reveals over-representation of oxidative-stress-related pathways (marked in brown). IPA-Tox applied to dhMGs showing an hmC decrease reveals over-representation of other pathways, such as ones involved in heart or liver physiopathology. In each graph the log(p-value) is plotted on the x-axis and a dashed line indicates the significance threshold for pathway over-representation.

Supplementary Figure S3 (related to Figure 3). Deep-sequencing profiles and Ingenuity toxicogenomic analysis of dhMGs showing an increase or a decrease of hmC in *GPx1/2 Dko* mice.

(A) Upper panels: Average normalized sequencing reads corresponding to dhMGs are plotted as a function of distance upstream or downstream from the transcription start site (TSS) in epithelial cells from wt mice. Average read accumulation within exons and introns is also shown. Lower panels: Same as above, but for *GPx1/2 Dko* mice. Representative experiment. (B) IPA-Tox applied to dhMGs identified in cells from the large intestine of mice: oxidative-stress-related pathways (marked in brown) appear over-represented whether the dhMGs display a gain or a loss of hmC in *GPx1/2 Dko* vs. wt mice (data from the two sequencing experiments). In each graph the x axis shows the log(p-value) and a dashed line indicates the significance threshold for

pathway over-representation.

Supplementary Figure S4 (related to Figure 4). Differentially hydroxymethylated microRNA regions common in SY5Y cells and in mice samples.

A list of the 20 human (SY5Y) and mouse miRs is shown here. They were selected by comparing dhMGs in BSO- vs. mock-treated SY5Y and in *GPx1/2 Dko* vs. wt mice. A “+” means that there is an increase in hmC in BSO- vs. mock-treated SY5Y cells (column 2) and in *GPx1/2 Dko* vs. wt mouse samples (column 3). Accordingly, a “-” means that there is a decrease in hmC in BSO- vs. mock-treated SY5Y cells (column 2) and in *GPx1/2 Dko* vs. wt mouse samples.

SUPPLEMENTARY TABLES

Table I (related to Fig. 2a). Gene symbol and hmC Fold enrichment (BSO vs Mock).

Differentially hydroxymethylated regions (dhMRs) on gene-coding sequences, identified upon comparison of hmC profiles of BSO and mock -treated SY5Y cells.

Table II (related to Fig. 3a). Gene symbol, mice normalized intensity of reads, mean of the duplicate, and hmC Fold enrichment (Dko vs wt).

Differentially hydroxymethylated regions (dhMRs) on gene-coding sequences, identified upon comparison of hmC profiles of *GPx1/2* double-knockout (*Dko*) and wild-type (wt) mice.

Table III (related to Fig. 4a). MiRs found in mice or in SY5Y cells.

Differentially hydroxymethylated MicroRNA genes identified upon comparison of hmC profiles of BSO and mock -treated SY5Y cells (“miRs-SY5Y”), and upon comparison of hmC profiles of *GPx1/2* double-knockout and wild-type mice (“miRs-mice”).

Table IV (related to Fig. 4b). MiRWalk Predicted mRNAs found in mice or in SY5Y cells, as well as common mRNAs found in mice and in SY5Y cells.

MiRWalk Predicted SY5Y and mice transcripts of the 20 differentially hydroxymethylated miRs identified upon comparison of hmC profiles of BSO and mock -treated SY5Y cells, and upon comparison of hmC profiles of *GPx1/2* double-knockout and wild-type mice.

Table 1 Gene symbol and hmC Fold enrichment (BSO vs Mock), related to Fig. 2a

Gene symbol	hmC Fold enrichment (BSO vs Mock)
<i>USP9Y</i>	inf
<i>NLGN4Y</i>	inf
<i>NBPF24</i>	inf
<i>NBPF11</i>	inf
<i>THAP4</i>	inf
<i>GPR89C</i>	inf
<i>BTNL8</i>	inf
<i>TXLNG2P</i>	inf
<i>HGD</i>	inf
<i>NBPF24</i>	inf
<i>LOC100130000</i>	inf
<i>BCORP1</i>	inf
<i>BMS1P5</i>	inf
<i>TXLNG2P</i>	inf
<i>LOC653501</i>	inf
<i>CRLF2</i>	inf
<i>CRLF2</i>	inf
<i>NPIPA3</i>	inf
<i>NPIPA2</i>	inf
<i>RIMBP3B</i>	inf
<i>SPACA5</i>	inf
<i>DGAT1</i>	inf
<i>GOLGA6L1</i>	inf
<i>UGT2B15</i>	inf
<i>PLGLB2</i>	inf
<i>PLGLB1</i>	inf
<i>TRIM53AP</i>	inf
<i>ANAPC11</i>	inf
<i>ANKRD20A3</i>	inf
<i>ANKRD20A2</i>	inf
<i>ARHGEF35</i>	inf
<i>PRAMEF5</i>	inf
<i>PRAMEF6</i>	inf
<i>LOC100133267</i>	inf
<i>SPATA31A2</i>	inf
<i>SPATA31A1</i>	inf
<i>TMEM167B</i>	inf
<i>EIF3CL</i>	inf
<i>EIF3C</i>	inf
<i>TCP11X2</i>	inf
<i>SCRT1</i>	inf
<i>DUX4L</i>	inf

<i>OPN1MW</i>	inf
<i>DEFB107A</i>	inf
<i>TAF9B</i>	inf
<i>OPN1MW2</i>	inf
<i>LOC151009</i>	inf
<i>PRAMEF6</i>	inf
<i>LOC440894</i>	inf
<i>TMSB4Y</i>	inf
<i>DEFB106B</i>	inf
<i>PRAMEF23</i>	inf
<i>LOC100133267</i>	inf
<i>GAGE2E</i>	inf
<i>FAM225A</i>	inf
<i>RIMBP3C</i>	inf
<i>KIF22</i>	inf
<i>PRAMEF13</i>	inf
<i>CTAGE4</i>	inf
<i>OR6T1</i>	inf
<i>OR2W1</i>	inf
<i>OR7A17</i>	inf
<i>FFAR3</i>	inf
<i>SPATA31D4</i>	inf
<i>FAM27A</i>	inf
<i>PRAMEF16</i>	inf
<i>AMY1A</i>	inf
<i>LOC100287728</i>	inf
<i>AMY1A</i>	inf
<i>AMY1C</i>	inf
<i>AMY1B</i>	inf
<i>PRAMEF10</i>	inf
<i>PRAMEF22</i>	inf
<i>MTRNR2L8</i>	inf
<i>KRTAP13-3</i>	inf
<i>KRTAP29-1</i>	inf
<i>DDX11L1</i>	inf
<i>OR2L3</i>	inf
<i>OR2T27</i>	inf
<i>FBXO22-AS1</i>	inf
<i>RNASE8</i>	inf
<i>MIR3163</i>	inf
<i>LOC100289656</i>	inf
<i>FAM25B</i>	inf
<i>POU5F1P3</i>	inf
<i>C9orf169</i>	inf
<i>REXO1L2P</i>	inf
<i>LOC100272216</i>	inf

<i>FAM226B</i>	inf
<i>OR52E8</i>	inf
<i>KRTAP10-10</i>	inf
<i>FOXD4L3</i>	inf
<i>H1FX</i>	inf
<i>OR13H1</i>	inf
<i>FAM27B</i>	inf
<i>SNORA11</i>	inf
<i>SNORA7B</i>	inf
<i>SCARNA3</i>	inf
<i>PABPC1L2B</i>	inf
<i>LCE3A</i>	inf
<i>PRR21</i>	inf
<i>CXorf27</i>	inf
<i>DPM3</i>	inf
<i>IFNA7</i>	inf
<i>MRPL53</i>	inf
<i>OR7E37P</i>	inf
<i>PRR20E</i>	inf
<i>OR13C2</i>	inf
<i>OR8H3</i>	inf
<i>MIR660</i>	inf
<i>MIR502</i>	inf
<i>MIR3613</i>	inf
<i>MIR497</i>	inf
<i>SNORD115-10</i>	inf
<i>SNORD115-14</i>	inf
<i>SNORD115-19</i>	inf
<i>MIR4503</i>	inf
<i>MIR638</i>	inf
<i>MIR520E</i>	inf
<i>MIR941-3</i>	inf
<i>MIR941-2</i>	inf
<i>MIR5004</i>	inf
<i>MIR580</i>	inf
<i>MIR3960</i>	inf
<i>OR4M2</i>	inf
<i>LOC649352</i>	inf
<i>SF3B5</i>	inf
<i>SPANXC</i>	inf
<i>OR52N4</i>	inf
<i>OR4C13</i>	inf
<i>DPM3</i>	inf
<i>OR2T33</i>	inf
<i>OR2T35</i>	inf
<i>HIST1H4G</i>	inf

<i>OR8B2</i>	inf
<i>HIST1H3A</i>	inf
<i>CLDN17</i>	inf
<i>DUX4L4</i>	inf
<i>OR4F17</i>	inf
<i>SNHG9</i>	inf
<i>OR1E2</i>	inf
<i>MIR3652</i>	inf
<i>BACE1-AS</i>	inf
<i>WWOX</i>	inf
<i>SNORA4</i>	inf
<i>HIST1H3H</i>	inf
<i>MIR4767</i>	inf
<i>MIR4329</i>	inf
<i>MIR888</i>	inf
<i>MIR4302</i>	inf
<i>MIR4488</i>	inf
<i>MIR4294</i>	inf
<i>MIR4482-1</i>	inf
<i>MIR484</i>	inf
<i>MIR328</i>	inf
<i>SNORD114-8</i>	inf
<i>MIR296</i>	inf
<i>MIR3197</i>	inf
<i>SNORA22</i>	inf
<i>HIST1H4H</i>	inf
<i>MIR3692</i>	inf
<i>MIR711</i>	inf
<i>MIR4446</i>	inf
<i>MIR5703</i>	inf
<i>SNORD74</i>	inf
<i>MIR4260</i>	inf
<i>MIR4667</i>	inf
<i>MIR4668</i>	inf
<i>HNRNPCP5</i>	inf
<i>HCG14</i>	inf
<i>WFDC12</i>	inf
<i>OR2A4</i>	inf
<i>OR10H3</i>	inf
<i>OR11H1</i>	inf
<i>KRTAP13-4</i>	inf
<i>USP17L9P</i>	inf
<i>USP17L22</i>	inf
<i>OR5M10</i>	inf
<i>OR56A4</i>	inf
<i>FAM163B</i>	inf

<i>MIR221</i>	inf
<i>MIR106A</i>	inf
<i>MIR4725</i>	inf
<i>SNORD116-4</i>	inf
<i>SNORD116-16</i>	inf
<i>MIR329-2</i>	inf
<i>MIR320C1</i>	inf
<i>MIR5090</i>	inf
<i>MIR1236</i>	inf
<i>MIR324</i>	inf
<i>SNORD115-23</i>	inf
<i>MIR4307</i>	inf
<i>MIR527</i>	inf
<i>MIR4741</i>	inf
<i>MIR548F4</i>	inf
<i>MIR449A</i>	inf
<i>MIR3655</i>	inf
<i>MIR3921</i>	inf
<i>MIR942</i>	inf
<i>SNORA20</i>	inf
<i>SCARNA23</i>	inf
<i>MIR498</i>	inf
<i>TAS2R40</i>	inf
<i>HIST1H2AM</i>	inf
<i>CGB7</i>	inf
<i>OR10A2</i>	inf
<i>HIST1H3F</i>	inf
<i>TAS2R8</i>	inf
<i>OR11G2</i>	inf
<i>KRTAP8-1</i>	inf
<i>OR1D4</i>	inf
<i>FTH1P18</i>	inf
<i>OR1M1</i>	inf
<i>OR5M1</i>	inf
<i>OR6K6</i>	inf
<i>RPL23AP32</i>	inf
<i>OR10H5</i>	inf
<i>MIR5582</i>	inf
<i>OR5F1</i>	inf
<i>MIR4483</i>	inf
<i>SNORD49B</i>	inf
<i>MIR1910</i>	inf
<i>SNORD109A</i>	inf
<i>SNORD113-6</i>	inf
<i>MIR3201</i>	inf
<i>SNORD12C</i>	inf

<i>MIR4645</i>	inf
<i>MIR4270</i>	inf
<i>MIR4782</i>	inf
<i>SNORD38B</i>	inf
<i>MIR4711</i>	inf
<i>KRTAP19-8</i>	inf
<i>MIR450A2</i>	inf
<i>MIR1912</i>	inf
<i>RNU6-78P</i>	inf
<i>MIR670</i>	inf
<i>MIR548AR</i>	inf
<i>RNU6-59P</i>	inf
<i>MIR4726</i>	inf
<i>MIR4315-1</i>	inf
<i>MIR3178</i>	inf
<i>SNORD115-5</i>	inf
<i>SNORD115-10</i>	inf
<i>SNORD115-13</i>	inf
<i>SNORD115-25</i>	inf
<i>SNORD115-47</i>	inf
<i>MIR4312</i>	inf
<i>MIR3173</i>	inf
<i>SNORD113-7</i>	inf
<i>SNORD114-1</i>	inf
<i>MIR889</i>	inf
<i>MIR655</i>	inf
<i>MIR369</i>	inf
<i>MIR4710</i>	inf
<i>MIR4999</i>	inf
<i>MIR515-2</i>	inf
<i>MIR517C</i>	inf
<i>MIR1257</i>	inf
<i>MIR941-4</i>	inf
<i>MIR941-2</i>	inf
<i>MIR4652</i>	inf
<i>MIR592</i>	inf
<i>SNORD52</i>	inf
<i>MIR548AD</i>	inf
<i>SNORA47</i>	inf
<i>RNU6-69P</i>	inf
<i>MIR1301</i>	inf
<i>MIR216B</i>	inf
<i>MIR4444-1</i>	inf
<i>MIR1258</i>	inf
<i>MIR3129</i>	inf
<i>MIR4689</i>	inf

<i>MIR4695</i>	inf
<i>MIR137</i>	inf
<i>MIR2861</i>	inf
<i>SNORD36C</i>	inf
<i>MIR1322</i>	inf
<i>MIR3610</i>	inf
<i>OR51A4</i>	inf
<i>PPIAL4G</i>	inf
<i>MRPL41</i>	inf
<i>RPL23AP64</i>	inf
<i>DEFA9P</i>	inf
<i>OR1A1</i>	inf
<i>HIST1H3I</i>	inf
<i>MIR504</i>	inf
<i>MIR507</i>	inf
<i>MIR548X2</i>	inf
<i>MIR1287</i>	inf
<i>MIR378C</i>	inf
<i>MIR144</i>	inf
<i>MIR4737</i>	inf
<i>SNORD1B</i>	inf
<i>SNORD60</i>	inf
<i>MIR940</i>	inf
<i>SNORD116-9</i>	inf
<i>SNORD115-35</i>	inf
<i>SNORD115-10</i>	inf
<i>MIR4748</i>	inf
<i>MIR519C</i>	inf
<i>MIR519B</i>	inf
<i>MIR520C</i>	inf
<i>MIR521-2</i>	inf
<i>MIR593</i>	inf
<i>MIR9-2</i>	inf
<i>MIR1289-2</i>	inf
<i>MIR4267</i>	inf
<i>OR6C75</i>	inf
<i>MIR3169</i>	inf
<i>SNORD86</i>	inf
<i>MIR5707</i>	inf
<i>MIR194-1</i>	inf
<i>SPRR2A</i>	inf
<i>OR8D4</i>	inf
<i>C6orf226</i>	inf
<i>PI3</i>	inf
<i>KRTAP9-6</i>	inf
<i>HIST1H2BD</i>	inf

<i>LOC100240734</i>	inf
<i>KRTAP12-4</i>	inf
<i>MIR510</i>	inf
<i>MIR675</i>	inf
<i>SNORD114-6</i>	inf
<i>MIR376C</i>	inf
<i>MIR3192</i>	inf
<i>SNORD45C</i>	inf
<i>SNORD45B</i>	inf
<i>MIR4423</i>	inf
<i>SNAR-I</i>	inf
<i>NAT8B</i>	inf
<i>SNORA23</i>	inf
<i>LOC100996349</i>	inf
<i>MIR636</i>	inf
<i>MIR412</i>	inf
<i>SNORD19B</i>	inf
<i>MIR3663</i>	inf
<i>MIR489</i>	inf
<i>MIR1324</i>	inf
<i>SNORA5B</i>	inf
<i>HIST1H2BI</i>	inf
<i>MIR4500</i>	inf
<i>MIR3913-1</i>	inf
<i>MIR3913-2</i>	inf
<i>MIR1178</i>	inf
<i>MIR4694</i>	inf
<i>MIR4490</i>	inf
<i>MIRLET7A2</i>	inf
<i>MIR548AV</i>	inf
<i>MIR3158-2</i>	inf
<i>MIR146B</i>	inf
<i>MIR4484</i>	inf
<i>SNORD49A</i>	inf
<i>MIR4732</i>	inf
<i>MIR4728</i>	inf
<i>MIR4719</i>	inf
<i>SNORD64</i>	inf
<i>SNORD116-24</i>	inf
<i>SNORD115-4</i>	inf
<i>SNORD115-28</i>	inf
<i>MIR3175</i>	inf
<i>MIR4707</i>	inf
<i>MIR487B</i>	inf
<i>SNORA28</i>	inf
<i>SNORD83B</i>	inf

<i>RNU6-33P</i>	inf
<i>MIR4464</i>	inf
<i>MIR4442</i>	inf
<i>MIR4443</i>	inf
<i>MIR4262</i>	inf
<i>MIR4417</i>	inf
<i>MIR30C1</i>	inf
<i>SNORD46</i>	inf
<i>MIR557</i>	inf
<i>MIR1278</i>	inf
<i>MIR4671</i>	inf
<i>MIR601</i>	inf
<i>MIR4669</i>	inf
<i>MIR3689E</i>	inf
<i>MIR4292</i>	inf
<i>MIR4470</i>	inf
<i>MIR4661</i>	inf
<i>SNORA56</i>	inf
<i>SCARNA22</i>	inf
<i>MIR5094</i>	inf
<i>MIR342</i>	inf
<i>MIR647</i>	inf
<i>KRTAP19-5</i>	inf
<i>SNORD70</i>	inf
<i>MIR765</i>	inf
<i>MIR509-3</i>	inf
<i>SNORD115-45</i>	inf
<i>MIR3650</i>	inf
<i>MIR3675</i>	inf
<i>MIR1976</i>	inf
<i>IFNA6</i>	inf
<i>SNORA32</i>	inf
<i>MIR22</i>	inf
<i>MIR516B1</i>	inf
<i>SNORD119</i>	inf
<i>SNORD92</i>	inf
<i>HIST1H2BO</i>	inf
<i>MIR1260B</i>	inf
<i>MIR3183</i>	inf
<i>MIR4513</i>	inf
<i>SNORD59B</i>	inf
<i>MIR4708</i>	inf
<i>MIR3925</i>	inf
<i>MIR605</i>	inf
<i>SNORD115-40</i>	inf
<i>MIR1179</i>	inf

<i>MIR643</i>	inf
<i>SNORA72</i>	inf
<i>MIR555</i>	inf
<i>MIR1244-1</i>	inf
<i>MIR148B</i>	inf
<i>MIR603</i>	inf
<i>SNORD4B</i>	inf
<i>SNORD114-17</i>	inf
<i>MIR380</i>	inf
<i>MIR4745</i>	inf
<i>SNORD105B</i>	inf
<i>SNORD88B</i>	inf
<i>MIR519E</i>	inf
<i>MIR516A2</i>	inf
<i>MIR4325</i>	inf
<i>MIR3914-1</i>	inf
<i>MIR3914-2</i>	inf
<i>SNORD96A</i>	inf
<i>SNORD95</i>	inf
<i>MIR217</i>	inf
<i>MIR4436A</i>	inf
<i>MIR561</i>	inf
<i>MIR4255</i>	inf
<i>MIR3117</i>	inf
<i>MIR181B2</i>	inf
<i>MIR551B</i>	inf
<i>MIR3659</i>	inf
<i>MIR4478</i>	inf
<i>MIR2117</i>	inf
<i>SNORA15</i>	inf
<i>MIR511-1</i>	inf
<i>MIR493</i>	inf
<i>MIR1262</i>	inf
<i>MIR377</i>	inf
<i>MIR4775</i>	inf
<i>MIR1283-1</i>	inf
<i>MIR222</i>	inf
<i>MIR635</i>	inf
<i>SNORD116-21</i>	inf
<i>SNORD115-27</i>	inf
<i>SNORD58A</i>	inf
<i>MIR644A</i>	inf
<i>MIR3646</i>	inf
<i>SNORD63</i>	inf
<i>MIR146A</i>	inf
<i>SNORA16B</i>	inf

<i>MIR483</i>	inf
<i>SNORD116-27</i>	inf
<i>MIR5186</i>	inf
<i>MIR891B</i>	inf
<i>MIR508</i>	inf
<i>SNORD26</i>	inf
<i>MIR5579</i>	inf
<i>MIR553</i>	inf
<i>SNORA1</i>	inf
<i>MIR4263</i>	inf
<i>MIR3910-1</i>	inf
<i>MIR4298</i>	inf
<i>MIR4281</i>	inf
<i>SNORA62</i>	inf
<i>MIR3910-2</i>	inf
<i>KRTAP4-3</i>	41,03
<i>OR5J2</i>	40,49
<i>ACTRT2</i>	35,64
<i>OR52H1</i>	23,22
<i>OR5D18</i>	23,22
<i>SCARNA13</i>	22,68
<i>MIR597</i>	22,67
<i>TMEM256</i>	22,41
<i>MIR184</i>	20,51
<i>SNORA77</i>	19,44
<i>CLDN8</i>	19,44
<i>C6orf100</i>	17,28
<i>OR5H1</i>	16,20
<i>HBE1</i>	14,85
<i>OR51Q1</i>	14,85
<i>C16orf91</i>	14,58
<i>MC3R</i>	14,31
<i>FAM218A</i>	14,04
<i>SNORA67</i>	14,04
<i>OR1L4</i>	13,50
<i>OR10G7</i>	13,23
<i>MIR4784</i>	12,96
<i>OR10A5</i>	12,42
<i>RETN</i>	12,31
<i>H2AFX</i>	12,24
<i>OR13J1</i>	12,15
<i>TIMM8A</i>	11,52
<i>SPRR2G</i>	11,11
<i>FTH1P3</i>	11,07
<i>NEUROG1</i>	10,80
<i>PPBPP2</i>	10,80

<i>KRTAP5-11</i>	10,80
<i>HBA1</i>	10,80
<i>SPCS1</i>	10,58
<i>OR5C1</i>	10,53
<i>LOC100286922</i>	10,08
<i>OR4K15</i>	10,08
<i>MIR29B1</i>	9,72
<i>OR1E1</i>	9,72
<i>SPINT4</i>	9,45
<i>LCE1A</i>	9,18
<i>MIR892B</i>	8,64
<i>MIR1827</i>	8,64
<i>MIR4514</i>	8,64
<i>MIR516A1</i>	8,64
<i>MIR3664</i>	8,64
<i>SNORA58</i>	8,64
<i>OR5H15</i>	8,64
<i>OR9G4</i>	8,28
<i>HIST1H2AH</i>	8,10
<i>KT112</i>	8,10
<i>OR51S1</i>	7,78
<i>POU5F1B</i>	7,56
<i>MIR376A1</i>	7,56
<i>NAP1L2</i>	7,56
<i>IGBP1P1</i>	7,41
<i>PCDHGA1</i>	7,39
<i>FAM26F</i>	7,38
<i>OR1G1</i>	7,29
<i>LOC1720</i>	7,29
<i>OR3A2</i>	7,20
<i>DEFB129</i>	7,13
<i>KRTAP13-1</i>	7,13
<i>OR6P1</i>	7,02
<i>GPHA2</i>	7,02
<i>SLC35G4</i>	7,02
<i>SNORD35A</i>	7,02
<i>MIR550A1</i>	7,02
<i>SNORD24</i>	7,02
<i>NAT8</i>	6,79
<i>BLOC1S4</i>	6,75
<i>OR4D11</i>	6,75
<i>OR5T1</i>	6,75
<i>OR4C16</i>	6,70
<i>LOC283352</i>	6,69
<i>LOC100270804</i>	6,60
<i>MAGEA6</i>	6,48

<i>MIR4637</i>	6,48
<i>SNORA2B</i>	6,48
<i>MIR4714</i>	6,48
<i>MIR885</i>	6,48
<i>MIR4677</i>	6,48
<i>SNORA74B</i>	6,48
<i>DEFB113</i>	6,48
<i>MIR326</i>	6,48
<i>MIR645</i>	6,48
<i>OR4A47</i>	6,48
<i>SCARNA4</i>	6,48
<i>TAAR3</i>	6,24
<i>TPRX1</i>	6,21
<i>ALYREF</i>	6,21
<i>SNORA9</i>	6,21
<i>MTRNR2L5</i>	6,15
<i>SNORA29</i>	5,94
<i>SNORD33</i>	5,94
<i>LOC392452</i>	5,80
<i>SULT1A4</i>	5,76
<i>LOC100128573</i>	5,76
<i>RPS14P3</i>	5,67
<i>LOC401127</i>	5,67
<i>ZNRF2P1</i>	5,67
<i>C16orf90</i>	5,52
<i>CYP2A6</i>	5,49
<i>RAD21-AS1</i>	5,48
<i>CGB8</i>	5,40
<i>OR5K4</i>	5,40
<i>MIR365A</i>	5,40
<i>MIR4257</i>	5,40
<i>TAS2R31</i>	5,40
<i>LOC100132781</i>	5,40
<i>FKBPL</i>	5,40
<i>OR10T2</i>	5,40
<i>TTC3P1</i>	5,40
<i>TAS2R16</i>	5,40
<i>LCE4A</i>	5,40
<i>SNORD85</i>	5,40
<i>MIR4763</i>	5,40
<i>GLUD1P7</i>	5,40
<i>MAGEB16</i>	5,36
<i>DBIL5P2</i>	5,28
<i>KMT2E-AS1</i>	5,24
<i>HUS1B</i>	5,22
<i>SNAR-A10</i>	5,18

ZNF705B	5,18
SERF1A	5,13
SERF1B	5,13
OR5AC2	5,13
SCGB1D1	5,10
ATP6V0CP3	5,09
MKRN9P	5,08
TPD52L3	5,07
ACTRT1	4,99
OR2G6	4,99
FAM27E2	4,97
SAA3P	4,95
FFAR1	4,94
HIST1H4D	4,86
SNORD111B	4,86
MIR378D2	4,86
OR5L1	4,86
LOC254128	4,83
IGFL1	4,83
UGT2B15	4,80
CTAGE6	4,80
LOC100133985	4,78
TCEAL6	4,75
RBMXL2	4,68
MIR1-2	4,68
LOC613038	4,68
MIR4683	4,68
POU6F2-AS1	4,66
OR10W1	4,62
OR52E2	4,59
MIR657	4,53
FERD3L	4,50
IL36A	4,50
ZNF32-AS1	4,50
REG1P	4,48
HIST1H1D	4,45
LOC641515	4,45
MEIS3P1	4,44
YBX3P1	4,42
PWAR4	4,32
MIR3658	4,32
MIR4288	4,32
MIR4536-1	4,32
MIR4639	4,32
MIR4804	4,32
MIR524	4,32

<i>DCAF12L1</i>	4,32
<i>PSENN</i>	4,32
<i>KRTAP19-1</i>	4,32
<i>MIR4467</i>	4,32
<i>SCARNA5</i>	4,32
<i>MIR1224</i>	4,32
<i>MIR770</i>	4,32
<i>OR2H2</i>	4,32
<i>OR52B4</i>	4,32
<i>MIR2110</i>	4,32
<i>SNORD51</i>	4,32
<i>HIST4H4</i>	4,32
<i>P2RY13</i>	4,27
<i>LAMB2P1</i>	4,25
<i>CAPZA3</i>	4,24
<i>SLC6A10P</i>	4,20
<i>BTF3P11</i>	4,20
<i>RPL7A</i>	4,18
<i>MIR4308</i>	4,17
<i>HIST1H2BB</i>	4,12
<i>DEFB104B</i>	4,10
<i>MTRNR2L4</i>	4,10
<i>FAM181B</i>	4,09
<i>JUNB</i>	4,08
<i>IRGM</i>	4,07
<i>GOLGA80</i>	4,05
<i>GPR89C</i>	4,05
<i>OR5K2</i>	4,05
<i>TAAR9</i>	4,05
<i>SPAG11B</i>	4,05
<i>GPR174</i>	4,05
<i>SMN2</i>	4,05
<i>SMN1</i>	4,05
<i>HIST1H2AA</i>	4,05
<i>OR5A2</i>	4,05
<i>CCR5</i>	4,05
<i>TNFRSF17</i>	4,02
<i>CXADRP2</i>	3,99
<i>IL37</i>	3,98
<i>OR2W5</i>	3,98
<i>LCE3B</i>	3,96
<i>MIR4738</i>	3,96
<i>CEMP1</i>	3,96
<i>GPR148</i>	3,96
<i>RPL23P8</i>	3,96
<i>LINC00982</i>	3,95

<i>CCL4</i>	3,94
<i>MRPL17</i>	3,94
<i>OR52A5</i>	3,91
<i>TSPYL6</i>	3,89
<i>KRTAP25-1</i>	3,89
<i>SDHAF1</i>	3,89
<i>OR5R1</i>	3,89
<i>ZNF135</i>	3,88
<i>KLRC2</i>	3,87
<i>HLA-DOA</i>	3,87
<i>LCE1B</i>	3,86
<i>IRS4</i>	3,86
<i>C8orf33</i>	3,85
<i>HOXA7</i>	3,84
<i>PWAR1</i>	3,83
<i>NKX2-3</i>	3,83
<i>SNORD56</i>	3,78
<i>MIR133A1</i>	3,78
<i>RPL21P44</i>	3,78
<i>OR2AK2</i>	3,78
<i>OR7D4</i>	3,78
<i>OR5W2</i>	3,78
<i>POU3F4</i>	3,78
<i>HIST1H2BH</i>	3,78
<i>MIR526A1</i>	3,78
<i>GOLGA8G</i>	3,78
<i>SARS</i>	3,76
<i>FOXF1</i>	3,76
<i>BEX4</i>	3,73
<i>OR5D13</i>	3,73
<i>CMA1</i>	3,68
<i>IL37</i>	3,68
<i>OR52I1</i>	3,67
<i>RBM5-AS1</i>	3,67
<i>GLUD2</i>	3,66
<i>LOC254128</i>	3,66
<i>KRTAP5-5</i>	3,64
<i>EID2</i>	3,64
<i>OR4K5</i>	3,64
<i>CST2</i>	3,63
<i>TPD52L3</i>	3,63
<i>RPL13P5</i>	3,62
<i>GAS1</i>	3,61
<i>OR52N2</i>	3,60
<i>KRTAP9-4</i>	3,60
<i>MIR548A1</i>	3,60

<i>REG3A</i>	3,60
<i>REG3A</i>	3,60
<i>C19orf73</i>	3,60
<i>MIR4656</i>	3,60
<i>SNORD72</i>	3,60
<i>UQCRQ</i>	3,59
<i>NPY5R</i>	3,58
<i>KRT6C</i>	3,58
<i>DLG5-AS1</i>	3,57
<i>HULC</i>	3,56
<i>LINC00588</i>	3,55
<i>FAM229A</i>	3,55
<i>CDRT15P1</i>	3,51
<i>ERVV-1</i>	3,51
<i>NCBP2-AS2</i>	3,51
<i>OR8U8</i>	3,51
<i>MAGEB1</i>	3,50
<i>LOC100130849</i>	3,49
<i>SPANXN3</i>	3,49
<i>OR10H4</i>	3,48
<i>AKR1C2</i>	3,48
<i>PCDHA9</i>	3,47
<i>LINC00662</i>	3,46
<i>OR2G3</i>	3,46
<i>ZNF830</i>	3,46
<i>SPRR1B</i>	3,45
<i>S100A8</i>	3,42
<i>TOB1-AS1</i>	3,42
<i>NDUFA2</i>	3,41
<i>HLA-DQB2</i>	3,39
<i>OR1N2</i>	3,38
<i>OR7G1</i>	3,37
<i>ILF3-AS1</i>	3,36
<i>OR6M1</i>	3,35
<i>DARC</i>	3,34
<i>UQCR10</i>	3,34
<i>AQP12B</i>	3,32
<i>ZNF733P</i>	3,30
<i>RGPD2</i>	3,30
<i>CD1E</i>	3,27
<i>NDUFB4</i>	3,24
<i>KRTAP22-2</i>	3,24
<i>MIR149</i>	3,24
<i>PRAMEF1</i>	3,24
<i>BRWD1-IT2</i>	3,24
<i>TCP11X2</i>	3,24

<i>MIR202</i>	3,24
<i>MIR4436B1</i>	3,24
<i>MIR1304</i>	3,24
<i>MIR4685</i>	3,24
<i>MIR1539</i>	3,24
<i>MIR4529</i>	3,24
<i>SNORD117</i>	3,24
<i>MIR4660</i>	3,24
<i>FAM27L</i>	3,24
<i>DNAJB7</i>	3,24
<i>MIR3916</i>	3,24
<i>LOC100303749</i>	3,24
<i>MIR766</i>	3,24
<i>MIR617</i>	3,24
<i>SNORD83A</i>	3,24
<i>MIR196B</i>	3,24
<i>MIR4275</i>	3,24
<i>SNAR-H</i>	3,24
<i>MIR4290</i>	3,24
<i>OR5M9</i>	3,24
<i>SNORA59A</i>	3,24
<i>DTX3</i>	3,23
<i>PDX1</i>	3,21
<i>PLA2G2E</i>	3,21
<i>WBP11P1</i>	3,20
<i>ADRA2A</i>	3,20
<i>MID1IP1</i>	3,20
<i>OR4K14</i>	3,19
<i>IL1RL1</i>	3,17
<i>DKK1</i>	3,15
<i>IFNA2</i>	3,15
<i>TMEM155</i>	3,13
<i>KIR3DL2</i>	3,13
<i>OR6C3</i>	3,12
<i>PCDHGB3</i>	3,11
<i>OR56B4</i>	3,11
<i>HIST1H3G</i>	3,10
<i>CBWD3</i>	3,09
<i>CBWD5</i>	3,09
<i>KRT34</i>	3,08
<i>TFF2</i>	3,06
<i>APOE</i>	3,06
<i>ULK4P1</i>	3,06
<i>OR10G9</i>	3,06
<i>C17orf97</i>	3,06
<i>IER2</i>	3,06

<i>LINC00173</i>	3,06
<i>NCF1B</i>	3,05
<i>PURG</i>	3,05
<i>MAGEE2</i>	3,04
<i>PYDC1</i>	3,04
<i>COX8C</i>	3,02
<i>CAMP</i>	3,02
<i>MIR136</i>	3,02
<i>MIR5691</i>	3,02
<i>HOXB9</i>	3,02
<i>TAF10</i>	3,01
<i>APOC1P1</i>	3,00
<i>TMEM257</i>	3,00
<i>HES3</i>	3,00
<i>LY6G6F</i>	2,99
<i>OR10R2</i>	2,97
<i>MIR3684</i>	2,97
<i>PNMA5</i>	2,95
<i>OR4Q3</i>	2,95
<i>TIMM8A</i>	2,95
<i>PDZD11</i>	2,94
<i>CARD18</i>	2,93
<i>HIST1H1B</i>	2,93
<i>GPR151</i>	2,92
<i>LHB</i>	2,91
<i>RNASE3</i>	2,91
<i>C10orf40</i>	2,90
<i>OR9Q2</i>	2,90
<i>C3orf36</i>	2,89
<i>ASPRV1</i>	2,88
<i>MIR4672</i>	2,88
<i>SPIN2A</i>	2,88
<i>GPR45</i>	2,88
<i>MIR5193</i>	2,88
<i>MIR602</i>	2,88
<i>KRTAP20-3</i>	2,88
<i>PRR14</i>	2,87
<i>LOC113230</i>	2,86
<i>CSN3</i>	2,86
<i>AQP7P3</i>	2,86
<i>OR5B12</i>	2,85
<i>IFNG</i>	2,85
<i>OR3A4P</i>	2,84
<i>OR14J1</i>	2,83
<i>OR13C5</i>	2,83
<i>FGFBP1</i>	2,83

<i>TISP43</i>	2,83
<i>TISP43</i>	2,83
<i>LOC646743</i>	2,83
<i>PCDHA6</i>	2,82
<i>NLGN4Y</i>	2,81
<i>LOC100287534</i>	2,81
<i>KIR2DL4</i>	2,81
<i>NLGN4Y</i>	2,81
<i>NLGN4Y</i>	2,81
<i>NLGN4Y</i>	2,81
<i>H3F3C</i>	2,81
<i>ZNF32-AS2</i>	2,81
<i>GPX8</i>	2,80
<i>TEX38</i>	2,79
<i>NKX2-8</i>	2,78
<i>HLA-DRB5</i>	2,78
<i>ADAM21P1</i>	2,76
<i>OR2F2</i>	2,76
<i>OR5V1</i>	2,76
<i>LINC00516</i>	2,75
<i>LINC00628</i>	2,75
<i>EGFL8</i>	2,74
<i>ABCC6</i>	2,73
<i>LYZL6</i>	2,73
<i>LOC286437</i>	2,73
<i>CCL1</i>	2,72
<i>LOC731223</i>	2,72
<i>RBMXL3</i>	2,72
<i>NANOG</i>	2,72
<i>GNGT2</i>	2,71
<i>APOA1</i>	2,70
<i>BTNL8</i>	2,70
<i>INGX</i>	2,70
<i>OR7C1</i>	2,70
<i>SCGB1B2P</i>	2,70
<i>SLC25A52</i>	2,70
<i>HIST1H3C</i>	2,70
<i>LCE1F</i>	2,70
<i>HOXD4</i>	2,70
<i>OR52L1</i>	2,70
<i>RPL41</i>	2,70
<i>LOC100289511</i>	2,70
<i>RPL29P2</i>	2,70
<i>AOAH-IT1</i>	2,70
<i>MID1IP1</i>	2,70
<i>SPIN2B</i>	2,70

<i>MIR629</i>	2,70
<i>OR10H1</i>	2,70
<i>MIR4316</i>	2,70
<i>MIR4648</i>	2,70
<i>SNORA5A</i>	2,70
<i>MIR4773-2</i>	2,70
<i>SNORD30</i>	2,70
<i>MIR4258</i>	2,70
<i>BASP1P1</i>	2,70
<i>SCARNA17</i>	2,70
<i>UTY</i>	2,70
<i>KRTAP21-3</i>	2,70
<i>UTY</i>	2,70
<i>FAM25B</i>	2,70
<i>FAM25G</i>	2,70
<i>GOLGA8F</i>	2,70
<i>SNRNP27</i>	2,69
<i>PSMB10</i>	2,68
<i>OR2AT4</i>	2,67
<i>SLURP1</i>	2,67
<i>TRAPPC1</i>	2,67
<i>NAIP</i>	2,66
<i>NAIP</i>	2,66
<i>AA06</i>	2,66
<i>ZNF549</i>	2,65
<i>ZNF135</i>	2,65
<i>DIO3OS</i>	2,65
<i>TARDBP</i>	2,64
<i>UBE2M</i>	2,64
<i>FAM133CP</i>	2,64
<i>ATP5G3</i>	2,64
<i>ATP5G3</i>	2,64
<i>PEX16</i>	2,64
<i>RBAKDN</i>	2,63
<i>HMG3-AS1</i>	2,63
<i>LOC284933</i>	2,63
<i>PGLYRP2</i>	2,62
<i>HLA-DQA2</i>	2,62
<i>CD3EAP</i>	2,61
<i>DDX11L2</i>	2,61
<i>C15orf40</i>	2,61
<i>SRP14</i>	2,60
<i>EPC1</i>	2,60
<i>HOXD-AS2</i>	2,60
<i>MIR3618</i>	2,59
<i>OR10A4</i>	2,59

<i>SNORA71A</i>	2,59
<i>KRTAP9-9</i>	2,59
<i>CCDC121</i>	2,59
<i>MKRN3</i>	2,59
<i>NHLH1</i>	2,57
<i>OR8I2</i>	2,57
<i>OR52R1</i>	2,56
<i>MIR96</i>	2,56
<i>MIR3605</i>	2,56
<i>MIR3689A</i>	2,56
<i>ODF3</i>	2,56
<i>RPL29</i>	2,56
<i>NAP1L3</i>	2,55
<i>CNTD2</i>	2,55
<i>ZNF705A</i>	2,55
<i>IGFL4</i>	2,55
<i>TRAPPC1</i>	2,54
<i>RFPL4A</i>	2,54
<i>PPP1R3G</i>	2,53
<i>MIR2392</i>	2,52
<i>MIR877</i>	2,52
<i>MT1X</i>	2,52
<i>RIMBP3</i>	2,52
<i>MIR183</i>	2,52
<i>IFITM4P</i>	2,52
<i>OR8U1</i>	2,52
<i>MIR4786</i>	2,52
<i>CGB2</i>	2,52
<i>CPS1-IT1</i>	2,52
<i>MIR550A2</i>	2,52
<i>ANXA2P1</i>	2,52
<i>ADORA3</i>	2,51
<i>AZGP1P1</i>	2,51
<i>ID4</i>	2,51
<i>HIF1A-AS2</i>	2,51
<i>MIR4492</i>	2,50
<i>SH3GL1P2</i>	2,49
<i>CXCR5</i>	2,49
<i>OR52E4</i>	2,48
<i>XCL2</i>	2,48
<i>YRDC</i>	2,48
<i>C12orf74</i>	2,48
<i>MAGEA10</i>	2,46
<i>HAMP</i>	2,45
<i>OR7E2P</i>	2,45
<i>PDZK1IP1</i>	2,45

<i>STATH</i>	2,45
<i>LOC100506384</i>	2,45
<i>TXNDC17</i>	2,45
<i>TSN</i>	2,44
<i>GDF3</i>	2,44
<i>TMCO2</i>	2,44
<i>CITED4</i>	2,44
<i>FAM156B</i>	2,43
<i>FAM156A</i>	2,43
<i>RBM12B-AS1</i>	2,43
<i>LCE3E</i>	2,43
<i>SNORA70C</i>	2,43
<i>UQCRHL</i>	2,43
<i>OR5AN1</i>	2,43
<i>SERP1</i>	2,43
<i>POU4F1</i>	2,42
<i>GNGT2</i>	2,42
<i>C6orf141</i>	2,42
<i>CXCL11</i>	2,42
<i>HIST2H2BE</i>	2,42
<i>TSPO2</i>	2,41
<i>CUTA</i>	2,41
<i>DOCK9-AS2</i>	2,41
<i>MDH2</i>	2,41
<i>NPIP3</i>	2,40
<i>SPRR2F</i>	2,40
<i>GAGE2C</i>	2,40
<i>SHISA9</i>	2,40
<i>CCL7</i>	2,39
<i>FOXC1</i>	2,39
<i>NPTN-IT1</i>	2,38
<i>SIKE1</i>	2,38
<i>GSX1</i>	2,38
<i>OR4D2</i>	2,38
<i>LOC100288911</i>	2,38
<i>OR12D2</i>	2,38
<i>KRTAP10-8</i>	2,38
<i>NKRF</i>	2,37
<i>GNGT2</i>	2,37
<i>CCDC121</i>	2,37
<i>TAPSAR1</i>	2,36
<i>AOC3</i>	2,36
<i>UTP3</i>	2,36
<i>SNAR-E</i>	2,36
<i>KBTBD13</i>	2,36
<i>LRR30</i>	2,36

<i>PCED1B-AS1</i>	2,36
<i>C17orf112</i>	2,36
<i>DKFZp434J0226</i>	2,36
<i>MYF6</i>	2,36
<i>PNMA5</i>	2,34
<i>MPHOSPH10</i>	2,34
<i>IRX2</i>	2,34
<i>MRGPRX1</i>	2,34
<i>TSHB</i>	2,33
<i>LOC100129520</i>	2,33
<i>RIPPLY1</i>	2,33
<i>CDV3</i>	2,32
<i>PFN1</i>	2,32
<i>PCDHA1</i>	2,32
<i>BCAS2</i>	2,32
<i>ZNF224</i>	2,32
<i>GSPT2</i>	2,32
<i>CDV3</i>	2,31
<i>NPBWR2</i>	2,31
<i>HOXC-AS1</i>	2,31
<i>LOC100288778</i>	2,31
<i>LOC100506076</i>	2,31
<i>GATA3-AS1</i>	2,31
<i>TMEM86A</i>	2,31
<i>ELOVL3</i>	2,31
<i>APEH</i>	2,31
<i>PMAIP1</i>	2,31
<i>CH25H</i>	2,31
<i>KIR3DL1</i>	2,31
<i>LINC00173</i>	2,31
<i>MIR4276</i>	2,30
<i>PMS2L2</i>	2,30
<i>LOC286359</i>	2,30
<i>OR10A6</i>	2,29
<i>LINC00852</i>	2,29
<i>GHSR</i>	2,29
<i>ZNRF4</i>	2,29
<i>C1QTNF4</i>	2,28
<i>CETN4P</i>	2,28
<i>ECSCR</i>	2,28
<i>SAMD15</i>	2,28
<i>PITX2</i>	2,28
<i>ASPHD1</i>	2,28
<i>MIR612</i>	2,28
<i>LOC100506328</i>	2,28
<i>KLK12</i>	2,27

<i>OR6C6</i>	2,27
<i>LOC100130451</i>	2,27
<i>POU4F3</i>	2,27
<i>SEMG1</i>	2,27
<i>CKMT1B</i>	2,27
<i>MIR148A</i>	2,27
<i>LDHAL6B</i>	2,26
<i>TSPO2</i>	2,26
<i>FAM138D</i>	2,26
<i>FAM187B</i>	2,26
<i>TTC36</i>	2,26
<i>RNF223</i>	2,26
<i>C3orf72</i>	2,25
<i>GPR52</i>	2,25
<i>PRSS2</i>	2,25
<i>RLN2</i>	2,25
<i>PGBD4</i>	2,25
<i>OR6N1</i>	2,25
<i>RSPO1</i>	2,24
<i>ZNF256</i>	2,24
<i>C17orf47</i>	2,24
<i>FOXR2</i>	2,24
<i>TAAR6</i>	2,24
<i>HOXD11</i>	2,24
<i>LINC00661</i>	2,23
<i>DNAJC4</i>	2,23
<i>KCNMB1</i>	2,23
<i>HPS6</i>	2,23
<i>HOXB2</i>	2,23
<i>MAGEB18</i>	2,22
<i>RPL13AP3</i>	2,22
<i>P2RY4</i>	2,22
<i>KRT79</i>	2,22
<i>SPATA8-AS1</i>	2,22
<i>OMP</i>	2,21
<i>KRT33B</i>	2,21
<i>CLK2P</i>	2,21
<i>RPL37A</i>	2,21
<i>SUMO1P3</i>	2,21
<i>CCDC85B</i>	2,20
<i>UBQLNL</i>	2,20
<i>TLR9</i>	2,20
<i>GLYCAM1</i>	2,19
<i>CLDND1</i>	2,19
<i>GPX6</i>	2,19
<i>RAET1E</i>	2,19

<i>TPI1</i>	2,19
<i>PCDHB1</i>	2,19
<i>PET100</i>	2,19
<i>RHOV</i>	2,19
<i>HLA-G</i>	2,18
<i>LILRB2</i>	2,18
<i>LILRB2</i>	2,18
<i>LILRB2</i>	2,18
<i>LILRB2</i>	2,18
<i>NXF3</i>	2,18
<i>C4orf33</i>	2,18
<i>SPEF1</i>	2,18
<i>SNORA49</i>	2,16
<i>MIR139</i>	2,16
<i>SNORD4A</i>	2,16
<i>SNORD34</i>	2,16
<i>MIRLET7C</i>	2,16
<i>HBG2</i>	2,16
<i>MIR224</i>	2,16
<i>MIR5100</i>	2,16
<i>MIR190A</i>	2,16
<i>MIR4309</i>	2,16
<i>SBSN</i>	2,16
<i>LOC100289092</i>	2,16
<i>SNORD69</i>	2,16
<i>MIR4273</i>	2,16
<i>IFNA8</i>	2,16
<i>LOC729080</i>	2,16
<i>LOC284379</i>	2,16
<i>MIR24-2</i>	2,16
<i>MOBP</i>	2,16
<i>MIR4733</i>	2,16
<i>MIR203</i>	2,16
<i>MIR3545</i>	2,16
<i>MIR432</i>	2,16
<i>CCDC163P</i>	2,16
<i>GNLY</i>	2,16
<i>CRB3</i>	2,16
<i>ZNF654</i>	2,16
<i>MIR23B</i>	2,16
<i>SSNA1</i>	2,16
<i>MIR15B</i>	2,16
<i>HILS1</i>	2,16
<i>SORCS3-AS1</i>	2,16
<i>LINC00957</i>	2,16
<i>LOC441455</i>	2,16

<i>MIR3187</i>	2,16
<i>OR9G1</i>	2,16
<i>SEMG2</i>	2,16
<i>RNASE13</i>	2,16
<i>MMP23A</i>	2,16
<i>FAM72A</i>	2,16
<i>LOC643486</i>	2,16
<i>SPACA5</i>	2,16
<i>HGD</i>	2,16
<i>GOLGA8EP</i>	2,16
<i>NEUROG3</i>	2,16
<i>USP17L4</i>	2,16
<i>CDRT7</i>	2,16
<i>MIR1264</i>	2,16
<i>MIR891A</i>	2,16
<i>RNU6-67P</i>	2,16
<i>MIR506</i>	2,16
<i>MIR4705</i>	2,16
<i>MIR1228</i>	2,16
<i>MIR1469</i>	2,16
<i>MIR381</i>	2,16
<i>SNORD110</i>	2,16
<i>MIR4468</i>	2,16
<i>MIR153-1</i>	2,16
<i>MIR4286</i>	2,16
<i>OR2T3</i>	2,16
<i>OR2T34</i>	2,16
<i>LOC729737</i>	2,16
<i>LOC100652736</i>	2,16
<i>HBZ</i>	2,16
<i>TBC1D3H</i>	2,16
<i>VN1R10P</i>	2,16
<i>FAM225B</i>	2,16
<i>SNORD116-18</i>	2,16
<i>MIR574</i>	2,16
<i>CD3E</i>	2,15
<i>MRPL9</i>	2,15
<i>C4orf33</i>	2,15
<i>FAM87A</i>	2,15
<i>PSMB8</i>	2,15
<i>PLA2G2D</i>	2,14
<i>ASAH2B</i>	2,14
<i>GADD45GIP1</i>	2,14
<i>FOXP3</i>	2,14
<i>ZNF737</i>	2,14
<i>MTCP1</i>	2,13

<i>SMR3B</i>	2,13
<i>TCONS_00024492</i>	2,13
<i>CTSLP8</i>	2,13
<i>BOLA3-AS1</i>	2,13
<i>ALKBH4</i>	2,13
<i>C11orf91</i>	2,12
<i>S1PR5</i>	2,12
<i>JPH3</i>	2,12
<i>PCDHA10</i>	2,12
<i>C16orf13</i>	2,12
<i>CTGF</i>	2,12
<i>PMCH</i>	2,12
<i>MRPL11</i>	2,12
<i>FAM71E1</i>	2,11
<i>OR2K2</i>	2,11
<i>CKMT1A</i>	2,11
<i>NKX6-1</i>	2,11
<i>RNF26</i>	2,10
<i>SPACA4</i>	2,10
<i>OR52M1</i>	2,10
<i>SCGB2A2</i>	2,10
<i>OR13C9</i>	2,10
<i>ZNF80</i>	2,10
<i>BTG1</i>	2,09
<i>LOC440905</i>	2,09
<i>FAM72B</i>	2,09
<i>C3orf80</i>	2,09
<i>ATP6V1F</i>	2,09
<i>APOBEC3C</i>	2,09
<i>TMEM31</i>	2,09
<i>CITED1</i>	2,09
<i>RPS12</i>	2,09
<i>CHPF</i>	2,09
<i>LOC100996758</i>	2,09
<i>ALB</i>	2,09
<i>FOXD2-AS1</i>	2,09
<i>HMGB4</i>	2,08
<i>SDR39U1</i>	2,08
<i>ASCL2</i>	2,08
<i>LOC653501</i>	2,08
<i>LOC440896</i>	2,08
<i>OR56A1</i>	2,08
<i>SYCE1</i>	2,08
<i>HCRT</i>	2,07
<i>KLHDC7A</i>	2,07
<i>C11orf1</i>	2,07

<i>PRNT</i>	2,07
<i>KRT14</i>	2,07
<i>BOD1L2</i>	2,07
<i>MED18</i>	2,07
<i>PGA3</i>	2,07
<i>CXorf40A</i>	2,06
<i>MSGN1</i>	2,06
<i>BCL2</i>	2,06
<i>MRPL16</i>	2,06
<i>FGF8</i>	2,06
<i>ZFP92</i>	2,05
<i>DRD1</i>	2,05
<i>C9orf66</i>	2,05
<i>CLEC10A</i>	2,05
<i>TSPAN6</i>	2,05
<i>LINC00421</i>	2,05
<i>PAGE2B</i>	2,04
<i>TWF1</i>	2,04
<i>GNRH2</i>	2,04
<i>CNPPD1</i>	2,04
<i>GALR3</i>	2,04
<i>FKSG29</i>	2,04
<i>OR7E12P</i>	2,04
<i>ZNF619</i>	2,04
<i>HLA-DOB</i>	2,04
<i>LIM2</i>	2,04
<i>FLJ26245</i>	2,04
<i>PAGR1</i>	2,03
<i>TMEM88</i>	2,03
<i>OR10Z1</i>	2,03
<i>ANXA2P3</i>	2,02
<i>RNF5</i>	2,02
<i>AGAP4</i>	2,02
<i>TREM1</i>	2,02
<i>OR4K1</i>	2,02
<i>GUSBP9</i>	2,02
<i>SKIV2L</i>	2,02
<i>LINC00893</i>	2,02
<i>KRTDAP</i>	2,02
<i>PTHLH</i>	2,02
<i>FOXS1</i>	2,02
<i>HINFP</i>	2,02
<i>ESRP2</i>	2,02
<i>TCF15</i>	2,02
<i>SPINK14</i>	2,01
<i>PKI55</i>	2,01

<i>PLA2G12A</i>	2,01
<i>CD207</i>	2,01
<i>NEFM</i>	2,01
<i>AMT</i>	2,01
<i>C1GALT1C1</i>	2,01
<i>CLECL1</i>	2,01
<i>RING1</i>	2,00
<i>IL10RA</i>	2,00
<i>IMP3</i>	0,50
<i>RCOR2</i>	0,50
<i>CALCA</i>	0,50
<i>SNORD114-20</i>	0,50
<i>OR6C65</i>	0,50
<i>SCGB2B3P</i>	0,50
<i>HYI</i>	0,50
<i>ZBTB3</i>	0,50
<i>TRIM49B</i>	0,50
<i>GJD2</i>	0,50
<i>LHX1</i>	0,50
<i>LOC100268168</i>	0,50
<i>CPT1B</i>	0,50
<i>LAGE3</i>	0,50
<i>NR1I3</i>	0,50
<i>CDCA3</i>	0,50
<i>sept-05</i>	0,50
<i>GLIS3-AS1</i>	0,50
<i>OR5AS1</i>	0,49
<i>MCL1</i>	0,49
<i>LOC100268168</i>	0,49
<i>LOC100288069</i>	0,49
<i>ZXDB</i>	0,49
<i>C7orf49</i>	0,49
<i>LYPD5</i>	0,49
<i>COMTD1</i>	0,49
<i>AQP12A</i>	0,49
<i>GH2</i>	0,49
<i>ATP7A</i>	0,49
<i>GSN-AS1</i>	0,49
<i>STAG3L3</i>	0,49
<i>CAMK2N2</i>	0,49
<i>OR2T1</i>	0,49
<i>HMX3</i>	0,49
<i>ANXA8</i>	0,49
<i>DUX4</i>	0,49
<i>TRIM73</i>	0,49
<i>TRIM74</i>	0,49

<i>KRTAP4-6</i>	0,49
<i>C4A</i>	0,49
<i>C4B_2</i>	0,49
<i>OR10Q1</i>	0,49
<i>PIK3R1</i>	0,49
<i>OXL1</i>	0,49
<i>NKAPL</i>	0,49
<i>RPL15</i>	0,49
<i>MRP63</i>	0,49
<i>CXCR2</i>	0,49
<i>DLX1</i>	0,49
<i>RDH14</i>	0,49
<i>C8orf86</i>	0,49
<i>KLHL38</i>	0,49
<i>BLOC1S1</i>	0,49
<i>TLR8</i>	0,49
<i>LOC653712</i>	0,49
<i>DNASE1L2</i>	0,49
<i>CDK4</i>	0,49
<i>LRRC2-AS1</i>	0,49
<i>NRG1-IT3</i>	0,49
<i>CXorf64</i>	0,49
<i>MIR4285</i>	0,49
<i>MIR4269</i>	0,49
<i>PRR24</i>	0,49
<i>ATXN3L</i>	0,49
<i>FAM115A</i>	0,49
<i>NPW</i>	0,48
<i>CHKB-CPT1B</i>	0,48
<i>SPDYE4</i>	0,48
<i>HBBP1</i>	0,48
<i>ARF6</i>	0,48
<i>MIR3065</i>	0,48
<i>MIR338</i>	0,48
<i>PIP5KL1</i>	0,48
<i>SNRPD2</i>	0,48
<i>IL2RG</i>	0,48
<i>LPP-AS2</i>	0,48
<i>PINLYP</i>	0,48
<i>TIGD2</i>	0,48
<i>CXCR4</i>	0,48
<i>RDH8</i>	0,48
<i>HAGHL</i>	0,48
<i>CD300LD</i>	0,48
<i>RPL15</i>	0,48
<i>CCL15</i>	0,48

<i>C17orf77</i>	0,48
<i>HMGB1</i>	0,48
<i>MORN2</i>	0,48
<i>CYB561D1</i>	0,48
<i>CYB561D1</i>	0,48
<i>SNORA68</i>	0,48
<i>MFAP2</i>	0,48
<i>GH1</i>	0,48
<i>CFL2</i>	0,48
<i>MS4A6E</i>	0,48
<i>MIR520F</i>	0,48
<i>MIR921</i>	0,48
<i>WNT1</i>	0,48
<i>RAB3A</i>	0,48
<i>PCDHGB5</i>	0,48
<i>FOXC2</i>	0,48
<i>HSPB3</i>	0,48
<i>RNF224</i>	0,48
<i>MOSPD3</i>	0,48
<i>RGS1</i>	0,48
<i>RPL15</i>	0,48
<i>TAAR2</i>	0,48
<i>OBP2B</i>	0,48
<i>ZNF296</i>	0,48
<i>BST2</i>	0,48
<i>C10orf12</i>	0,48
<i>B4GALT3</i>	0,48
<i>GALT</i>	0,48
<i>HOXC-AS2</i>	0,48
<i>RPL15</i>	0,48
<i>SOX10</i>	0,48
<i>DEFB136</i>	0,48
<i>RAN</i>	0,48
<i>SPRR2D</i>	0,48
<i>NEURL2</i>	0,47
<i>CHRNG</i>	0,47
<i>PART1</i>	0,47
<i>MFAP2</i>	0,47
<i>TRERNA1</i>	0,47
<i>TFDP3</i>	0,47
<i>RAET1L</i>	0,47
<i>TMEM121</i>	0,47
<i>ATF3</i>	0,47
<i>PTPRCAP</i>	0,47
<i>LOC284578</i>	0,47
<i>TMEM52</i>	0,47

<i>HOXC6</i>	0,47
<i>sept-12</i>	0,47
<i>NDUFA6</i>	0,47
<i>SUPT20HL2</i>	0,47
<i>DEFB127</i>	0,47
<i>FAM74A3</i>	0,47
<i>HRG</i>	0,47
<i>CALML5</i>	0,47
<i>MIR5189</i>	0,47
<i>ARL6IP4</i>	0,47
<i>POLR1C</i>	0,47
<i>TNXB</i>	0,47
<i>C1orf122</i>	0,47
<i>BPIFA4P</i>	0,47
<i>ASIC1</i>	0,47
<i>CPT1B</i>	0,47
<i>C7orf25</i>	0,46
<i>MAF1</i>	0,46
<i>LINC01015</i>	0,46
<i>SNORD91A</i>	0,46
<i>LRRC37A2</i>	0,46
<i>CDC14C</i>	0,46
<i>RNF181</i>	0,46
<i>FAM115C</i>	0,46
<i>MESP1</i>	0,46
<i>ARL17A</i>	0,46
<i>TK1</i>	0,46
<i>LRP5L</i>	0,46
<i>MRPL10</i>	0,46
<i>HCG22</i>	0,46
<i>C2orf68</i>	0,46
<i>SS18L2</i>	0,46
<i>GAMT</i>	0,46
<i>NXNL2</i>	0,46
<i>LTA</i>	0,46
<i>LOC100506795</i>	0,46
<i>APOBEC3H</i>	0,46
<i>IL1F10</i>	0,46
<i>TIGD7</i>	0,46
<i>LOC400685</i>	0,46
<i>DGCR10</i>	0,46
<i>RNF215</i>	0,46
<i>LOC100131094</i>	0,46
<i>CCDC177</i>	0,46
<i>PABPC1L2A</i>	0,46
<i>GJA10</i>	0,45

<i>HEIH</i>	0,45
<i>USE1</i>	0,45
<i>RNASEK</i>	0,45
<i>TCAP</i>	0,45
<i>EGR4</i>	0,45
<i>OR13F1</i>	0,45
<i>KGFLP1</i>	0,45
<i>SNORA63</i>	0,45
<i>IL17C</i>	0,45
<i>POLR2L</i>	0,45
<i>NBPF24</i>	0,45
<i>RPS15AP10</i>	0,45
<i>NBPF11</i>	0,45
<i>NBPF24</i>	0,45
<i>OR13C8</i>	0,45
<i>MT1DP</i>	0,45
<i>CCDC166</i>	0,45
<i>LILRB4</i>	0,45
<i>GCHFR</i>	0,45
<i>SPZ1</i>	0,45
<i>FLJ44313</i>	0,45
<i>RHOB</i>	0,45
<i>SHISA4</i>	0,45
<i>SHISA4</i>	0,45
<i>C1orf64</i>	0,44
<i>RNF103</i>	0,44
<i>NANOS2</i>	0,44
<i>C1orf180</i>	0,44
<i>FBXL6</i>	0,44
<i>KBTBD6</i>	0,44
<i>PLA2G7</i>	0,44
<i>IER5</i>	0,44
<i>MT1JP</i>	0,44
<i>LOC283070</i>	0,44
<i>MED21</i>	0,44
<i>SERTAD4-AS1</i>	0,44
<i>ENPP5</i>	0,44
<i>LTC4S</i>	0,44
<i>LOC100287632</i>	0,44
<i>PIGY</i>	0,44
<i>RPP21</i>	0,44
<i>ORM1</i>	0,44
<i>VSX1</i>	0,44
<i>LOC100287177</i>	0,44
<i>SLC10A3</i>	0,44
<i>C4orf48</i>	0,44

<i>BET1L</i>	0,44
<i>SNTN</i>	0,44
<i>TINF2</i>	0,44
<i>PHGR1</i>	0,43
<i>KCND1</i>	0,43
<i>MESTIT1</i>	0,43
<i>CENPT</i>	0,43
<i>SNORD114-12</i>	0,43
<i>HLA-DRB6</i>	0,43
<i>EPHX3</i>	0,43
<i>MIR5089</i>	0,43
<i>MYADML</i>	0,43
<i>NKX2-2</i>	0,43
<i>SNORD10</i>	0,43
<i>MIR188</i>	0,43
<i>MIR518F</i>	0,43
<i>MIR4759</i>	0,43
<i>MIR1297</i>	0,43
<i>MIR4681</i>	0,43
<i>SNORD18C</i>	0,43
<i>MIR4519</i>	0,43
<i>SNORD101</i>	0,43
<i>SNORA66</i>	0,43
<i>OR2W3</i>	0,43
<i>DPRXP4</i>	0,43
<i>LOC100129917</i>	0,43
<i>POC1B-GALNT4</i>	0,43
<i>FAM92A1P2</i>	0,43
<i>KPNA2</i>	0,43
<i>C22orf42</i>	0,43
<i>LOC146481</i>	0,43
<i>LOC348761</i>	0,43
<i>PLA2G7</i>	0,43
<i>CCL14</i>	0,43
<i>LINC00161</i>	0,43
<i>DLEU2L</i>	0,43
<i>LINC00092</i>	0,43
<i>TMEM211</i>	0,43
<i>SLC7A6OS</i>	0,43
<i>GTSE1-AS1</i>	0,43
<i>SCAND1</i>	0,42
<i>IFITM3</i>	0,42
<i>LINC00657</i>	0,42
<i>GSTM4</i>	0,42
<i>CCDC153</i>	0,42
<i>IFNA22P</i>	0,42

<i>ATOH7</i>	0,42
<i>PRSS8</i>	0,42
<i>APOBEC3H</i>	0,42
<i>NAT14</i>	0,42
<i>OR5D14</i>	0,42
<i>NHLRC4</i>	0,42
<i>TSPY26P</i>	0,42
<i>SLC9A9-AS1</i>	0,42
<i>TUBB2B</i>	0,42
<i>MAD2L1</i>	0,42
<i>PARD6A</i>	0,42
<i>POLR2J</i>	0,42
<i>TUBB</i>	0,42
<i>RAET1G</i>	0,42
<i>FJX1</i>	0,42
<i>NRARP</i>	0,42
<i>ARMCX3</i>	0,42
<i>MGC34796</i>	0,42
<i>MGC16025</i>	0,42
<i>LGALS1</i>	0,42
<i>FAM35BP</i>	0,42
<i>TRIM49C</i>	0,42
<i>TPSAB1</i>	0,42
<i>OR7D2</i>	0,42
<i>OR2A5</i>	0,42
<i>CTAGE10P</i>	0,42
<i>FAM86EP</i>	0,41
<i>UPK1A-AS1</i>	0,41
<i>FEZ1</i>	0,41
<i>EPHX3</i>	0,41
<i>LINC00577</i>	0,41
<i>CRHR1-IT1</i>	0,41
<i>ZBED2</i>	0,41
<i>KRT37</i>	0,41
<i>LOC645434</i>	0,41
<i>OXCT2</i>	0,41
<i>GDNF-AS1</i>	0,41
<i>IRG1</i>	0,41
<i>NUTM2D</i>	0,41
<i>MAGEE1</i>	0,41
<i>TREML4</i>	0,41
<i>FAM83E</i>	0,41
<i>FZD10</i>	0,41
<i>LOC646903</i>	0,41
<i>APOA2</i>	0,41
<i>MIR589</i>	0,41

<i>LINC00618</i>	0,41
<i>CYP1A1</i>	0,41
<i>NUDT8</i>	0,41
<i>NUDT8</i>	0,41
<i>LINC01023</i>	0,41
<i>OR52N5</i>	0,41
<i>HIST3H3</i>	0,41
<i>SNORA71D</i>	0,41
<i>ARMCX3</i>	0,41
<i>MIR2682</i>	0,41
<i>SOX3</i>	0,41
<i>LGALS9B</i>	0,40
<i>SPAG11A</i>	0,40
<i>MIR4793</i>	0,40
<i>MIR556</i>	0,40
<i>MIR4679-2</i>	0,40
<i>MIR4679-1</i>	0,40
<i>SNORA69</i>	0,40
<i>HDGFL1</i>	0,40
<i>PRM3</i>	0,40
<i>OR4K2</i>	0,40
<i>TMEM89</i>	0,40
<i>CREM</i>	0,40
<i>KRT8P41</i>	0,40
<i>RTP3</i>	0,40
<i>LRRC26</i>	0,40
<i>GOLGA8I</i>	0,40
<i>SPATA25</i>	0,40
<i>PTPN20A</i>	0,40
<i>LOC100287534</i>	0,40
<i>PTPN20B</i>	0,40
<i>KIR2DL4</i>	0,40
<i>LOC339524</i>	0,40
<i>SOX21</i>	0,40
<i>DALRD3</i>	0,40
<i>TMEM185B</i>	0,40
<i>CCL18</i>	0,40
<i>NUBP2</i>	0,40
<i>CHKB</i>	0,39
<i>SPATA8</i>	0,39
<i>PIP5K1P1</i>	0,39
<i>GLTPD2</i>	0,39
<i>INSM1</i>	0,39
<i>FAM90A25P</i>	0,39
<i>RRAS</i>	0,39
<i>SULT1A1</i>	0,39

<i>CCDC41-AS1</i>	0,39
<i>GAMT</i>	0,39
<i>LOC100507387</i>	0,39
<i>SIX6</i>	0,39
<i>PRKXP1</i>	0,39
<i>CHMP4A</i>	0,39
<i>DEFB121</i>	0,39
<i>OR2AE1</i>	0,39
<i>CRYGS</i>	0,39
<i>NFE2</i>	0,39
<i>RAB40AL</i>	0,39
<i>FOXD4L1</i>	0,39
<i>LCE2C</i>	0,39
<i>LOC389332</i>	0,39
<i>IFIT3</i>	0,39
<i>PTRHD1</i>	0,39
<i>OR6B2</i>	0,39
<i>RPLP2</i>	0,38
<i>CLDN5</i>	0,38
<i>MPDU1</i>	0,38
<i>ID2</i>	0,38
<i>CHAD</i>	0,38
<i>ACR</i>	0,38
<i>PABPC4L</i>	0,38
<i>DSCAM-AS1</i>	0,38
<i>DSCAM-AS1</i>	0,38
<i>TNP2</i>	0,38
<i>PI16</i>	0,38
<i>GCNT4</i>	0,38
<i>YY2</i>	0,38
<i>SOX14</i>	0,38
<i>LOC401242</i>	0,38
<i>OR4D9</i>	0,38
<i>MEA1</i>	0,38
<i>GATM-AS1</i>	0,38
<i>OR52D1</i>	0,38
<i>KRTAP5-6</i>	0,38
<i>APEX1</i>	0,38
<i>PCDHB17</i>	0,37
<i>MIR126</i>	0,37
<i>ZNF581</i>	0,37
<i>PRDX5</i>	0,37
<i>RPS21</i>	0,37
<i>PITPNA-AS1</i>	0,37
<i>CORT</i>	0,37
<i>HOXD12</i>	0,37

<i>C9orf131</i>	0,37
<i>MSTO1</i>	0,37
<i>FANCD2OS</i>	0,37
<i>C9orf172</i>	0,37
<i>FNDC8</i>	0,37
<i>LINC00515</i>	0,37
<i>SNRPD2P2</i>	0,37
<i>LOC100996255</i>	0,37
<i>GAGE2A</i>	0,37
<i>PCDHGA8</i>	0,37
<i>KBTD7</i>	0,37
<i>C4orf48</i>	0,37
<i>MAGEB5</i>	0,37
<i>GALNT4</i>	0,37
<i>ZP1</i>	0,37
<i>WBP1</i>	0,37
<i>CST6</i>	0,37
<i>LAMA4</i>	0,37
<i>ACY3</i>	0,37
<i>APOC4</i>	0,37
<i>LOC100128361</i>	0,37
<i>RAB6C</i>	0,36
<i>EIF1AD</i>	0,36
<i>RHOXF2B</i>	0,36
<i>RHOXF2</i>	0,36
<i>SNORD116-19</i>	0,36
<i>MIR1306</i>	0,36
<i>MIR4779</i>	0,36
<i>MIR199B</i>	0,36
<i>GOLGA6B</i>	0,36
<i>OR8H2</i>	0,36
<i>MIR4727</i>	0,36
<i>MIR3940</i>	0,36
<i>MIRLET7G</i>	0,36
<i>MIR4666A</i>	0,36
<i>MIR583</i>	0,36
<i>IFNA10</i>	0,36
<i>IFNL2</i>	0,36
<i>LOC613037</i>	0,36
<i>LOC100130348</i>	0,36
<i>MIR130A</i>	0,36
<i>MIR1276</i>	0,36
<i>LOC100505978</i>	0,36
<i>GPR84</i>	0,36
<i>MIR548J</i>	0,36
<i>MIR3130-2</i>	0,36

<i>MIR935</i>	0,36
<i>C1orf229</i>	0,36
<i>SNORD17</i>	0,36
<i>PRAF2</i>	0,36
<i>ZNHIT2</i>	0,36
<i>SNORA5C</i>	0,36
<i>C9orf131</i>	0,36
<i>ANKRD63</i>	0,36
<i>PRR9</i>	0,36
<i>MIR4297</i>	0,36
<i>SNORD81</i>	0,36
<i>SNORA74A</i>	0,36
<i>SNORD116-8</i>	0,36
<i>SNORD116-29</i>	0,36
<i>MIR3150B</i>	0,36
<i>KRTAP17-1</i>	0,36
<i>ATP5EP2</i>	0,36
<i>OR13C3</i>	0,36
<i>ISG15</i>	0,35
<i>PRM2</i>	0,35
<i>TSTD1</i>	0,35
<i>SRSF1</i>	0,35
<i>MAS1L</i>	0,35
<i>KCNA10</i>	0,35
<i>DPY19L2P3</i>	0,35
<i>MRGPRD</i>	0,35
<i>NXNL1</i>	0,35
<i>LOC149086</i>	0,35
<i>TPP1</i>	0,35
<i>OTOR</i>	0,35
<i>CDK16</i>	0,35
<i>LOC541473</i>	0,35
<i>SCGB1C1</i>	0,35
<i>IFNK</i>	0,35
<i>LOC143666</i>	0,35
<i>OR2A25</i>	0,35
<i>BLOC1S1</i>	0,34
<i>CCL3</i>	0,34
<i>PCDHB9</i>	0,34
<i>MMP9</i>	0,34
<i>MSTO2P</i>	0,34
<i>TMEM14E</i>	0,34
<i>FAM122A</i>	0,34
<i>MIR431</i>	0,34
<i>ULBP3</i>	0,34
<i>HTATSF1P2</i>	0,34

<i>SNORD114-24</i>	0,34
<i>GPX4</i>	0,34
<i>NAP1L6</i>	0,34
<i>PPP3R2</i>	0,34
<i>HOXA6</i>	0,34
<i>PNRC1</i>	0,34
<i>TTC9B</i>	0,34
<i>HIST2H2BA</i>	0,34
<i>LINC00889</i>	0,34
<i>MRPS12</i>	0,34
<i>ATP6V1G2</i>	0,34
<i>UBQLN3</i>	0,34
<i>MRPL34</i>	0,34
<i>PTH2</i>	0,34
<i>GPX4</i>	0,34
<i>ISM1-AS1</i>	0,34
<i>TMEM88B</i>	0,34
<i>OR1K1</i>	0,34
<i>ICAM4</i>	0,33
<i>LOC339524</i>	0,33
<i>GABARAPL3</i>	0,33
<i>SLC39A7</i>	0,33
<i>WHAMMP1</i>	0,33
<i>FABP1</i>	0,33
<i>LINC00634</i>	0,33
<i>PNN</i>	0,33
<i>SLX1B</i>	0,33
<i>OR2AG2</i>	0,33
<i>DANCR</i>	0,33
<i>KCNA2</i>	0,33
<i>HIST1H2BL</i>	0,32
<i>MIR133A2</i>	0,32
<i>MIRLET7F1</i>	0,32
<i>TAS2R14</i>	0,32
<i>MIR34C</i>	0,32
<i>MIR4296</i>	0,32
<i>MIR193A</i>	0,32
<i>C2CD4A</i>	0,32
<i>YAF2</i>	0,32
<i>FOXH1</i>	0,32
<i>CYB561D2</i>	0,32
<i>NACAP1</i>	0,32
<i>C12orf68</i>	0,32
<i>OR52K1</i>	0,32
<i>KRTAP12-2</i>	0,32
<i>LOC641367</i>	0,32

<i>MIR411</i>	0,32
<i>ANXA8L1</i>	0,32
<i>ANXA8L2</i>	0,32
<i>TRMT10C</i>	0,31
<i>GP1BA</i>	0,31
<i>SNORD114-23</i>	0,31
<i>GPR119</i>	0,31
<i>GAS6-AS2</i>	0,31
<i>MIR31</i>	0,31
<i>FAM90A7P</i>	0,31
<i>LOC100287846</i>	0,31
<i>C16orf86</i>	0,31
<i>MIR548U</i>	0,31
<i>MIR7-2</i>	0,31
<i>PRAC1</i>	0,31
<i>YPEL4</i>	0,31
<i>LILRA6</i>	0,31
<i>CCL21</i>	0,31
<i>LOC440117</i>	0,31
<i>C9orf142</i>	0,30
<i>OR10H2</i>	0,30
<i>SPATA33</i>	0,30
<i>MIR3126</i>	0,30
<i>LOC286297</i>	0,30
<i>DKFZp779M0652</i>	0,30
<i>LOC100270746</i>	0,30
<i>STH</i>	0,30
<i>MDK</i>	0,30
<i>MDK</i>	0,30
<i>MDK</i>	0,30
<i>MDK</i>	0,30
<i>MDK</i>	0,30
<i>OR4A15</i>	0,30
<i>ANXA2R</i>	0,30
<i>PPP1R3E</i>	0,30
<i>ENSA</i>	0,30
<i>SNORD105</i>	0,29
<i>OR56B1</i>	0,29
<i>MAN1B1-AS1</i>	0,29
<i>SNORA27</i>	0,29
<i>FDX1L</i>	0,29
<i>ANKRD36BP1</i>	0,29
<i>MRPS12</i>	0,29
<i>LOC728752</i>	0,29
<i>LOC653653</i>	0,29
<i>MIR3141</i>	0,29
<i>S100A6</i>	0,29

<i>RXFP4</i>	0,29
<i>ARL14</i>	0,29
<i>LOC101059948</i>	0,28
<i>OR5P2</i>	0,28
<i>SNHG5</i>	0,28
<i>TPRKB</i>	0,28
<i>REP15</i>	0,28
<i>LOC100505812</i>	0,28
<i>PCDHGA3</i>	0,28
<i>BIN3-IT1</i>	0,28
<i>GJB5</i>	0,28
<i>FAM195B</i>	0,28
<i>OR2G2</i>	0,28
<i>NGFRAP1</i>	0,27
<i>THAP11</i>	0,27
<i>SNORD116-23</i>	0,27
<i>MIR495</i>	0,27
<i>MIR5088</i>	0,27
<i>MIR1234</i>	0,27
<i>TOPORS-AS1</i>	0,27
<i>SNORD16</i>	0,27
<i>MIR4790</i>	0,27
<i>ZNRF2P2</i>	0,27
<i>H2BFXP</i>	0,27
<i>MIR3165</i>	0,27
<i>SLC35G6</i>	0,27
<i>EIF3IP1</i>	0,27
<i>LCE1C</i>	0,27
<i>HLA-DQA1</i>	0,27
<i>MIR661</i>	0,27
<i>SNORD114-31</i>	0,27
<i>SNORA8</i>	0,27
<i>MIR662</i>	0,27
<i>LY6G5B</i>	0,27
<i>ANP32C</i>	0,27
<i>MIR195</i>	0,27
<i>HOXC12</i>	0,27
<i>SAP25</i>	0,27
<i>OR5D16</i>	0,26
<i>HSPA1B</i>	0,26
<i>TRIM51HP</i>	0,26
<i>GATSL1</i>	0,26
<i>GATSL2</i>	0,26
<i>OR7E14P</i>	0,26
<i>TEX21P</i>	0,26
<i>SNORD114-21</i>	0,26

<i>OR2B11</i>	0,26
<i>GOLGA6D</i>	0,26
<i>MIR3976</i>	0,26
<i>LIPT2</i>	0,26
<i>TOP1P1</i>	0,26
<i>IFNL1</i>	0,26
<i>OR6Y1</i>	0,26
<i>UPK3BL</i>	0,25
<i>TAS2R30</i>	0,25
<i>OR4N2</i>	0,25
<i>FAU</i>	0,25
<i>LCE5A</i>	0,25
<i>NUTM2A</i>	0,25
<i>SBDS</i>	0,25
<i>ZNF524</i>	0,25
<i>SNORD116-2</i>	0,25
<i>BARX1</i>	0,25
<i>CNFN</i>	0,25
<i>IFNA16</i>	0,25
<i>LOC390660</i>	0,25
<i>OR8H1</i>	0,25
<i>OR9A2</i>	0,25
<i>OR14A16</i>	0,25
<i>FAM106CP</i>	0,25
<i>SLC25A2</i>	0,25
<i>LOC392196</i>	0,25
<i>DIO3</i>	0,25
<i>MANEA-AS1</i>	0,25
<i>LOC440925</i>	0,24
<i>NGFRAP1</i>	0,24
<i>LOC101241902</i>	0,24
<i>NPB</i>	0,24
<i>KRTAP20-1</i>	0,24
<i>SNORA31</i>	0,24
<i>LOC100272217</i>	0,24
<i>ATF4</i>	0,24
<i>C11orf86</i>	0,24
<i>SNORD87</i>	0,24
<i>CST1</i>	0,24
<i>DEFB133</i>	0,24
<i>OR10J1</i>	0,24
<i>FTO-IT1</i>	0,24
<i>OR1J2</i>	0,23
<i>LOC729020</i>	0,23
<i>MIR4684</i>	0,23
<i>CDK5R2</i>	0,23

<i>DCAF8L2</i>	0,23
<i>CCL24</i>	0,23
<i>TMEM167B</i>	0,23
<i>MARK2P9</i>	0,23
<i>ZFP62</i>	0,23
<i>OR10G3</i>	0,23
<i>FRMD8P1</i>	0,23
<i>EDDM3A</i>	0,23
<i>COMMD4</i>	0,22
<i>MT2A</i>	0,22
<i>PTPN20A</i>	0,22
<i>LOC100288748</i>	0,22
<i>SNORD6</i>	0,22
<i>MIR558</i>	0,22
<i>TMSB10</i>	0,22
<i>SNORD114-9</i>	0,22
<i>SNORD19</i>	0,22
<i>MIR4265</i>	0,22
<i>MIR27B</i>	0,22
<i>LOC100132356</i>	0,22
<i>SCARNA9L</i>	0,22
<i>OR2M5</i>	0,22
<i>SNORA34</i>	0,22
<i>TXNDC2</i>	0,22
<i>MIR19B1</i>	0,22
<i>HELT</i>	0,21
<i>PRR22</i>	0,21
<i>CLEC3A</i>	0,21
<i>GTSF1L</i>	0,20
<i>SLC25A21-AS1</i>	0,20
<i>IFITM1</i>	0,20
<i>SNORD116-13</i>	0,20
<i>IFNA21</i>	0,20
<i>SNORD1A</i>	0,20
<i>HTR1B</i>	0,20
<i>PFDN6</i>	0,20
<i>PFDN6</i>	0,20
<i>MIR1270-1</i>	0,20
<i>TCEAL8</i>	0,20
<i>D2HGDH</i>	0,20
<i>C12orf57</i>	0,19
<i>C5AR2</i>	0,19
<i>CLEC18C</i>	0,19
<i>DBIL5P</i>	0,19
<i>OR10A3</i>	0,19
<i>HCFC1R1</i>	0,19

<i>TDRG1</i>	0,19
<i>OR5B2</i>	0,18
<i>LILRB4</i>	0,18
<i>MIR1305</i>	0,18
<i>MIR5187</i>	0,18
<i>MIR5190</i>	0,18
<i>SNORA33</i>	0,18
<i>SCARNA1</i>	0,18
<i>OR4C11</i>	0,18
<i>SNORD35B</i>	0,18
<i>LCE3D</i>	0,18
<i>RPS27</i>	0,18
<i>SNORD97</i>	0,18
<i>SNORA70B</i>	0,18
<i>SIGMAR1</i>	0,18
<i>GPR31</i>	0,17
<i>OVCA2</i>	0,17
<i>SOX4</i>	0,17
<i>KRTAP10-6</i>	0,17
<i>HBB</i>	0,17
<i>UCN</i>	0,17
<i>OR51F1</i>	0,17
<i>PPCS</i>	0,17
<i>ACTL7B</i>	0,17
<i>LOC84931</i>	0,17
<i>MIR1247</i>	0,17
<i>HS6ST2-AS1</i>	0,17
<i>OR8D1</i>	0,17
<i>FOXD4</i>	0,17
<i>MIR181B1</i>	0,17
<i>LOC100506314</i>	0,16
<i>SCNM1</i>	0,16
<i>TUBB4B</i>	0,16
<i>MAGEF1</i>	0,16
<i>OR5T3</i>	0,16
<i>EGOT</i>	0,16
<i>OR1C1</i>	0,15
<i>OR1S2</i>	0,15
<i>SPEM1</i>	0,15
<i>OR2B3</i>	0,15
<i>LOC100130075</i>	0,15
<i>SNORA17</i>	0,15
<i>GAGE2A</i>	0,15
<i>GAGE2C</i>	0,15
<i>GAGE2E</i>	0,15
<i>GAGE8</i>	0,15

<i>ARMCX6</i>	0,14
<i>OR8K3</i>	0,14
<i>GADD45G</i>	0,14
<i>GJB1</i>	0,14
<i>POU3F1</i>	0,14
<i>MAGOH2</i>	0,14
<i>PHLDA2</i>	0,14
<i>MIR138-1</i>	0,14
<i>HIST1H2AC</i>	0,14
<i>TOPORS-AS1</i>	0,14
<i>MIR193B</i>	0,14
<i>LOC407835</i>	0,13
<i>SNORD89</i>	0,13
<i>NRN1L</i>	0,13
<i>AHSP</i>	0,13
<i>SLC18A3</i>	0,13
<i>MIR339</i>	0,13
<i>FAM178A</i>	0,13
<i>OR5AK4P</i>	0,13
<i>MIR4460</i>	0,13
<i>TMEM133</i>	0,12
<i>MIR21</i>	0,12
<i>MIR4724</i>	0,12
<i>FAM127C</i>	0,12
<i>MIR4757</i>	0,12
<i>SNORD94</i>	0,12
<i>OR7E24</i>	0,12
<i>DRAP1</i>	0,12
<i>SNORD32A</i>	0,12
<i>UPK2</i>	0,12
<i>LTB4R2</i>	0,11
<i>OR2AP1</i>	0,11
<i>MIR5687</i>	0,11
<i>MIR190B</i>	0,11
<i>CCNO</i>	0,11
<i>FAM71C</i>	0,11
<i>MGC45922</i>	0,10
<i>NBPF6</i>	0,10
<i>C9orf135-AS1</i>	0,10
<i>MIR367</i>	0,10
<i>MT1HL1</i>	0,10
<i>HIST2H2AC</i>	0,10
<i>SSTR5</i>	0,09
<i>C17orf100</i>	0,09
<i>MIR1291</i>	0,09
<i>LOC284023</i>	0,09

<i>OR7G2</i>	0,09
<i>RPPH1</i>	0,08
<i>OR51I1</i>	0,08
<i>PCDHGB4</i>	0,08
<i>MT1M</i>	0,07
<i>OR8K1</i>	0,07
<i>MIR218-2</i>	0,07
<i>HAND1</i>	0,06
<i>COX6A2</i>	0,06
<i>HIST1H4L</i>	0,06
<i>MIR302D</i>	0,05
<i>PRLH</i>	0,05
<i>OR4S2</i>	0,05
<i>LINC00895</i>	0,05
<i>OR51B6</i>	0,04
<i>OXT</i>	0,04
<i>OR52W1</i>	0,04
<i>OR4C6</i>	0,03
<i>SNORA39</i>	0,03
<i>RPS26</i>	0,02
<i>MIR4633</i>	0,00
<i>MIR599</i>	0,00
<i>MIR323A</i>	0,00
<i>MIR330</i>	0,00
<i>MIR1200</i>	0,00
<i>MIR4540</i>	0,00
<i>MIR4642</i>	0,00
<i>MIR3909</i>	0,00
<i>MIR5047</i>	0,00
<i>MIR624</i>	0,00
<i>SNORD56B</i>	0,00
<i>MIRLET7E</i>	0,00
<i>MIR4758</i>	0,00
<i>MIR3679</i>	0,00
<i>SCARNA8</i>	0,00
<i>MIR181D</i>	0,00
<i>MIR337</i>	0,00
<i>MIR5700</i>	0,00
<i>MIR563</i>	0,00
<i>MIR3186</i>	0,00
<i>SNORD88A</i>	0,00
<i>MIR20B</i>	0,00
<i>MIR548G</i>	0,00
<i>SNORD115-20</i>	0,00
<i>SNORD112</i>	0,00
<i>MIR4526</i>	0,00

<i>RNU86</i>	0,00
<i>MIR4640</i>	0,00
<i>MIR4799</i>	0,00
<i>MIR3714</i>	0,00
<i>SNORD53</i>	0,00
<i>SNORD62B</i>	0,00
<i>MIR30B</i>	0,00
<i>MIR4736</i>	0,00
<i>MIR5699</i>	0,00
<i>MIR1197</i>	0,00
<i>SNORA3</i>	0,00
<i>MIR4682</i>	0,00
<i>MIR632</i>	0,00
<i>MIR152</i>	0,00
<i>SNORD107</i>	0,00
<i>SNORD116-5</i>	0,00
<i>MIR382</i>	0,00
<i>SNORD37</i>	0,00
<i>MIR3198-1</i>	0,00
<i>MIR4761</i>	0,00
<i>MIR4429</i>	0,00
<i>MIR4251</i>	0,00
<i>MIR101-2</i>	0,00
<i>MIR181A2</i>	0,00
<i>MIR4673</i>	0,00
<i>MIR875</i>	0,00
<i>MIR199A2</i>	0,00
<i>MIR4731</i>	0,00
<i>MIR4718</i>	0,00
<i>SCARNA27</i>	0,00
<i>MIR3148</i>	0,00
<i>MIR3924</i>	0,00
<i>MIR335</i>	0,00
<i>MIR4644</i>	0,00
<i>SNORA36A</i>	0,00
<i>MIR890</i>	0,00
<i>MIR4704</i>	0,00
<i>SNORA70G</i>	0,00
<i>MIR4486</i>	0,00
<i>SNORD18B</i>	0,00
<i>MIR127</i>	0,00
<i>SNORD114-19</i>	0,00
<i>MIR376A2</i>	0,00
<i>MIR487A</i>	0,00
<i>MIR134</i>	0,00
<i>MIR323B</i>	0,00

MIR4530	0,00
MIR4751	0,00
MIR1323	0,00
MIR5011	0,00
MIR3196	0,00
MIR5690	0,00
MIR449C	0,00
MIR3938	0,00
MIR548F2	0,00
MIR548AR	0,00
MIR551A	0,00
MIR3122	0,00
MIR455	0,00
MIR147A	0,00
MIR490	0,00
MIR621	0,00
MIR4688	0,00
MIR4691	0,00
MIR3167	0,00
MIR4518	0,00
SNORD116-11	0,00
SNORD116-25	0,00
SNORD115-32	0,00
MIR4716	0,00
MIR1238	0,00
SNORD123	0,00
MIR3142	0,00
MIR135A1	0,00
MIR5000	0,00
MIR219-2	0,00
MIR2964A	0,00
KRTAP6-2	0,00
MIR644B	0,00
MIR3128	0,00
SNORD77	0,00
SNORD54	0,00
MIR1203	0,00
SNORD116-28	0,00
MIR549	0,00
MIR130B	0,00
MIR3199-1	0,00
MIR3199-2	0,00
MIR145	0,00
SNORD11B	0,00
MIR3119-2	0,00
MIR5194	0,00

<i>SCARNA11</i>	0,00
<i>HSPB9</i>	0,00
<i>CYCSP52</i>	0,00
<i>UBE2DNL</i>	0,00
<i>OR10AG1</i>	0,00
<i>OR10S1</i>	0,00
<i>MIR362</i>	0,00
<i>MIR1468</i>	0,00
<i>MIR223</i>	0,00
<i>MIR374A</i>	0,00
<i>MIR19B2</i>	0,00
<i>MIR4299</i>	0,00
<i>MIR129-2</i>	0,00
<i>MIR4493</i>	0,00
<i>MIR1265</i>	0,00
<i>MIR1253</i>	0,00
<i>MIR4723</i>	0,00
<i>MIR451A</i>	0,00
<i>MIR451B</i>	0,00
<i>MIR548AA2</i>	0,00
<i>SCARNA16</i>	0,00
<i>MIR1538</i>	0,00
<i>SNORD115-10</i>	0,00
<i>SNORD115-19</i>	0,00
<i>MIR211</i>	0,00
<i>MIR2116</i>	0,00
<i>MIR433</i>	0,00
<i>SNORD113-4</i>	0,00
<i>SNORD114-13</i>	0,00
<i>MIR3188</i>	0,00
<i>MIR4324</i>	0,00
<i>MIR519D</i>	0,00
<i>MIR526A2</i>	0,00
<i>MIR1283-2</i>	0,00
<i>MIR373</i>	0,00
<i>MIRLET7B</i>	0,00
<i>MIR1292</i>	0,00
<i>MIR646</i>	0,00
<i>MIR155</i>	0,00
<i>KRTAP19-7</i>	0,00
<i>MIR3146</i>	0,00
<i>MIR4657</i>	0,00
<i>MIR4284</i>	0,00
<i>MIR3666</i>	0,00
<i>MIR29A</i>	0,00
<i>MIR548AR</i>	0,00

<i>MIR4647</i>	0,00
<i>MIR3668</i>	0,00
<i>MIR4456</i>	0,00
<i>MIR4457</i>	0,00
<i>MIR4636</i>	0,00
<i>MIR5197</i>	0,00
<i>MIR3912</i>	0,00
<i>MIR4800</i>	0,00
<i>MIR302B</i>	0,00
<i>MIR1243</i>	0,00
<i>MIR4788</i>	0,00
<i>SNORD2</i>	0,00
<i>MIR3127</i>	0,00
<i>MIR4771-2</i>	0,00
<i>MIR4268</i>	0,00
<i>MIR4632</i>	0,00
<i>MIR3675</i>	0,00
<i>MIR3115</i>	0,00
<i>SNORD21</i>	0,00
<i>MIR760</i>	0,00
<i>MIR4654</i>	0,00
<i>SNORD76</i>	0,00
<i>MIR4476</i>	0,00
<i>MIR486</i>	0,00
<i>MIR1205</i>	0,00
<i>MIR937</i>	0,00
<i>KRTAP19-3</i>	0,00
<i>TYRO3P</i>	0,00
<i>KRTAP4-1</i>	0,00
<i>DPPA2P3</i>	0,00
<i>PPP1R2P9</i>	0,00
<i>OR8J3</i>	0,00
<i>SNORD15A</i>	0,00
<i>SNORA10</i>	0,00
<i>SNORA75</i>	0,00
<i>SNORA16A</i>	0,00
<i>CLDN25</i>	0,00
<i>MIR450A1</i>	0,00
<i>MIR17</i>	0,00
<i>OR1D5</i>	0,00
<i>SNORD116-1</i>	0,00
<i>SNORD115-3</i>	0,00
<i>MIR1282</i>	0,00
<i>MIR3936</i>	0,00
<i>MIR5702</i>	0,00
<i>MIR5191</i>	0,00

<i>MIR1231</i>	0,00
<i>LINC01003</i>	0,00
<i>OR52E6</i>	0,00
<i>SNORA53</i>	0,00
<i>OR5E1P</i>	0,00
<i>RNASE1</i>	0,00
<i>MIR4686</i>	0,00
<i>MIR4480</i>	0,00
<i>MIR4521</i>	0,00
<i>SNORA38B</i>	0,00
<i>MIR3529</i>	0,00
<i>MIR208B</i>	0,00
<i>SNORA79</i>	0,00
<i>MIR1275</i>	0,00
<i>SNORA44</i>	0,00
<i>SNORD78</i>	0,00
<i>SNORD44</i>	0,00
<i>SNORD75</i>	0,00
<i>MIR4670</i>	0,00
<i>OR4D5</i>	0,00
<i>HIST1H4E</i>	0,00
<i>MIR651</i>	0,00
<i>MIR4305</i>	0,00
<i>MIR15A</i>	0,00
<i>MIR331</i>	0,00
<i>MIR548K</i>	0,00
<i>SNORD91B</i>	0,00
<i>SNORD116-2</i>	0,00
<i>SNORD115-2</i>	0,00
<i>MIR518E</i>	0,00
<i>SNORD58C</i>	0,00
<i>MIR122</i>	0,00
<i>MIR578</i>	0,00
<i>MIR5192</i>	0,00
<i>MIR200A</i>	0,00
<i>MIR554</i>	0,00
<i>MIR204</i>	0,00
<i>GSTM2P1</i>	0,00
<i>LYPD8</i>	0,00
<i>SNORA48</i>	0,00
<i>SNORA24</i>	0,00
<i>SCARNA9</i>	0,00
<i>OR52J3</i>	0,00
<i>RNASE1</i>	0,00
<i>TAS2R7</i>	0,00
<i>OR8G2</i>	0,00

<i>HIST1H4B</i>	0,00
<i>KRTAP12-3</i>	0,00
<i>OR5AU1</i>	0,00
<i>SPRR4</i>	0,00
<i>CGB1</i>	0,00
<i>OR5K1</i>	0,00
<i>APOOP5</i>	0,00
<i>MIR1911</i>	0,00
<i>MIR542</i>	0,00
<i>MIR4499</i>	0,00
<i>SNORD102</i>	0,00
<i>MIR18A</i>	0,00
<i>MIR613</i>	0,00
<i>MIR615</i>	0,00
<i>MIR1252</i>	0,00
<i>MIR4700</i>	0,00
<i>MIR4491</i>	0,00
<i>MIR125B1</i>	0,00
<i>MIR5692C2</i>	0,00
<i>MIR3184</i>	0,00
<i>MIR2909</i>	0,00
<i>MIR196A1</i>	0,00
<i>SNORA76</i>	0,00
<i>MIR3064</i>	0,00
<i>MIR4721</i>	0,00
<i>MIR4508</i>	0,00
<i>SNORD116-12</i>	0,00
<i>SNORD116-17</i>	0,00
<i>MIR628</i>	0,00
<i>SNORD127</i>	0,00
<i>MIR4709</i>	0,00
<i>MIR665</i>	0,00
<i>SNORD113-8</i>	0,00
<i>SNORD114-11</i>	0,00
<i>MIR543</i>	0,00
<i>MIR668</i>	0,00
<i>MIR656</i>	0,00
<i>MIR4322</i>	0,00
<i>SNORD41</i>	0,00
<i>MIR181C</i>	0,00
<i>MIR639</i>	0,00
<i>MIR3189</i>	0,00
<i>MIR4531</i>	0,00
<i>SNAR-C1</i>	0,00
<i>SNAR-C3</i>	0,00
<i>MIR518A1</i>	0,00

<i>MIR371A</i>	0,00
<i>MIR371B</i>	0,00
<i>MIR4320</i>	0,00
<i>MIR3591</i>	0,00
<i>MIR650</i>	0,00
<i>SNORA71C</i>	0,00
<i>MIR3194</i>	0,00
<i>MIR941-1</i>	0,00
<i>KRTAP27-1</i>	0,00
<i>SNORA80</i>	0,00
<i>MIR4658</i>	0,00
<i>MIR3691</i>	0,00
<i>SNORD48</i>	0,00
<i>MIR219-1</i>	0,00
<i>MIR30A</i>	0,00
<i>MIR3939</i>	0,00
<i>MIR4280</i>	0,00
<i>VTRNA1-3</i>	0,00
<i>MIR103A1</i>	0,00
<i>MIR103B1</i>	0,00
<i>MIR943</i>	0,00
<i>MIR4798</i>	0,00
<i>MIR4802</i>	0,00
<i>MIR1973</i>	0,00
<i>SNORD73A</i>	0,00
<i>MIR3945</i>	0,00
<i>MIR191</i>	0,00
<i>MIR4787</i>	0,00
<i>MIR3136</i>	0,00
<i>OR5H14</i>	0,00
<i>MIR568</i>	0,00
<i>MIR5704</i>	0,00
<i>PISRT1</i>	0,00
<i>MIR3919</i>	0,00
<i>MIR944</i>	0,00
<i>MIR570</i>	0,00
<i>MIR4797</i>	0,00
<i>MIR4261</i>	0,00
<i>MIR4778</i>	0,00
<i>MIR4264</i>	0,00
<i>MIR378F</i>	0,00
<i>MIR4420</i>	0,00
<i>MIR5584</i>	0,00
<i>MIR3671</i>	0,00
<i>MIR5087</i>	0,00
<i>MIR4424</i>	0,00

<i>MIR4735</i>	0,00
<i>MIR664</i>	0,00
<i>MIR4742</i>	0,00
<i>MIR5008</i>	0,00
<i>MIR3620</i>	0,00
<i>MIR3153</i>	0,00
<i>MIR2278</i>	0,00
<i>MIR3689D2</i>	0,00
<i>MIR5708</i>	0,00
<i>MIR3150A</i>	0,00
<i>MIR1206</i>	0,00
<i>MIR4472-1</i>	0,00
<i>OR51G2</i>	0,00
<i>ACTL7A</i>	0,00
<i>OR52A1</i>	0,00
<i>OR6Q1</i>	0,00
<i>OR4K13</i>	0,00
<i>OR2A2</i>	0,00
<i>KRTAP13-2</i>	0,00
<i>OR8J1</i>	0,00
<i>HIST1H2BJ</i>	0,00
<i>IQCF4</i>	0,00
<i>KRTAP5-3</i>	0,00
<i>OR2Z1</i>	0,00
<i>KRTAP9-8</i>	0,00
<i>PCNA-AS1</i>	0,00
<i>MTRNR2L10</i>	0,00
<i>OR4F5</i>	0,00
<i>TAL2</i>	0,00
<i>OR6S1</i>	0,00
<i>SNORA45</i>	0,00
<i>SNAR-F</i>	0,00
<i>SNORA51</i>	0,00
<i>SNORA42</i>	0,00
<i>SCARNA12</i>	0,00
<i>KRTAP4-2</i>	0,00
<i>RPS28</i>	0,00
<i>KRTAP10-4</i>	0,00
<i>MIR532</i>	0,00
<i>MIR452</i>	0,00
<i>MIR105-2</i>	0,00
<i>MIR623</i>	0,00
<i>MIR1244-1</i>	0,00
<i>MIR3973</i>	0,00
<i>MIR3160-1</i>	0,00
<i>MIR3160-2</i>	0,00

<i>MIR3162</i>	0,00
<i>MIR423</i>	0,00
<i>MIR3615</i>	0,00
<i>SNORD116-22</i>	0,00
<i>SNORD115-41</i>	0,00
<i>MIR4515</i>	0,00
<i>SNORD8</i>	0,00
<i>MIR758</i>	0,00
<i>MIR654</i>	0,00
<i>MIR7-3</i>	0,00
<i>SNAR-D</i>	0,00
<i>MIR523</i>	0,00
<i>MIR124-3</i>	0,00
<i>MIR3943</i>	0,00
<i>MIR590</i>	0,00
<i>MIR182</i>	0,00
<i>MIR671</i>	0,00
<i>MIR586</i>	0,00
<i>MIR2113</i>	0,00
<i>MIR4277</i>	0,00
<i>MIR5688</i>	0,00
<i>MIR4796</i>	0,00
<i>TERC</i>	0,00
<i>MIR4432</i>	0,00
<i>MIR30E</i>	0,00
<i>SNORD45A</i>	0,00
<i>MIR488</i>	0,00
<i>MIRLET7D</i>	0,00
<i>MIR124-1</i>	0,00
<i>C11orf96</i>	0,00
<i>OR6C4</i>	0,00
<i>PYDC2</i>	0,00
<i>HIST3H2A</i>	0,00
<i>DPPA5</i>	0,00
<i>CHKB-AS1</i>	0,00
<i>PIN1P1</i>	0,00
<i>IFNA4</i>	0,00
<i>CGB5</i>	0,00
<i>CLDN24</i>	0,00
<i>OR4P4</i>	0,00
<i>HIST1H3B</i>	0,00
<i>KRTAP10-3</i>	0,00
<i>MTRNR2L9</i>	0,00
<i>CDRT15P2</i>	0,00
<i>KRTAP10-12</i>	0,00
<i>OR4L1</i>	0,00

<i>HIST1H2AE</i>	0,00
<i>ZNF847P</i>	0,00
<i>MIR363</i>	0,00
<i>MIR503</i>	0,00
<i>SNORA57</i>	0,00
<i>SNORD31</i>	0,00
<i>UBTFL1</i>	0,00
<i>MIR4693</i>	0,00
<i>OR10G4</i>	0,00
<i>SNORD42B</i>	0,00
<i>SNORD1C</i>	0,00
<i>SNORD115-24</i>	0,00
<i>SCARNA15</i>	0,00
<i>SNORD113-2</i>	0,00
<i>SNORD113-3</i>	0,00
<i>SNORD114-18</i>	0,00
<i>MIR329-1</i>	0,00
<i>MIR1193</i>	0,00
<i>OR7G3</i>	0,00
<i>MIR4750</i>	0,00
<i>SNORD58B</i>	0,00
<i>MIR103A2</i>	0,00
<i>MIR103B2</i>	0,00
<i>SNORA71B</i>	0,00
<i>MIR1914</i>	0,00
<i>MIR4650-1</i>	0,00
<i>MIR3139</i>	0,00
<i>SNORD20</i>	0,00
<i>SNORA36B</i>	0,00
<i>OR1L8</i>	0,00
<i>SNORD36A</i>	0,00
<i>DEFA8P</i>	0,00
<i>MIR4287</i>	0,00
<i>KRTAP5-4</i>	0,00
<i>CDRT15L2</i>	0,00
<i>OR5B3</i>	0,00
<i>HBQ1</i>	0,00
<i>FAM223B</i>	0,00
<i>VPS13A-AS1</i>	0,00
<i>ECRP</i>	0,00
<i>KRTAP21-2</i>	0,00
<i>OR8B8</i>	0,00
<i>HIST2H3D</i>	0,00
<i>FAM127B</i>	0,00
<i>MPC1L</i>	0,00
<i>HIST1H4C</i>	0,00

<i>VCX3B</i>	0,00
<i>IFNA13</i>	0,00
<i>LILRB2</i>	0,00
<i>C10orf120</i>	0,00
<i>OR4D10</i>	0,00
<i>MIR98</i>	0,00
<i>TGIF2LX</i>	0,00
<i>MIR448</i>	0,00
<i>MIR2276</i>	0,00
<i>MIR26A2</i>	0,00
<i>MIR210</i>	0,00
<i>MIR34B</i>	0,00
<i>OR8B3</i>	0,00
<i>MIR608</i>	0,00
<i>MIR138-2</i>	0,00
<i>SNORD116-9</i>	0,00
<i>SNORD115-11</i>	0,00
<i>SNORD115-15</i>	0,00
<i>SNORD115-38</i>	0,00
<i>MIR3942</i>	0,00
<i>MIR627</i>	0,00
<i>MIR125A</i>	0,00
<i>MIR521-1</i>	0,00
<i>MIR4764</i>	0,00
<i>MIR941-3</i>	0,00
<i>MIR941-2</i>	0,00
<i>MIR941-4</i>	0,00
<i>HIST1H3E</i>	0,00
<i>TREML5P</i>	0,00
<i>MIR567</i>	0,00
<i>MIR1244-1</i>	0,00
<i>MIR5001</i>	0,00
<i>MIR200B</i>	0,00
<i>MIR3917</i>	0,00
<i>MIR92B</i>	0,00
<i>MIR4753</i>	0,00
<i>OR2L5</i>	0,00
<i>MIR491</i>	0,00
<i>MIR4674</i>	0,00
<i>OR11H12</i>	0,00
<i>RNASE2</i>	0,00
<i>NPBWR1</i>	0,00
<i>APOA4</i>	0,00
<i>CTAGE9</i>	0,00
<i>MSMP</i>	0,00
<i>KRT19P2</i>	0,00

<i>HIST1H1C</i>	0,00
<i>HBG1</i>	0,00
<i>MIR3654</i>	0,00
<i>ATP5L2</i>	0,00
<i>PF4</i>	0,00
<i>KRT16P1</i>	0,00
<i>RNASE10</i>	0,00
<i>SPANXD</i>	0,00
<i>KRTAP10-1</i>	0,00
<i>HIST2H2BF</i>	0,00
<i>HIST1H4K</i>	0,00
<i>SPANXE</i>	0,00
<i>CSH2</i>	0,00
<i>OR4C46</i>	0,00
<i>OR4E2</i>	0,00
<i>OR3A3</i>	0,00
<i>HBM</i>	0,00
<i>UBE2MP1</i>	0,00
<i>OR11H2</i>	0,00
<i>LOC392364</i>	0,00
<i>RPL10L</i>	0,00
<i>RHOXF2</i>	0,00
<i>RHOXF2B</i>	0,00
<i>OR2M2</i>	0,00
<i>CYP21A1P</i>	0,00
<i>HIST1H2APS1</i>	0,00
<i>PAGE2</i>	0,00
<i>FAM106A</i>	0,00
<i>TAS2R42</i>	0,00
<i>OR6C68</i>	0,00
<i>OR7C2</i>	0,00
<i>OR2A7</i>	0,00
<i>HIST3H2BB</i>	0,00
<i>SPAG11B</i>	0,00
<i>KRTAP10-11</i>	0,00
<i>CCRL2</i>	0,00
<i>LOC643648</i>	0,00
<i>FAM90A27P</i>	0,00
<i>TMEM191B</i>	0,00
<i>CCRL2</i>	0,00
<i>GOLGA6A</i>	0,00
<i>SPDYE2B</i>	0,00
<i>CLEC11A</i>	0,00
<i>HERC2P4</i>	0,00
<i>PRAMEF21</i>	0,00
<i>LOC100133920</i>	0,00

<i>FAM27E3</i>	0,00
<i>ARHGDI1A</i>	0,00
<i>VCX3A</i>	0,00
<i>FOXD4L5</i>	0,00
<i>SPACA5B</i>	0,00
<i>HIST1H4F</i>	0,00
<i>USP17L1P</i>	0,00
<i>HSPA1A</i>	0,00
<i>CTAG2</i>	0,00
<i>LOC100134868</i>	0,00
<i>PNMA6A</i>	0,00
<i>APOA1</i>	0,00
<i>CCR2</i>	0,00
<i>HIST1H2BM</i>	0,00
<i>OR2T29</i>	0,00
<i>DEFB4B</i>	0,00
<i>SPDYE8P</i>	0,00
<i>LGALS7</i>	0,00
<i>PNMA6D</i>	0,00
<i>CTAGE15</i>	0,00
<i>TRIM64</i>	0,00
<i>PRAMEF20</i>	0,00
<i>CCR2</i>	0,00
<i>GAGE2B</i>	0,00
<i>FLJ44511</i>	0,00
<i>SPATA31A2</i>	0,00
<i>SPATA31A1</i>	0,00
<i>HERC2P7</i>	0,00
<i>DEFB106B</i>	0,00
<i>GOLGA8CP</i>	0,00
<i>CCR5</i>	0,00
<i>LOC100506076</i>	0,00
<i>HSFX2</i>	0,00
<i>HSFX1</i>	0,00
<i>SLX1B-SULT1A4</i>	0,00
<i>MLLT4-AS1</i>	0,00
<i>GAGE12J</i>	0,00
<i>SLX1B</i>	0,00
<i>DMRTC1B</i>	0,00
<i>TAS1R3</i>	0,00
<i>LOC643648</i>	0,00
<i>TBC1D3F</i>	0,00
<i>TBC1D3C</i>	0,00
<i>TBC1D3</i>	0,00
<i>DNM1P41</i>	0,00
<i>GOLGA6C</i>	0,00

<i>STAG3L1</i>	0,00
<i>TBC1D3B</i>	0,00
<i>USP17L6P</i>	0,00
<i>LOC100190986</i>	0,00
<i>SSX4B</i>	0,00
<i>SSX4</i>	0,00
<i>SULT1A4</i>	0,00
<i>PRAMEF8</i>	0,00
<i>FAM95B1</i>	0,00
<i>SRSF10</i>	0,00
<i>GAGE12I</i>	0,00
<i>GAGE7</i>	0,00
<i>GAGE4</i>	0,00
<i>GAGE5</i>	0,00
<i>BEND3P3</i>	0,00
<i>LINC00891</i>	0,00
<i>ACOT1</i>	0,00
<i>SPDYE8P</i>	0,00
<i>SRSF10</i>	0,00
<i>ARL17B</i>	0,00
<i>LINC00854</i>	0,00
<i>GYG2P1</i>	0,00
<i>LOC100505679</i>	0,00
<i>PCYT2</i>	0,00
<i>PCYT2</i>	0,00
<i>NXF2B</i>	0,00
<i>PCYT2</i>	0,00
<i>FAM74A1</i>	0,00
<i>C6orf123</i>	0,00
<i>GOLGA8G</i>	0,00
<i>DTYMK</i>	0,00
<i>TTY15</i>	0,00
<i>DGAT1</i>	0,00
<i>KIR2DS3</i>	0,00
<i>PDZK1P1</i>	0,00
<i>KIR2DS5</i>	0,00
<i>LIMS3-LOC440895</i>	0,00
<i>EIF1AY</i>	0,00
<i>P4HB</i>	0,00
<i>CT45A4</i>	0,00
<i>FAM66E</i>	0,00
<i>TMPRSS11E</i>	0,00
<i>PCDH11Y</i>	0,00
<i>TBL1Y</i>	0,00

Table II Gene symbol, mice normalized intensity of reads, mean of the duplicate, and hmC Fold enrichment (Dko vs wt), related to Fig. 3.a

Gene symbol	Mouse 16756 (Dko#1) normalized intensity of reads	Mouse 16641 (Dko#2) normalized intensity of reads	Mouse 16670 (WT#1) normalized intensity of reads	Mouse 16669 (WT#2) normalized intensity of reads	GPx1/2 Dko intensity MEAN	WT intensity MEAN	hmC Fold enrichment (Dko vs wt)
<i>Mir3076</i>	0,00	0,00	0,34	0,14	0,00	0,24	0,00
<i>Snord58b</i>	0,00	0,00	0,17	0,25	0,00	0,21	0,00
<i>Mir92-1</i>	0,00	0,00	0,34	0,07	0,00	0,20	0,00
<i>Mir26b</i>	0,00	0,00	0,21	0,19	0,00	0,20	0,00
<i>Mir434</i>	0,00	0,00	0,26	0,11	0,00	0,18	0,00
<i>Mir10a</i>	0,00	0,00	0,26	0,11	0,00	0,18	0,00
<i>Mir488</i>	0,00	0,00	0,34	0,01	0,00	0,17	0,00
<i>Mir3103</i>	0,00	0,00	0,34	0,00	0,00	0,17	0,00
<i>Snord100</i>	0,00	0,00	0,06	0,27	0,00	0,16	0,00
<i>Mir322</i>	0,00	0,00	0,22	0,04	0,00	0,13	0,00
<i>Mir139</i>	0,00	0,00	0,22	0,04	0,00	0,13	0,00
<i>Mir191</i>	0,00	0,00	0,06	0,18	0,00	0,12	0,00
<i>Spr4</i>	0,00	0,00	0,08	0,14	0,00	0,11	0,00
<i>Mir106a</i>	0,00	0,00	0,22	0,00	0,00	0,11	0,00
<i>Mir540</i>	0,00	0,00	0,22	0,00	0,00	0,11	0,00
<i>Mir1247</i>	0,00	0,00	0,22	0,00	0,00	0,11	0,00
<i>Mir193b</i>	0,00	0,00	0,22	0,00	0,00	0,11	0,00
<i>Mir706</i>	0,00	0,00	0,00	0,21	0,00	0,11	0,00
<i>Mirlet7g</i>	0,00	0,00	0,17	0,04	0,00	0,10	0,00
<i>Mir7-2</i>	0,00	0,02	0,17	0,08	0,01	0,13	0,07
<i>Mir3061</i>	0,00	0,02	0,04	0,21	0,01	0,13	0,07
<i>Mir1192</i>	0,00	0,04	0,28	0,20	0,02	0,24	0,08
<i>Krtap19-3</i>	0,00	0,03	0,24	0,08	0,02	0,16	0,10
<i>Snora34</i>	0,00	0,05	0,47	0,04	0,03	0,25	0,10
<i>Mir3075</i>	0,00	0,03	0,17	0,17	0,02	0,17	0,10
<i>Mir31</i>	0,00	0,03	0,11	0,21	0,02	0,16	0,11

<i>Scarna13</i>	0,00	0,04	0,37	0,05	0,02	0,21	0,11
<i>Snord123</i>	0,00	0,07	0,45	0,17	0,03	0,31	0,11
<i>Mir103-1</i>	0,00	0,07	0,22	0,39	0,03	0,31	0,11
<i>Snora2b</i>	0,00	0,03	0,15	0,15	0,02	0,15	0,11
<i>Mir1930</i>	0,00	0,05	0,22	0,21	0,03	0,22	0,12
<i>Mir15a</i>	0,00	0,03	0,09	0,19	0,02	0,14	0,12
<i>Mir1961</i>	0,00	0,10	0,22	0,58	0,05	0,40	0,13
<i>Mir30a</i>	0,00	0,10	0,48	0,30	0,05	0,39	0,13
<i>Snord35b</i>	0,00	0,12	0,58	0,30	0,06	0,44	0,14
<i>Snora75</i>	0,00	0,03	0,22	0,01	0,02	0,12	0,15
<i>Mir468</i>	0,00	0,05	0,28	0,05	0,03	0,17	0,15
<i>Mir326</i>	0,00	0,14	0,39	0,48	0,07	0,44	0,16
<i>Gm5547</i>	0,00	0,05	0,16	0,15	0,02	0,16	0,16
<i>Hps6</i>	0,00	0,05	0,14	0,16	0,02	0,15	0,16
<i>Snord69</i>	0,00	0,05	0,11	0,20	0,03	0,15	0,17
<i>A630066F11Rik</i>	0,02	0,03	0,18	0,08	0,02	0,13	0,17
<i>Mir511</i>	0,00	0,05	0,22	0,07	0,03	0,15	0,17
<i>Mir3095</i>	0,00	0,14	0,43	0,34	0,07	0,39	0,18
<i>Snord96a</i>	0,00	0,05	0,06	0,23	0,03	0,14	0,18
<i>Mir1929</i>	0,00	0,07	0,19	0,19	0,03	0,19	0,18
<i>Snord1b</i>	0,00	0,13	0,51	0,18	0,06	0,34	0,19
<i>Isg15</i>	0,10	0,04	0,44	0,27	0,07	0,36	0,19
<i>D4Wsu53e</i>	0,00	0,06	0,18	0,12	0,03	0,15	0,20
<i>Gm13580</i>	0,00	0,07	0,18	0,16	0,03	0,17	0,20
<i>Mir429</i>	0,00	0,22	0,32	0,77	0,11	0,54	0,21
<i>Sstr2</i>	0,01	0,09	0,20	0,28	0,05	0,24	0,21
<i>1600014C23Rik</i>	0,00	0,06	0,19	0,09	0,03	0,14	0,21
<i>Snora28</i>	0,00	0,17	0,42	0,38	0,08	0,40	0,21
<i>Mia</i>	0,04	0,09	0,35	0,26	0,06	0,31	0,21
<i>Mir763</i>	0,00	0,19	0,49	0,40	0,09	0,44	0,21
<i>Crip1</i>	0,06	0,13	0,47	0,38	0,09	0,43	0,21
<i>Mir26a-1</i>	0,00	0,09	0,32	0,08	0,04	0,20	0,21

<i>H2-Q8</i>	0,05	0,03	0,21	0,12	0,04	0,17	0,21
<i>Mir147</i>	0,00	0,10	0,34	0,14	0,05	0,24	0,22
<i>Snord37</i>	0,27	0,21	1,32	0,89	0,24	1,10	0,22
<i>H2-Q6</i>	0,05	0,03	0,21	0,12	0,04	0,17	0,22
<i>Cyhr1</i>	0,05	0,09	0,39	0,23	0,07	0,31	0,23
<i>Leng9</i>	0,02	0,04	0,18	0,09	0,03	0,13	0,23
<i>Aprt</i>	0,05	0,04	0,23	0,14	0,04	0,19	0,23
<i>Sstr2</i>	0,01	0,16	0,29	0,42	0,08	0,36	0,24
<i>Nfe2l1</i>	0,02	0,06	0,19	0,15	0,04	0,17	0,24
<i>Nfe2l1</i>	0,02	0,06	0,19	0,16	0,04	0,17	0,24
<i>Mir20a</i>	0,00	0,21	0,34	0,53	0,10	0,43	0,24
<i>Pck1</i>	0,13	0,15	0,65	0,50	0,14	0,58	0,24
<i>Cct8l1</i>	0,01	0,08	0,17	0,24	0,05	0,20	0,24
<i>Gjb5</i>	0,02	0,11	0,25	0,25	0,06	0,25	0,24
<i>Cdx2</i>	0,05	0,04	0,21	0,14	0,04	0,17	0,24
<i>Mdp1</i>	0,02	0,15	0,37	0,34	0,09	0,35	0,25
<i>Nat9</i>	0,07	0,07	0,31	0,26	0,07	0,28	0,25
<i>Hrc</i>	0,01	0,07	0,14	0,20	0,04	0,17	0,25
<i>Pabpn1</i>	0,01	0,07	0,19	0,15	0,04	0,17	0,25
<i>Gm5111</i>	0,05	0,04	0,07	0,28	0,04	0,17	0,26
<i>Mir1982</i>	0,00	0,16	0,42	0,18	0,08	0,30	0,26
<i>Lenep</i>	0,04	0,05	0,29	0,08	0,05	0,19	0,26
<i>Aurkaip1</i>	0,03	0,04	0,14	0,14	0,04	0,14	0,26
<i>Cyhr1</i>	0,04	0,09	0,30	0,18	0,07	0,24	0,27
<i>Mir3069</i>	0,00	0,16	0,45	0,12	0,08	0,29	0,27
<i>Tigd5</i>	0,03	0,07	0,20	0,20	0,05	0,20	0,27
<i>Mirlet7c-2</i>	0,00	0,40	0,62	0,82	0,20	0,72	0,28
<i>Gpbar1</i>	0,00	0,08	0,16	0,12	0,04	0,14	0,28
<i>Mir1981</i>	0,27	0,24	0,86	0,97	0,26	0,92	0,28
<i>Mir1190</i>	0,00	0,22	0,39	0,39	0,11	0,39	0,28
<i>Dbil5</i>	0,10	0,07	0,39	0,22	0,09	0,30	0,28
<i>Gm14873</i>	0,00	0,12	0,16	0,26	0,06	0,21	0,28

<i>1700018L02Rik</i>	0,00	0,15	0,32	0,23	0,08	0,27	0,28
<i>Coa4</i>	0,04	0,12	0,31	0,24	0,08	0,27	0,29
<i>Mir29c</i>	0,18	0,05	0,47	0,34	0,12	0,41	0,29
<i>Mir340</i>	0,27	0,19	0,94	0,66	0,23	0,80	0,29
<i>BC048609</i>	0,09	0,06	0,33	0,18	0,07	0,26	0,29
<i>4930539J05Rik</i>	0,07	0,05	0,20	0,20	0,06	0,20	0,29
<i>S100a16</i>	0,06	0,09	0,30	0,18	0,07	0,24	0,30
<i>AA388235</i>	0,06	0,05	0,22	0,15	0,06	0,19	0,30
<i>Cyp8b1</i>	0,11	0,12	0,38	0,34	0,11	0,36	0,31
<i>Defb45</i>	0,07	0,06	0,19	0,23	0,06	0,21	0,31
<i>Cend1</i>	0,07	0,10	0,33	0,23	0,09	0,28	0,31
<i>Gstp2</i>	0,07	0,08	0,28	0,22	0,08	0,25	0,31
<i>Mir505</i>	0,00	0,16	0,28	0,22	0,08	0,25	0,31
<i>BC068157</i>	0,03	0,07	0,16	0,16	0,05	0,16	0,31
<i>Ankrd9</i>	0,13	0,18	0,56	0,44	0,16	0,50	0,31
<i>Mir1839</i>	0,00	0,23	0,34	0,41	0,12	0,37	0,31
<i>Mir3058</i>	0,27	0,48	1,31	1,10	0,38	1,20	0,31
<i>Tgm3</i>	0,07	0,05	0,21	0,20	0,06	0,20	0,31
<i>Gdap10</i>	0,07	0,10	0,25	0,27	0,08	0,26	0,31
<i>Atp12a</i>	0,05	0,05	0,18	0,14	0,05	0,16	0,32
<i>Mpv17l2</i>	0,15	0,08	0,43	0,32	0,12	0,37	0,32
<i>Tnp2</i>	0,00	0,12	0,19	0,19	0,06	0,19	0,32
<i>Mir3063</i>	0,00	0,12	0,26	0,12	0,06	0,19	0,32
<i>Fhl1</i>	0,04	0,05	0,14	0,16	0,05	0,15	0,32
<i>Snord16a</i>	0,00	0,10	0,11	0,21	0,05	0,16	0,32
<i>Tusc2</i>	0,11	0,06	0,26	0,28	0,09	0,27	0,32
<i>Dcaf11</i>	0,06	0,04	0,20	0,11	0,05	0,15	0,32
<i>Gm10485</i>	0,04	0,12	0,26	0,24	0,08	0,25	0,33
<i>Slc16a11</i>	0,05	0,10	0,27	0,20	0,08	0,23	0,33
<i>Tppp</i>	0,09	0,07	0,25	0,22	0,08	0,24	0,33
<i>Mir3968</i>	0,59	0,38	1,78	1,16	0,48	1,47	0,33
<i>Mir532</i>	0,00	0,16	0,19	0,28	0,08	0,24	0,33

<i>1700119H24Rik</i>	0,12	0,09	0,36	0,29	0,11	0,32	0,33
<i>Mir205</i>	0,14	0,00	0,00	0,41	0,07	0,20	0,33
<i>Tbx6</i>	0,08	0,08	0,29	0,20	0,08	0,25	0,33
<i>Cldn9</i>	0,02	0,10	0,16	0,19	0,06	0,18	0,33
<i>Gm757</i>	0,04	0,06	0,17	0,14	0,05	0,16	0,33
<i>Fv1</i>	0,06	0,05	0,17	0,15	0,05	0,16	0,34
<i>Sertad1</i>	0,15	0,08	0,41	0,26	0,11	0,34	0,34
<i>4933427E11Rik</i>	0,09	0,07	0,28	0,20	0,08	0,24	0,34
<i>Stub1</i>	0,04	0,12	0,26	0,21	0,08	0,24	0,34
<i>Aqp8</i>	0,06	0,08	0,22	0,20	0,07	0,21	0,34
<i>Rxfp4</i>	0,18	0,15	0,54	0,42	0,16	0,48	0,34
<i>Gpr137</i>	0,07	0,12	0,35	0,22	0,10	0,29	0,34
<i>Gpr137</i>	0,08	0,13	0,38	0,23	0,11	0,31	0,34
<i>Gstm5</i>	0,06	0,05	0,14	0,17	0,05	0,16	0,34
<i>Vamp8</i>	0,05	0,07	0,23	0,14	0,06	0,18	0,34
<i>Slc50a1</i>	0,02	0,24	0,40	0,34	0,13	0,37	0,35
<i>Gpr137</i>	0,06	0,10	0,28	0,17	0,08	0,23	0,35
<i>Vmo1</i>	0,12	0,03	0,21	0,19	0,07	0,20	0,35
<i>Map1lc3a</i>	0,02	0,11	0,18	0,18	0,06	0,18	0,36
<i>Efna1</i>	0,10	0,09	0,29	0,24	0,10	0,26	0,36
<i>Dusp28</i>	0,18	0,07	0,40	0,28	0,12	0,34	0,36
<i>Pnpo</i>	0,15	0,11	0,41	0,31	0,13	0,36	0,36
<i>Ndufv1</i>	0,05	0,07	0,21	0,12	0,06	0,16	0,36
<i>Cyp2c55</i>	0,08	0,04	0,15	0,17	0,06	0,16	0,36
<i>Efna1</i>	0,12	0,10	0,32	0,28	0,11	0,30	0,36
<i>5033406O09Rik</i>	0,07	0,13	0,31	0,22	0,10	0,27	0,37
<i>Pmp22</i>	0,10	0,09	0,27	0,25	0,10	0,26	0,37
<i>Gm2061</i>	0,18	0,09	0,38	0,34	0,13	0,36	0,37
<i>Khynyn</i>	0,10	0,09	0,29	0,24	0,10	0,27	0,37
<i>Psmb8</i>	0,09	0,09	0,25	0,23	0,09	0,24	0,37
<i>Polr1c</i>	0,03	0,12	0,23	0,17	0,07	0,20	0,37
<i>Mir26a-2</i>	0,00	0,19	0,36	0,15	0,09	0,25	0,37

<i>Espn</i>	0,13	0,09	0,32	0,28	0,11	0,30	0,37
<i>Lefty1</i>	0,08	0,13	0,31	0,26	0,11	0,28	0,37
<i>Sigmar1</i>	0,08	0,08	0,22	0,21	0,08	0,21	0,37
<i>Spaca4</i>	0,12	0,33	0,78	0,41	0,23	0,60	0,38
<i>Mir700</i>	0,00	0,23	0,42	0,20	0,12	0,31	0,38
<i>Mapk15</i>	0,08	0,10	0,28	0,18	0,09	0,23	0,38
<i>Ppp1r27</i>	0,10	0,03	0,17	0,18	0,07	0,18	0,38
<i>Pfdn5</i>	0,03	0,11	0,22	0,14	0,07	0,18	0,38
<i>Hcfc1r1</i>	0,00	0,14	0,20	0,17	0,07	0,19	0,38
<i>Arhgdia</i>	0,09	0,10	0,29	0,21	0,10	0,25	0,38
<i>Mir33</i>	0,00	0,13	0,34	0,00	0,06	0,17	0,38
<i>Tmem115</i>	0,08	0,08	0,26	0,18	0,08	0,22	0,38
<i>Gm6654</i>	0,15	0,09	0,42	0,20	0,12	0,31	0,39
<i>Rnf223</i>	0,10	0,07	0,18	0,26	0,08	0,22	0,39
<i>Fau</i>	0,10	0,04	0,22	0,15	0,07	0,19	0,39
<i>Slc20a1</i>	0,13	0,09	0,28	0,29	0,11	0,29	0,39
<i>Gpt</i>	0,14	0,16	0,45	0,31	0,15	0,38	0,39
<i>Mir704</i>	0,00	0,13	0,22	0,11	0,06	0,17	0,39
<i>Fau</i>	0,10	0,05	0,23	0,16	0,08	0,19	0,39
<i>Ift20</i>	0,06	0,07	0,21	0,13	0,07	0,17	0,39
<i>Tmed6</i>	0,06	0,08	0,19	0,18	0,07	0,19	0,39
<i>Rfxank</i>	0,06	0,08	0,19	0,16	0,07	0,17	0,39
<i>Al854703</i>	0,11	0,11	0,30	0,27	0,11	0,28	0,39
<i>Slc26a3</i>	0,14	0,13	0,34	0,33	0,13	0,34	0,39
<i>Fam134b</i>	0,13	0,09	0,28	0,26	0,11	0,27	0,39
<i>Fbxo32</i>	0,08	0,08	0,22	0,19	0,08	0,20	0,40
<i>A430035B10Rik</i>	0,21	0,10	0,44	0,35	0,16	0,39	0,40
<i>Fam134b</i>	0,13	0,09	0,29	0,28	0,11	0,29	0,40
<i>Ihh</i>	0,06	0,09	0,18	0,20	0,08	0,19	0,40
<i>Coasy</i>	0,06	0,11	0,26	0,17	0,09	0,21	0,40
<i>Klhdc3</i>	0,05	0,12	0,23	0,21	0,09	0,22	0,40
<i>Fam134b</i>	0,13	0,09	0,29	0,28	0,11	0,28	0,40

<i>Slc20a1</i>	0,10	0,09	0,26	0,23	0,10	0,25	0,40
<i>Atp5b</i>	0,16	0,10	0,39	0,25	0,13	0,32	0,40
<i>D830046C22Rik</i>	0,10	0,11	0,30	0,21	0,10	0,26	0,40
<i>Cox6a1</i>	0,09	0,09	0,23	0,21	0,09	0,22	0,40
<i>Pmaip1</i>	0,11	0,13	0,31	0,29	0,12	0,30	0,40
<i>Trim15</i>	0,08	0,08	0,23	0,19	0,08	0,21	0,40
<i>Trim15</i>	0,08	0,08	0,23	0,19	0,08	0,21	0,40
<i>Slc39a5</i>	0,04	0,10	0,16	0,18	0,07	0,17	0,40
<i>Slc39a5</i>	0,04	0,12	0,19	0,21	0,08	0,20	0,40
<i>Slc39a5</i>	0,04	0,12	0,19	0,20	0,08	0,19	0,40
<i>Commd5</i>	0,08	0,08	0,22	0,18	0,08	0,20	0,41
<i>Ankrd23</i>	0,10	0,08	0,25	0,20	0,09	0,22	0,41
<i>Fam134b</i>	0,14	0,09	0,30	0,27	0,12	0,29	0,41
<i>Tmem174</i>	0,09	0,20	0,40	0,33	0,15	0,36	0,41
<i>Tnfrsf25</i>	0,11	0,06	0,21	0,21	0,09	0,21	0,41
<i>Cox14</i>	0,12	0,12	0,33	0,26	0,12	0,29	0,41
<i>AI837181</i>	0,18	0,13	0,45	0,30	0,15	0,38	0,41
<i>Tmem79</i>	0,06	0,10	0,23	0,17	0,08	0,20	0,41
<i>Adh1</i>	0,12	0,07	0,23	0,23	0,10	0,23	0,41
<i>Eif4ebp3</i>	0,14	0,07	0,27	0,24	0,11	0,26	0,41
<i>Fam166a</i>	0,05	0,10	0,25	0,13	0,08	0,19	0,41
<i>Pdp2</i>	0,25	0,17	0,50	0,52	0,21	0,51	0,41
<i>Tctex1d4</i>	0,20	0,17	0,42	0,49	0,19	0,45	0,41
<i>Snord71</i>	0,00	0,18	0,22	0,21	0,09	0,22	0,41
<i>Nfe2l1</i>	0,07	0,09	0,23	0,16	0,08	0,19	0,41
<i>Lsm4</i>	0,18	0,11	0,43	0,27	0,15	0,35	0,41
<i>AU023871</i>	0,15	0,10	0,30	0,30	0,12	0,30	0,42
<i>Cdk3-ps</i>	0,05	0,16	0,29	0,22	0,11	0,25	0,42
<i>Rogdi</i>	0,13	0,15	0,37	0,31	0,14	0,34	0,42
<i>Nfe2l1</i>	0,07	0,09	0,22	0,16	0,08	0,19	0,42
<i>Uqcr10</i>	0,07	0,08	0,24	0,11	0,07	0,17	0,42
<i>Cdk2ap2</i>	0,14	0,24	0,47	0,41	0,19	0,44	0,42

<i>G0s2</i>	0,05	0,12	0,11	0,29	0,08	0,20	0,42
<i>Zfp707</i>	0,13	0,09	0,25	0,26	0,11	0,26	0,42
<i>Aldoa</i>	0,14	0,06	0,30	0,18	0,10	0,24	0,42
<i>Aldoa</i>	0,14	0,06	0,31	0,18	0,10	0,24	0,42
<i>1810007106Rik</i>	0,07	0,08	0,20	0,17	0,08	0,18	0,42
<i>Lsm10</i>	0,08	0,10	0,23	0,20	0,09	0,21	0,43
<i>Smdt1</i>	0,21	0,16	0,50	0,38	0,19	0,44	0,43
<i>Gpsm3</i>	0,11	0,11	0,34	0,17	0,11	0,25	0,43
<i>Slc10a5</i>	0,13	0,22	0,40	0,43	0,18	0,41	0,43
<i>Ly6g6c</i>	0,12	0,10	0,27	0,24	0,11	0,26	0,43
<i>Fam83e</i>	0,17	0,21	0,53	0,35	0,19	0,44	0,43
<i>Snx15</i>	0,14	0,14	0,35	0,30	0,14	0,33	0,43
<i>Dnase2a</i>	0,07	0,10	0,22	0,16	0,08	0,19	0,43
<i>Atp6v0b</i>	0,04	0,11	0,18	0,18	0,08	0,18	0,43
<i>Ckmt1</i>	0,18	0,15	0,37	0,40	0,17	0,38	0,43
<i>Brk1</i>	0,10	0,11	0,27	0,21	0,10	0,24	0,43
<i>Mirlet7d</i>	0,09	0,29	0,45	0,44	0,19	0,44	0,43
<i>Sult1a1</i>	0,17	0,14	0,37	0,33	0,15	0,35	0,43
<i>Ptger1</i>	0,15	0,17	0,40	0,33	0,16	0,37	0,43
<i>Slc4a2</i>	0,11	0,09	0,24	0,22	0,10	0,23	0,43
<i>Mxd1</i>	0,27	0,20	0,56	0,51	0,23	0,53	0,43
<i>Pnkf</i>	0,12	0,07	0,28	0,17	0,10	0,22	0,44
<i>Gjb3</i>	0,10	0,06	0,21	0,17	0,08	0,19	0,44
<i>BC037034</i>	0,09	0,10	0,20	0,24	0,10	0,22	0,44
<i>Rps4y2</i>	0,17	0,07	0,37	0,18	0,12	0,28	0,44
<i>2010010A06Rik</i>	0,14	0,14	0,34	0,30	0,14	0,32	0,44
<i>Usp2</i>	0,10	0,09	0,20	0,23	0,09	0,22	0,44
<i>Gjb3</i>	0,15	0,09	0,29	0,23	0,12	0,26	0,44
<i>Tmem258</i>	0,05	0,16	0,24	0,22	0,10	0,23	0,44
<i>Tsc22d1</i>	0,16	0,20	0,34	0,47	0,18	0,41	0,44
<i>Aldoa</i>	0,13	0,05	0,26	0,15	0,09	0,20	0,44
<i>Slc15a1</i>	0,09	0,07	0,18	0,20	0,08	0,19	0,44

<i>Dusp1</i>	0,13	0,10	0,22	0,28	0,11	0,25	0,44
4930483J18Rik	0,08	0,13	0,29	0,19	0,11	0,24	0,44
<i>Spef1</i>	0,05	0,11	0,21	0,16	0,08	0,18	0,44
<i>Ccng2</i>	0,15	0,07	0,22	0,28	0,11	0,25	0,44
<i>Ensa</i>	0,15	0,10	0,36	0,19	0,12	0,28	0,44
<i>Cd68</i>	0,09	0,24	0,47	0,26	0,16	0,37	0,44
<i>Acaa1a</i>	0,12	0,07	0,21	0,20	0,09	0,21	0,44
<i>Cdkn2b</i>	0,10	0,15	0,29	0,28	0,13	0,28	0,44
<i>Retsat</i>	0,10	0,15	0,30	0,27	0,13	0,28	0,44
<i>Hist1h1t</i>	0,14	0,42	0,65	0,62	0,28	0,64	0,44
<i>Mir761</i>	0,00	0,18	0,34	0,07	0,09	0,20	0,44
Gm14446	0,13	0,12	0,30	0,28	0,13	0,29	0,44
<i>Ube2m</i>	0,10	0,07	0,21	0,17	0,08	0,19	0,44
<i>Ube2m</i>	0,11	0,08	0,24	0,19	0,10	0,22	0,44
<i>Plk3</i>	0,13	0,19	0,34	0,37	0,16	0,35	0,44
<i>Cideb</i>	0,10	0,10	0,21	0,24	0,10	0,23	0,44
<i>Krt15</i>	0,11	0,07	0,24	0,16	0,09	0,20	0,45
<i>Hspb9</i>	0,07	0,11	0,21	0,20	0,09	0,21	0,45
<i>Mir677</i>	0,81	0,23	1,46	0,89	0,52	1,17	0,45
<i>Gtpbp2</i>	0,14	0,15	0,33	0,33	0,15	0,33	0,45
<i>Mir1904</i>	0,00	0,36	0,42	0,39	0,18	0,41	0,45
<i>Sema4g</i>	0,13	0,12	0,30	0,27	0,13	0,28	0,45
<i>Sowahb</i>	0,26	0,20	0,55	0,48	0,23	0,51	0,45
<i>Fis1</i>	0,04	0,16	0,23	0,21	0,10	0,22	0,45
<i>Polr2e</i>	0,07	0,10	0,17	0,20	0,08	0,19	0,45
<i>Espn</i>	0,13	0,09	0,26	0,23	0,11	0,24	0,45
<i>Slc4a2</i>	0,10	0,09	0,21	0,19	0,09	0,20	0,45
<i>Slc25a35</i>	0,16	0,12	0,34	0,27	0,14	0,30	0,45
<i>Mat2a</i>	0,09	0,11	0,23	0,22	0,10	0,22	0,45
2010001M06Rik	0,17	0,11	0,40	0,21	0,14	0,31	0,45
<i>Adprm</i>	0,08	0,14	0,25	0,23	0,11	0,24	0,45
<i>Psm7</i>	0,12	0,08	0,24	0,20	0,10	0,22	0,45

<i>Entpd8</i>	0,13	0,11	0,29	0,24	0,12	0,27	0,46
<i>Pomgnt1</i>	0,20	0,20	0,47	0,41	0,20	0,44	0,46
<i>Rnf181</i>	0,10	0,10	0,25	0,20	0,10	0,22	0,46
<i>Trim56</i>	0,12	0,14	0,27	0,31	0,13	0,29	0,46
<i>Tymp</i>	0,11	0,11	0,20	0,26	0,11	0,23	0,46
<i>Nkiras2</i>	0,18	0,14	0,35	0,35	0,16	0,35	0,46
<i>Gpha2</i>	0,02	0,20	0,32	0,17	0,11	0,25	0,46
<i>Cldn23</i>	0,13	0,09	0,24	0,26	0,11	0,25	0,46
<i>Dpep1</i>	0,10	0,10	0,24	0,20	0,10	0,22	0,46
<i>Misp</i>	0,16	0,20	0,37	0,43	0,18	0,40	0,46
<i>Synpo</i>	0,15	0,14	0,29	0,33	0,14	0,31	0,46
<i>Prss32</i>	0,11	0,10	0,24	0,21	0,10	0,22	0,46
<i>Gsdmd</i>	0,11	0,15	0,31	0,26	0,13	0,28	0,46
<i>Gm14446</i>	0,11	0,09	0,22	0,21	0,10	0,22	0,46
<i>Otub1</i>	0,12	0,10	0,23	0,25	0,11	0,24	0,46
<i>Usp2</i>	0,09	0,08	0,19	0,18	0,09	0,19	0,46
<i>Fkbp1a</i>	0,10	0,10	0,25	0,20	0,10	0,22	0,46
<i>Igsf9</i>	0,14	0,12	0,29	0,27	0,13	0,28	0,46
<i>Uchl4</i>	0,14	0,32	0,56	0,46	0,23	0,51	0,46
<i>Igsf9</i>	0,14	0,12	0,29	0,27	0,13	0,28	0,46
<i>Rpl34</i>	0,14	0,09	0,30	0,20	0,12	0,25	0,46
<i>Chmp6</i>	0,08	0,14	0,28	0,18	0,11	0,23	0,46
<i>Oasl1</i>	0,12	0,16	0,29	0,31	0,14	0,30	0,46
<i>9630028B13Rik</i>	0,11	0,07	0,19	0,19	0,09	0,19	0,46
<i>Phf1</i>	0,09	0,10	0,26	0,15	0,10	0,21	0,47
<i>Rhbdl1</i>	0,16	0,17	0,36	0,35	0,17	0,35	0,47
<i>Jmjd8</i>	0,12	0,15	0,31	0,27	0,13	0,29	0,47
<i>Prdx6</i>	0,20	0,18	0,42	0,39	0,19	0,41	0,47
<i>Mrpl9</i>	0,08	0,09	0,23	0,15	0,09	0,19	0,47
<i>Selenbp1</i>	0,12	0,08	0,24	0,19	0,10	0,21	0,47
<i>Tpi1</i>	0,21	0,15	0,45	0,33	0,18	0,39	0,47
<i>Tmub2</i>	0,10	0,09	0,24	0,18	0,10	0,21	0,47

<i>Kbtbd13</i>	0,09	0,14	0,25	0,23	0,11	0,24	0,47
<i>Ndufa6</i>	0,15	0,15	0,36	0,29	0,15	0,32	0,47
<i>Tmub1</i>	0,18	0,06	0,28	0,24	0,12	0,26	0,47
<i>Mapk3</i>	0,19	0,16	0,39	0,35	0,17	0,37	0,47
<i>Eif5a</i>	0,08	0,11	0,23	0,18	0,10	0,21	0,47
<i>Eif5a</i>	0,07	0,11	0,22	0,16	0,09	0,19	0,47
<i>Map3k11</i>	0,10	0,09	0,22	0,18	0,10	0,20	0,47
<i>Pspn</i>	0,20	0,01	0,18	0,26	0,11	0,22	0,47
<i>Irf1</i>	0,21	0,16	0,40	0,38	0,19	0,39	0,48
<i>Inpp5j</i>	0,15	0,11	0,26	0,27	0,13	0,27	0,48
<i>Irf1</i>	0,22	0,17	0,43	0,41	0,20	0,42	0,48
<i>Zfp784</i>	0,06	0,13	0,21	0,20	0,10	0,20	0,48
<i>Smim15</i>	0,18	0,15	0,42	0,28	0,17	0,35	0,48
<i>Gmppb</i>	0,08	0,12	0,23	0,19	0,10	0,21	0,48
<i>Adat3</i>	0,14	0,13	0,34	0,23	0,14	0,28	0,48
<i>Snord17</i>	0,18	0,09	0,45	0,11	0,13	0,28	0,48
<i>Bad</i>	0,14	0,09	0,26	0,21	0,12	0,24	0,48
<i>Apoc1</i>	0,09	0,13	0,29	0,17	0,11	0,23	0,48
<i>Sephs2</i>	0,31	0,09	0,47	0,37	0,20	0,42	0,48
<i>Eid2b</i>	0,10	0,12	0,21	0,23	0,11	0,22	0,48
<i>Acot8</i>	0,13	0,08	0,22	0,22	0,11	0,22	0,48
<i>Tmem50b</i>	0,12	0,11	0,22	0,24	0,11	0,23	0,48
<i>Ly6g6d</i>	0,11	0,11	0,21	0,26	0,11	0,24	0,48
<i>1600029I14Rik</i>	0,12	0,09	0,18	0,25	0,10	0,21	0,48
<i>B2m</i>	0,17	0,09	0,31	0,23	0,13	0,27	0,48
<i>Fam134b</i>	0,14	0,09	0,24	0,22	0,11	0,23	0,48
<i>Eif6</i>	0,23	0,20	0,48	0,40	0,22	0,44	0,48
<i>Irf1</i>	0,23	0,18	0,42	0,42	0,20	0,42	0,49
<i>Atf5</i>	0,10	0,11	0,24	0,19	0,10	0,21	0,49
<i>Mir3109</i>	0,54	0,29	1,29	0,43	0,42	0,86	0,49
<i>Rabggtb</i>	0,09	0,12	0,22	0,21	0,11	0,22	0,49
<i>Tuba4a</i>	0,14	0,15	0,32	0,28	0,15	0,30	0,49

<i>Etfb</i>	0,08	0,11	0,22	0,19	0,10	0,20	0,49
<i>Zbtb12</i>	0,33	0,22	0,63	0,49	0,28	0,56	0,49
<i>Pcgf2</i>	0,11	0,08	0,21	0,19	0,10	0,20	0,49
<i>Pcgf2</i>	0,12	0,09	0,21	0,19	0,10	0,20	0,49
<i>Slc25a34</i>	0,19	0,20	0,48	0,31	0,19	0,40	0,49
<i>Dhcr7</i>	0,11	0,08	0,20	0,20	0,10	0,20	0,49
<i>Dhrs11</i>	0,16	0,09	0,25	0,27	0,13	0,26	0,49
<i>2210417A02Rik</i>	0,12	0,08	0,19	0,22	0,10	0,20	0,49
<i>Myl12b</i>	0,20	0,21	0,42	0,41	0,20	0,41	0,49
<i>Ap5s1</i>	0,12	0,10	0,30	0,15	0,11	0,22	0,49
<i>Ppa1</i>	0,12	0,09	0,24	0,19	0,10	0,21	0,49
<i>Mir3089</i>	0,00	0,24	0,30	0,19	0,12	0,24	0,49
<i>Apoc1</i>	0,09	0,14	0,29	0,17	0,11	0,23	0,49
<i>Agpat2</i>	0,12	0,10	0,26	0,18	0,11	0,22	0,49
<i>Slc9a3r1</i>	0,20	0,12	0,33	0,30	0,16	0,31	0,49
<i>Fis1</i>	0,10	0,13	0,24	0,23	0,12	0,23	0,49
<i>Akt1s1</i>	0,16	0,07	0,25	0,21	0,11	0,23	0,50
<i>Shisa5</i>	0,33	0,14	0,52	0,42	0,23	0,47	0,50
<i>Carhsp1</i>	0,16	0,12	0,30	0,26	0,14	0,28	0,50
<i>Kcnk5</i>	0,25	0,18	0,44	0,41	0,21	0,43	0,50
<i>Chmp1a</i>	0,16	0,10	0,28	0,25	0,13	0,26	0,50
<i>Mgst3</i>	0,17	0,15	0,35	0,28	0,16	0,32	0,50
<i>Gm12530</i>	0,11	0,13	0,25	0,24	0,12	0,25	0,50
<i>Slc39a7</i>	0,20	0,16	0,39	0,33	0,18	0,36	0,50
<i>Purg</i>	0,13	0,08	0,22	0,19	0,10	0,21	0,50
<i>Kctd17</i>	0,14	0,11	0,27	0,24	0,13	0,25	0,50
<i>Tor1aip2</i>	0,10	0,11	0,22	0,20	0,10	0,21	0,50
<i>Taf10</i>	0,12	0,09	0,23	0,19	0,11	0,21	0,50
<i>Akt1s1</i>	0,18	0,08	0,30	0,24	0,13	0,27	0,50
<i>4933404O12Rik</i>	0,12	0,11	0,23	0,22	0,11	0,23	0,50
<i>Rab3a</i>	0,20	0,11	0,33	0,29	0,16	0,31	0,50
<i>Synpo</i>	0,12	0,09	0,21	0,21	0,10	0,21	0,50

<i>Sphk2</i>	0,27	0,16	0,51	0,36	0,22	0,43	0,50
2810013P06Rik	0,16	0,08	0,36	0,12	0,12	0,24	0,50
<i>Arl1</i>	0,15	0,19	0,39	0,29	0,17	0,34	0,50
<i>Tor4a</i>	0,12	0,15	0,32	0,21	0,13	0,26	0,50
<i>Batf2</i>	0,12	0,14	0,28	0,23	0,13	0,26	0,50
<i>Il22ra1</i>	0,15	0,17	0,35	0,29	0,16	0,32	0,50
<i>Prr13</i>	0,25	0,13	0,39	0,36	0,19	0,37	0,50
<i>Mir135a-1</i>	0,27	0,33	0,15	0,14	0,30	0,15	2,05
<i>Ly6d</i>	0,29	0,26	0,11	0,16	0,28	0,13	2,11
1700028B04Rik	0,43	0,17	0,13	0,15	0,30	0,14	2,15
<i>Mir190b</i>	0,54	0,00	0,20	0,05	0,27	0,12	2,17
<i>Ly6g5b</i>	0,34	0,09	0,06	0,14	0,21	0,10	2,21
<i>Snora47</i>	0,68	0,23	0,21	0,20	0,46	0,20	2,24
<i>Snord42a</i>	0,27	0,18	0,11	0,09	0,23	0,10	2,25
5830454E08Rik	0,34	0,02	0,08	0,07	0,18	0,08	2,28
<i>Sapcd1</i>	0,32	0,10	0,06	0,12	0,21	0,09	2,32
<i>Rnu73b</i>	0,27	0,21	0,17	0,04	0,24	0,10	2,34
BC033916	0,25	0,13	0,03	0,13	0,19	0,08	2,34
<i>Csf3</i>	0,30	0,05	0,08	0,07	0,18	0,07	2,39
1700092M07Rik	0,63	0,21	0,16	0,19	0,42	0,17	2,41
<i>Mir32</i>	0,54	0,36	0,20	0,18	0,45	0,19	2,42
<i>Npvf</i>	0,25	0,14	0,07	0,09	0,19	0,08	2,42
<i>Mir196a-1</i>	0,45	0,10	0,19	0,04	0,28	0,11	2,49
<i>Mir148b</i>	0,68	0,03	0,19	0,09	0,36	0,14	2,53
BC002163	0,31	0,04	0,09	0,05	0,18	0,07	2,53
<i>Mir497</i>	0,45	0,05	0,02	0,18	0,25	0,10	2,57
<i>Zg16</i>	0,41	0,06	0,09	0,09	0,24	0,09	2,62
<i>Fabp4</i>	0,18	0,15	0,05	0,07	0,17	0,06	2,66
<i>Oxld1</i>	0,38	0,18	0,09	0,12	0,28	0,10	2,76
<i>Snord92</i>	0,59	0,21	0,13	0,15	0,40	0,14	2,79
<i>Mir1967</i>	0,27	0,05	0,02	0,09	0,16	0,06	2,85
<i>Mir1940</i>	0,45	0,31	0,11	0,15	0,38	0,13	2,86

<i>Calm4</i>	0,26	0,07	0,04	0,08	0,17	0,06	2,91
<i>Mir93</i>	0,36	0,12	0,07	0,07	0,24	0,07	3,30
<i>Mir449a</i>	0,27	0,05	0,00	0,09	0,16	0,05	3,41
<i>Mir181a-1</i>	0,09	0,28	0,00	0,11	0,18	0,05	3,44
<i>Mir3100</i>	1,63	0,00	0,11	0,35	0,81	0,23	3,48
<i>Mir22</i>	0,00	0,29	0,02	0,06	0,15	0,04	3,77
<i>Scarna3b</i>	0,54	0,00	0,03	0,12	0,27	0,07	3,78
<i>Olfr208</i>	0,24	0,11	0,04	0,05	0,17	0,04	3,90
<i>Mir181c</i>	0,27	0,00	0,06	0,01	0,14	0,03	3,98
<i>Mir3072</i>	0,54	0,09	0,11	0,04	0,31	0,07	4,25
<i>Snord73a</i>	0,27	0,00	0,03	0,04	0,14	0,03	4,26
<i>Spag11a</i>	0,25	0,13	0,01	0,07	0,19	0,04	4,31
<i>Rasd1</i>	0,24	0,06	0,04	0,02	0,15	0,03	4,58
<i>Mir16-2</i>	0,99	0,31	0,07	0,20	0,65	0,14	4,73
<i>Snord64</i>	0,27	0,00	0,06	0,00	0,14	0,03	4,82
<i>Mir1843</i>	0,54	0,00	0,00	0,11	0,27	0,05	5,09
<i>Prps1l1</i>	0,22	0,08	0,02	0,04	0,15	0,03	5,16
<i>Olfr282</i>	0,26	0,05	0,03	0,03	0,15	0,03	5,21
<i>C920025E04Rik</i>	0,22	0,04	0,02	0,03	0,13	0,02	5,32
<i>Mir145</i>	0,41	0,26	0,00	0,12	0,33	0,06	5,36
<i>Mir330</i>	0,54	0,00	0,00	0,09	0,27	0,05	5,73
<i>Mir759</i>	0,54	0,00	0,04	0,05	0,27	0,04	6,39
<i>Mir675</i>	0,18	0,16	0,00	0,05	0,17	0,02	7,10
<i>Dear1</i>	0,19	0,04	0,00	0,03	0,12	0,02	7,11
<i>Mir335</i>	0,27	0,16	0,00	0,06	0,21	0,03	7,21
<i>Mir877</i>	0,54	0,00	0,07	0,00	0,27	0,04	7,23
<i>Mir148a</i>	0,90	0,26	0,13	0,02	0,58	0,08	7,51
<i>Snord116l1</i>	0,54	0,03	0,00	0,07	0,29	0,04	8,13
<i>Ear5</i>	0,16	0,11	0,01	0,03	0,13	0,02	8,29
<i>Calm5</i>	0,20	0,07	0,02	0,01	0,13	0,01	9,05
<i>Snord45b</i>	0,27	0,05	0,00	0,04	0,16	0,02	9,10
<i>Krtap8-1</i>	0,18	0,04	0,00	0,02	0,11	0,01	11,73

<i>Olfr1324</i>	0,22	0,05	0,01	0,02	0,13	0,01	11,73
<i>Ube2dn1</i>	0,20	0,05	0,00	0,02	0,13	0,01	12,31
<i>Olfr1413</i>	0,20	0,01	0,00	0,02	0,11	0,01	14,34
<i>Mir466</i>	0,27	0,00	0,00	0,02	0,14	0,01	15,26
<i>Mir1936</i>	0,27	0,02	0,02	0,00	0,14	0,01	15,38
<i>Olfr1509</i>	0,22	0,09	0,00	0,02	0,15	0,01	16,14
<i>Mir345</i>	0,18	0,03	0,00	0,01	0,11	0,01	18,17
<i>Olfr1048</i>	0,16	0,05	0,00	0,01	0,11	0,00	29,89
<i>Cypt8</i>	0,41	0,02	0,01	0,00	0,21	0,01	36,33
<i>Bhlha9</i>	0,16	0,06	0,00	0,01	0,11	0,00	37,96
<i>Cypt1</i>	0,40	0,01	0,01	0,00	0,21	0,01	38,74
<i>Hist1h3i</i>	0,21	0,02	0,00	0,01	0,11	0,00	41,07
<i>Vmn1r28</i>	0,25	0,02	0,00	0,01	0,13	0,00	42,98
<i>Mir122a</i>	0,81	0,13	0,00	0,00	0,47	0,00	inf
<i>Mir1955</i>	0,81	0,10	0,00	0,00	0,46	0,00	inf
<i>Mir378b</i>	0,45	0,28	0,00	0,00	0,36	0,00	inf
<i>Mir3108</i>	0,54	0,05	0,00	0,00	0,30	0,00	inf
<i>Snora19</i>	0,54	0,00	0,00	0,00	0,27	0,00	inf
<i>Mir200c</i>	0,27	0,10	0,00	0,00	0,19	0,00	inf
<i>Mir1942</i>	0,00	0,36	0,00	0,00	0,18	0,00	inf
<i>Dpm3</i>	0,27	0,06	0,00	0,00	0,17	0,00	inf
<i>Mir202</i>	0,27	0,05	0,00	0,00	0,16	0,00	inf
<i>H2afb1</i>	0,21	0,08	0,00	0,00	0,15	0,00	inf
<i>Olfr948</i>	0,23	0,05	0,00	0,00	0,14	0,00	inf
<i>Mir741</i>	0,27	0,00	0,00	0,00	0,14	0,00	inf
<i>Mir1938</i>	0,27	0,00	0,00	0,00	0,14	0,00	inf
<i>Snord2</i>	0,27	0,00	0,00	0,00	0,14	0,00	inf
<i>Mir125b-2</i>	0,27	0,00	0,00	0,00	0,14	0,00	inf
<i>Mir133a-1</i>	0,27	0,00	0,00	0,00	0,14	0,00	inf
<i>Mir684-1</i>	0,27	0,00	0,00	0,00	0,14	0,00	inf
<i>Mir137</i>	0,27	0,00	0,00	0,00	0,14	0,00	inf
<i>Mir127</i>	0,00	0,26	0,00	0,00	0,13	0,00	inf

	<i>Olfr1049</i>		0,19		0,03		0,00		0,00		0,11		0,00		inf	
--	-----------------	--	------	--	------	--	------	--	------	--	------	--	------	--	-----	--

Table III

MiRs found in mice or in SY5Y cells, related to Fig. 4a

miRs-mice	miRs-SY5Y
<i>miRLET7G</i>	<i>miR1-2</i>
<i>miRLET7D</i>	<i>miR101-2</i>
<i>miRLET7C-2</i>	<i>miR103A1</i>
<i>miR93</i>	<i>miR103A2</i>
<i>miR92-1</i>	<i>miR103B1</i>
<i>miR877</i>	<i>miR103B2</i>
<i>miR763</i>	<i>miR105-2</i>
<i>miR761</i>	<i>miR106A</i>
<i>miR759</i>	<i>miR1178</i>
<i>miR741</i>	<i>miR1179</i>
<i>miR706</i>	<i>miR1193</i>
<i>miR704</i>	<i>miR1197</i>
<i>miR700</i>	<i>miR1200</i>
<i>miR7-2</i>	<i>miR1203</i>
<i>miR684-1</i>	<i>miR1205</i>
<i>miR677</i>	<i>miR1206</i>
<i>miR675</i>	<i>miR122</i>
<i>miR540</i>	<i>miR1224</i>
<i>miR532</i>	<i>miR1228</i>
<i>miR511</i>	<i>miR1231</i>
<i>miR505</i>	<i>miR1234</i>
<i>miR497</i>	<i>miR1236</i>
<i>miR488</i>	<i>miR1238</i>
<i>miR468</i>	<i>miR124-1</i>
<i>miR466</i>	<i>miR124-3</i>
<i>miR449A</i>	<i>miR1243</i>
<i>miR434</i>	<i>miR1244-1</i>
<i>miR429</i>	<i>miR1244-1</i>
<i>miR3968</i>	<i>miR1244-1</i>
<i>miR378B</i>	<i>miR1247</i>
<i>miR345</i>	<i>miR1252</i>
<i>miR340</i>	<i>miR1253</i>
<i>miR335</i>	<i>miR1257</i>
<i>miR330</i>	<i>miR1258</i>
<i>miR33</i>	<i>miR125A</i>
<i>miR326</i>	<i>miR125B1</i>
<i>miR322</i>	<i>miR126</i>
<i>miR32</i>	<i>miR1260B</i>
<i>miR3109</i>	<i>miR1262</i>
<i>miR3108</i>	<i>miR1264</i>
<i>miR3103</i>	<i>miR1265</i>
<i>miR3100</i>	<i>miR127</i>
<i>miR31</i>	<i>miR1270-1</i>

<i>miR30A</i>	<i>miR1275</i>
<i>miR3095</i>	<i>miR1276</i>
<i>miR3089</i>	<i>miR1278</i>
<i>miR3076</i>	<i>miR1282</i>
<i>miR3075</i>	<i>miR1283-1</i>
<i>miR3072</i>	<i>miR1283-2</i>
<i>miR3069</i>	<i>miR1287</i>
<i>miR3063</i>	<i>miR1289-2</i>
<i>miR3061</i>	<i>miR129-2</i>
<i>miR3058</i>	<i>miR1291</i>
<i>miR29C</i>	<i>miR1292</i>
<i>miR26B</i>	<i>miR1297</i>
<i>miR26A-2</i>	<i>miR1301</i>
<i>miR26A-1</i>	<i>miR1304</i>
<i>miR22</i>	<i>miR1305</i>
<i>miR20A</i>	<i>miR1306</i>
<i>miR205</i>	<i>miR130A</i>
<i>miR202</i>	<i>miR130B</i>
<i>miR200C</i>	<i>miR1322</i>
<i>miR1982</i>	<i>miR1323</i>
<i>miR1981</i>	<i>miR1324</i>
<i>miR196A-1</i>	<i>miR133A1</i>
<i>miR1967</i>	<i>miR133A2</i>
<i>miR1961</i>	<i>miR134</i>
<i>miR1955</i>	<i>miR135A1</i>
<i>miR1942</i>	<i>miR136</i>
<i>miR1940</i>	<i>miR137</i>
<i>miR193B</i>	<i>miR138-1</i>
<i>miR1938</i>	<i>miR138-2</i>
<i>miR1936</i>	<i>miR139</i>
<i>miR1930</i>	<i>miR144</i>
<i>miR1929</i>	<i>miR145</i>
<i>miR191</i>	<i>miR1468</i>
<i>miR190B</i>	<i>miR1469</i>
<i>miR1904</i>	<i>miR146A</i>
<i>miR1843</i>	<i>miR146B</i>
<i>miR1839</i>	<i>miR147A</i>
<i>miR181C</i>	<i>miR148A</i>
<i>miR181A-1</i>	<i>miR148B</i>
<i>miR16-2</i>	<i>miR149</i>
<i>miR15A</i>	<i>miR152</i>
<i>miR148B</i>	<i>miR153-1</i>
<i>miR148A</i>	<i>miR1538</i>
<i>miR147</i>	<i>miR1539</i>
<i>miR145</i>	<i>miR155</i>
<i>miR139</i>	<i>miR15A</i>

miR137
miR135A-1
miR133A-1
miR127
miR125B-2
miR1247
miR122A
miR1192
miR1190
miR10A
miR106A
miR103-1

miR15B
miR17
miR181A2
miR181B1
miR181B2
miR181C
miR181D
miR182
miR1827
miR183
miR184
miR188
miR18A
miR190A
miR190B
miR191
miR1910
miR1911
miR1912
miR1914
miR193A
miR193B
miR194-1
miR195
miR196A1
miR196B
miR1973
miR1976
miR199A2
miR199B
miR19B1
miR19B2
miR200A
miR200B
miR202
miR203
miR204
miR208B
miR20B
miR21
miR210
miR211
miR2110
miR2113
miR2116
miR2117

miR216B
miR217
miR218-2
miR219-1
miR219-2
miR22
miR221
miR222
miR223
miR224
miR2276
miR2278
miR2392
miR23B
miR24-2
miR2682
miR26A2
miR27B
miR2861
miR2909
miR296
miR2964A
miR29A
miR29B1
miR302B
miR302D
miR3064
miR3065
miR30A
miR30B
miR30C1
miR30E
miR31
miR3115
miR3117
miR3119-2
miR3122
miR3126
miR3127
miR3128
miR3129
miR3130-2
miR3136
miR3139
miR3141
miR3142

miR3146
miR3148
miR3150A
miR3150B
miR3153
miR3158-2
miR3160-1
miR3160-2
miR3162
miR3163
miR3165
miR3167
miR3169
miR3173
miR3175
miR3178
miR3183
miR3184
miR3186
miR3187
miR3188
miR3189
miR3192
miR3194
miR3196
miR3197
miR3198-1
miR3199-1
miR3199-2
miR3201
miR320C1
miR323A
miR323B
miR324
miR326
miR328
miR329-1
miR329-2
miR330
miR331
miR335
miR337
miR338
miR339
miR342
miR34B

miR34C
miR3529
miR3545
miR3591
miR3605
miR3610
miR3613
miR3615
miR3618
miR362
miR3620
miR363
miR3646
miR3650
miR3652
miR3654
miR3655
miR3658
miR3659
miR365A
miR3663
miR3664
miR3666
miR3668
miR367
miR3671
miR3675
miR3675
miR3679
miR3684
miR3689A
miR3689D2
miR3689E
miR369
miR3691
miR3692
miR3714
miR371A
miR371B
miR373
miR374A
miR376A1
miR376A2
miR376C
miR377
miR378C

miR378D2
miR378F
miR380
miR381
miR382
miR3909
miR3910-1
miR3910-2
miR3912
miR3913-1
miR3913-2
miR3914-1
miR3914-2
miR3916
miR3917
miR3919
miR3921
miR3924
miR3925
miR3936
miR3938
miR3939
miR3940
miR3942
miR3943
miR3945
miR3960
miR3973
miR3976
miR411
miR412
miR423
miR4251
miR4255
miR4257
miR4258
miR4260
miR4261
miR4262
miR4263
miR4264
miR4265
miR4267
miR4268
miR4269
miR4270

miR4273
miR4275
miR4276
miR4277
miR4280
miR4281
miR4284
miR4285
miR4286
miR4287
miR4288
miR4290
miR4292
miR4294
miR4296
miR4297
miR4298
miR4299
miR4302
miR4305
miR4307
miR4308
miR4309
miR431
miR4312
miR4315-1
miR4316
miR432
miR4320
miR4322
miR4324
miR4325
miR4329
miR433
miR4417
miR4420
miR4423
miR4424
miR4429
miR4432
miR4436A
miR4436B1
miR4442
miR4443
miR4444-1
miR4446

miR4456
miR4457
miR4460
miR4464
miR4467
miR4468
miR4470
miR4472-1
miR4476
miR4478
miR448
miR4480
miR4482-1
miR4483
miR4484
miR4486
miR4488
miR4490
miR4491
miR4492
miR4493
miR4499
miR449A
miR449C
miR4500
miR4503
miR4508
miR450A1
miR450A2
miR4513
miR4514
miR4515
miR4518
miR4519
miR451A
miR451B
miR452
miR4521
miR4526
miR4529
miR4530
miR4531
miR4536-1
miR4540
miR455
miR4632

miR4633
miR4636
miR4637
miR4639
miR4640
miR4642
miR4644
miR4645
miR4647
miR4648
miR4650-1
miR4652
miR4654
miR4656
miR4657
miR4658
miR4660
miR4661
miR4666A
miR4667
miR4668
miR4669
miR4670
miR4671
miR4672
miR4673
miR4674
miR4677
miR4679-1
miR4679-2
miR4681
miR4682
miR4683
miR4684
miR4685
miR4686
miR4688
miR4689
miR4691
miR4693
miR4694
miR4695
miR4700
miR4704
miR4705
miR4707

miR4708
miR4709
miR4710
miR4711
miR4714
miR4716
miR4718
miR4719
miR4721
miR4723
miR4724
miR4725
miR4726
miR4727
miR4728
miR4731
miR4732
miR4733
miR4735
miR4736
miR4737
miR4738
miR4741
miR4742
miR4745
miR4748
miR4750
miR4751
miR4753
miR4757
miR4758
miR4759
miR4761
miR4763
miR4764
miR4767
miR4771-2
miR4773-2
miR4775
miR4778
miR4779
miR4782
miR4784
miR4786
miR4787
miR4788

miR4790
miR4793
miR4796
miR4797
miR4798
miR4799
miR4800
miR4802
miR4804
miR483
miR484
miR486
miR487A
miR487B
miR488
miR489
miR490
miR491
miR493
miR495
miR497
miR498
miR4999
miR5000
miR5001
miR5004
miR5008
miR5011
miR502
miR503
miR504
miR5047
miR506
miR507
miR508
miR5087
miR5088
miR5089
miR509-3
miR5090
miR5094
miR510
miR5100
miR511-1
miR515-2
miR516A1

miR516A2
miR516B1
miR517C
miR5186
miR5187
miR5189
miR518A1
miR518E
miR518F
miR5190
miR5191
miR5192
miR5193
miR5194
miR5197
miR519B
miR519C
miR519D
miR519E
miR520C
miR520E
miR520F
miR521-1
miR521-2
miR523
miR524
miR526A1
miR526A2
miR527
miR532
miR542
miR543
miR548A1
miR548AA2
miR548AD
miR548AR
miR548AR
miR548AR
miR548AR
miR548AV
miR548F2
miR548F4
miR548G
miR548J
miR548K
miR548U
miR548X2

miR549
miR550A1
miR550A2
miR551A
miR551B
miR553
miR554
miR555
miR556
miR557
miR5579
miR558
miR5582
miR5584
miR561
miR563
miR567
miR568
miR5687
miR5688
miR5690
miR5691
miR5692C2
miR5699
miR570
miR5700
miR5702
miR5703
miR5704
miR5707
miR5708
miR574
miR578
miR580
miR583
miR586
miR589
miR590
miR592
miR593
miR597
miR599
miR601
miR602
miR603
miR605

miR608
miR612
miR613
miR615
miR617
miR621
miR623
miR624
miR627
miR628
miR629
miR632
miR635
miR636
miR638
miR639
miR643
miR644A
miR644B
miR645
miR646
miR647
miR650
miR651
miR654
miR655
miR656
miR657
miR660
miR661
miR662
miR664
miR665
miR668
miR670
miR671
miR675
miR7-2
miR7-3
miR711
miR758
miR760
miR765
miR766
miR770
miR875

miR877
miR885
miR888
miR889
miR890
miR891A
miR891B
miR892B
miR9-2
miR921
miR92B
miR935
miR937
miR940
miR941-1
miR941-2
miR941-2
miR941-2
miR941-3
miR941-3
miR941-4
miR941-4
miR942
miR943
miR944
miR96
miR98
miRLET7A2
miRLET7B
miRLET7C
miRLET7D
miRLET7E
miRLET7F1
miRLET7G

Table IV

MiRWalk Predicted mRNAs found in mice or in SY5Y cells, as well as common mRNAs found in mice and in SY5Y cells, related to Fig. 4b

Predicted mRNAs in mice	Predicted mRNAs in SY5Y	Common mRNAs
AACS	ABAT	ABCB9
AANAT	ABCA12	ABHD6
ABCA15	ABCB7	ACADS
ABCA3	ABCB8	ACP2
ABCA9	ABCB9	ACTR1A
ABCB6	ABCC10	ACVR1
ABCB9	ABCC11	ACVR2A
ABCC1	ABCD1	ADCK4
ABCC8	ABCD3	AFAP1
ABCC9	ABCG5	AGBL5
ABCD4	ABHD12	AHDC1
ABHD14A	ABHD14B	AJAP1
ABHD6	ABHD6	AKR1D1
ABL1	ABI2	ALCAM
ABL2	ABI3	ALDH2
ABLIM3	ACACA	ALDH8A1
ACAA2	ACAD10	ALDOA
ACADS	ACAD9	ALOX5
ACOT8	ACADL	ANAPC13
ACP2	ACADS	ANAPC2
ACP5	ACBD6	ANKRA2
ACP6	ACP2	AP3B1
ACSL4	ACSBG1	AP4E1
ACSM5	ACSBG2	AQP11
ACTC1	ACSF3	AR
ACTR1A	ACTA1	ARFGAP2
ACTR5	ACTL7A	ARFIP2
ACVR1	ACTR1A	ARHGDI1
ACVR1B	ACVR1	ARID4A
ACVR2A	ACVR2A	ARID4B
ACY1	ADA	ARL11
ADAM10	ADAM19	ARL2
ADAM11	ADAM20	ARL6IP6
ADAM12	ADAM22	ARL8B
ADAM15	ADAM30	ARMCX2
ADAM1B	ADAM9	ARPC5
ADAM2	ADAMTS8	ARRB1
ADAM6	ADAMTSL1	ASB1
ADAMTS1	ADCK1	ASB3
ADAMTS10	ADCK2	ASH1L
ADAMTS19	ADCK4	ASH2L

ADAMTS4	ADCY6	ATG12
ADAMTSL2	ADCY7	ATG4B
ADAR	ADH1A	ATG9A
ADCK4	ADH1B	ATP8A1
ADCY3	ADH1C	ATXN2
ADCY5	ADNP2	ATXN7L2
ADCYAP1R1	ADO	B3GNT7
ADFP	ADORA1	B3GNTL1
ADI1	ADORA2A	BAG3
ADIPOQ	ADRB2	BATF3
ADORA2B	ADRBK1	BBC3
ADRA1D	ADRBK2	BCL2
ADRA2B	AFAP1	BCL9L
AF529169	AFF4	BECN1
AFAP1	AGBL2	BGN
AGBL5	AGBL5	BIRC5
AGPAT6	AGK	BRI3
AHDC1	AGTPBP1	BRSK2
AHNAK	AGTR1	BTG2
AHSA2	AGTRL1	C1QTNF5
AHSG	AGXT2L1	C1QTNF7
AI118078	AHDC1	CABLES2
AI428936	AHNAK2	CADPS
AI429214	AHR	CALM1
AIFM2	AIPL1	CAMK2B
AIFM3	AJAP1	CANT1
AJAP1	AKAP13	CARS
AKAP14	AKR1B1	CBFB
AKAP6	AKR1D1	CBY1
AKAP8	ALCAM	CCDC120
AKAP9	ALDH2	CCDC28A
AKR1A4	ALDH8A1	CCDC46
AKR1B7	ALDOA	CCDC88C
AKR1D1	ALDOC	CCDC96
AKT1	ALG10	CCM2
AKT2	ALG2	CCND2
ALCAM	ALG6	CCNE1
ALDH2	ALKBH3	CCNE2
ALDH8A1	ALOX12	CCNJL
ALDH9A1	ALOX5	CD40
ALDOA	ALPI	CD48
ALG12	ALPP	CD8A
ALOX12B	ALPPL2	CD93
ALOX5	ALX3	CD97
ALS2CR12	AMZ1	CDC37
AMACR	ANAPC11	CDC37L1

AMIGO3	ANAPC13	CDK8
AMOTL1	ANAPC2	CELSR3
AMPH	ANGEL1	CHD9
ANAPC1	ANGPT2	CHEK1
ANAPC10	ANK2	CHGA
ANAPC13	ANKHD1	CHIA
ANAPC2	ANKRA2	CHMP1A
ANKMY1	ANKRD12	CHMP7
ANKRA2	ANKRD23	CHORDC1
ANKRD26	ANKRD29	CIB2
ANKRD34B	ANKRD39	CIDEB
ANKRD34C	ANKRD43	CLDN1
ANKRD40	ANKRD45	CLDN2
ANKRD49	ANKRD53	CLN8
ANKRD58	ANKRD55	CLOCK
ANKRD7	ANKS4B	CLRN1
ANKS3	ANKS6	CNN1
AOX3	ANTXR2	CNOT6
AP1S3	ANXA13	CNP
AP2A2	ANXA4	CNTN2
AP3B1	ANXA6	CNTNAP4
AP4B1	AP1B1	COG2
AP4E1	AP2A1	COL13A1
APAF1	AP3B1	COMMD9
APBH	AP3B2	COPS2
APITD1	AP4E1	CORO7
APLN	APBB1IP	CPNE8
APOA5	APBB2	CPSF6
AQP11	APCDD1L	CRTAC1
AQP4	APH1B	CRYGN
AQP5	APOA2	CSDA
AR	APOA4	CSE1L
ARF3	APOBEC2	CSMD1
ARFGAP1	APOBEC3C	CST6
ARFGAP2	APOH	CTDSP2
ARFIP2	APOL6	CTHRC1
ARHGAP1	APPL2	CTTNBP2NL
ARHGAP19	AQP11	CUEDC1
ARHGAP25	AQP9	CXCL9
ARHGAP28	AR	CXCR7
ARHGAP4	ARCN1	CYP24A1
ARHGAP5	ARFGAP2	D2HGDH
ARHGDIA	ARFIP2	DAAM1
ARHGEF2	ARFRP1	DBC1
ARID4A	ARG2	DDX4
ARID4B	ARHGAP11A	DEDD

ARL11	ARHGAP15	DEF8
ARL15	ARHGAP18	DEPDC5
ARL2	ARHGAP22	DET1
ARL6IP1	ARHGAP26	DGKQ
ARL6IP6	ARHGAP27	DGKZ
ARL8B	ARHGDI A	DHRS13
ARMC6	ARHGDI B	DIXDC1
ARMCX2	ARHGEF12	DMRT2
ARPC5	ARID4A	DMRTA1
ARPP19	ARID4B	DMXL1
ARPP21	ARL10	DNAJA1
ARRB1	ARL11	DNAJC7
ARRDC3	ARL2	DOCK6
ASAH3	ARL6IP6	DOCK7
ASB1	ARL8B	DOCK8
ASB3	ARMC1	DPP3
ASB6	ARMC4	DR1
ASCL3	ARMCX1	DUSP10
ASH1L	ARMCX2	DUSP2
ASH2L	ARMCX3	DUSP8
ASNA1	ARPC5	EDARADD
ASPRV1	ARPC5L	EDNRA
ASZ1	ARPP-19	EED
ATG12	ARPP-21	EFCAB5
ATG4B	ARRB1	EHD1
ATG9A	ARSF	EIF2B2
ATP11A	ASB1	EIF2B5
ATP5E	ASB2	EIF3A
ATP6VOD1	ASB3	EIF3B
ATP6V1G3	ASB4	EIF3G
ATP7A	ASCC2	ELAVL2
ATP8A1	ASCC3	EME1
ATP8B3	ASH1L	EML5
ATP9B	ASH2L	EMX1
ATRNL1	ASNSD1	EPC2
ATXN10	ASXL1	EPHA1
ATXN1L	ASXL2	EPHA7
ATXN2	ATAD1	ERLIN1
ATXN7L2	ATF1	ERRFI1
AU019823	ATG12	ESCO1
AU021034	ATG2A	ESRRA
AU022870	ATG4B	ETFB
AURKAIP1	ATG5	ETS1
AURKB	ATG7	EVI5L
AW146020	ATG9A	EVPL
AW551984	ATG9B	FA2H

AXIN1	ATN1	FAH
AXL	ATOH8	FAP
B230217C12RIK	ATP10A	FBXW5
B2M	ATP13A2	FDFT1
B3GALNT2	ATP1A2	FECH
B3GALTL	ATP1B4	FGGY
B3GAT1	ATP4B	FLVCR2
B3GNT5	ATP5G2	FMO1
B3GNT6	ATP5SL	FNDC4
B3GNT7	ATP6AP2	FNTA
B3GNL1	ATP6V0A2	FOXD1
B4GALT1	ATP6V0B	FOXJ2
B4GALT3	ATP6V1A	FSCN1
B4GALT6	ATP6V1B2	FUK
B4GALT7	ATP8A1	FURIN
BAG3	ATPBD1C	FUT8
BAIAP2L2	ATPIF1	FXC1
BAMBI	ATXN2	From
BANF2	ATXN7L2	GABPB2
BAP1	AUTS2	GABRA3
BASP1	AVEN	GABRG3
BAT1A	AZU1	GADD45A
BATF3	B3GAT3	GALNT1
BBC3	B3GNT7	GALNT3
BC003266	B3GNL1	GALNT7
BC004004	B4GALNT3	GBL
BC017612	B4GALNT4	GIN1
BC017643	B4GALT2	GJB3
BC017647	BAALC	GJB5
BC018465	BAG2	GLDC
BC021785	BAG3	GMFB
BC021891	BAG4	GNAI2
BC023829	BAHCC1	GNE
BC024479	BAI3	GOLGA1
BC046331	BAIAP2L1	GPATCH3
BC049715	BANF1	GPM6A
BC051019	BAT2D1	GPR137B
BC054059	BAT4	GPR26
BC066028	BATF3	GPR64
BC068281	BAZ1A	GPSM3
BCCIP	BAZ1B	GPT2
BCL2	BBC3	GPX7
BCL6	BCAN	GRB7
BCL9L	BCAR1	GRM3
BDH1	BCL2	GSTO1
BECN1	BCL2A1	GTF3C1

<i>BGLAP-RS1</i>	<i>BCL2L1</i>	<i>GZF1</i>
<i>BGLAP2</i>	<i>BCL2L11</i>	<i>H3F3B</i>
<i>BGN</i>	<i>BCL2L15</i>	<i>HCRT</i>
<i>BHMT</i>	<i>BCL7B</i>	<i>HDAC8</i>
<i>BIN1</i>	<i>BCL9L</i>	<i>HELZ</i>
<i>BIRC5</i>	<i>BCS1L</i>	<i>HERPUD2</i>
<i>BLZF1</i>	<i>BECN1</i>	<i>HEY1</i>
<i>BMP1</i>	<i>BEST3</i>	<i>HIST2H2BE</i>
<i>BMX</i>	<i>BEST4</i>	<i>HLX</i>
<i>BMYC</i>	<i>BET1</i>	<i>HMOX1</i>
<i>BNIP2</i>	<i>BGN</i>	<i>HOXA1</i>
<i>BNIP1</i>	<i>BIRC5</i>	<i>HPS4</i>
<i>BPIL3</i>	<i>BLK</i>	<i>HPSE2</i>
<i>BRI3</i>	<i>BLVRB</i>	<i>HSD3B2</i>
<i>BRMS1L</i>	<i>BMPR2</i>	<i>HSPA1B</i>
<i>BRP16</i>	<i>BMS1</i>	<i>HUS1</i>
<i>BRPF1</i>	<i>BNC2</i>	<i>IFT140</i>
<i>BRSK2</i>	<i>BOLA3</i>	<i>IHPK3</i>
<i>BRUNOL4</i>	<i>BRAF</i>	<i>IKZF3</i>
<i>BRWD3</i>	<i>BRAP</i>	<i>IL17RD</i>
<i>BSCL2</i>	<i>BRD1</i>	<i>IL1A</i>
<i>BSPRY</i>	<i>BRF2</i>	<i>IL21R</i>
<i>BTBD10</i>	<i>BRI3</i>	<i>IL8RB</i>
<i>BTG2</i>	<i>BRMS1</i>	<i>INVS</i>
<i>BTN1A1</i>	<i>BRP44L</i>	<i>IRF2BP1</i>
<i>BUTR1</i>	<i>BRPF3</i>	<i>ITGA11</i>
<i>BZW2</i>	<i>BRS3</i>	<i>ITPR2</i>
<i>C1QA</i>	<i>BRSK1</i>	<i>ITSN2</i>
<i>C1QL1</i>	<i>BRSK2</i>	<i>JAG1</i>
<i>C1QL3</i>	<i>BSND</i>	<i>KCNA1</i>
<i>C1QTNF2</i>	<i>BTBD11</i>	<i>KCNE1L</i>
<i>C1QTNF3</i>	<i>BTBD9</i>	<i>KCNF1</i>
<i>C1QTNF5</i>	<i>BTG2</i>	<i>KCNIP4</i>
<i>C1QTNF7</i>	<i>BTG4</i>	<i>KCNJ11</i>
<i>C1QTNF9</i>	<i>BTLA</i>	<i>KCNK3</i>
<i>C330005M16RIK</i>	<i>C10ORF12</i>	<i>KCNN3</i>
<i>CAB39L</i>	<i>C10ORF125</i>	<i>KCNQ5</i>
<i>CABIN1</i>	<i>C10ORF26</i>	<i>KCTD13</i>
<i>CABLES2</i>	<i>C10ORF4</i>	<i>KCTD5</i>
<i>CABP5</i>	<i>C10ORF55</i>	<i>KDEL2</i>
<i>CACNB1</i>	<i>C10ORF63</i>	<i>KDEL3</i>
<i>CACNG1</i>	<i>C10ORF65</i>	<i>KIF5C</i>
<i>CADM2</i>	<i>C10ORF72</i>	<i>KLC1</i>
<i>CADPS</i>	<i>C10ORF81</i>	<i>KLC3</i>
<i>CALB1</i>	<i>C10ORF82</i>	<i>KLHDC8B</i>
<i>CALCA</i>	<i>C10ORF83</i>	<i>KLHL10</i>

<i>CALCOCO1</i>	<i>C10ORF92</i>	<i>KRR1</i>
<i>CALD1</i>	<i>C11ORF10</i>	<i>KRT34</i>
<i>CALM1</i>	<i>C11ORF17</i>	<i>LAMB2</i>
<i>CALML3</i>	<i>C11ORF30</i>	<i>LAMC3</i>
<i>CALY</i>	<i>C11ORF41</i>	<i>LCK</i>
<i>CAMK2B</i>	<i>C11ORF42</i>	<i>LGI1</i>
<i>CANT1</i>	<i>C11ORF61</i>	<i>LGI3</i>
<i>CAP2</i>	<i>C11ORF68</i>	<i>LHCGR</i>
<i>CAPG</i>	<i>C11ORF75</i>	<i>LHX8</i>
<i>CAR10</i>	<i>C12ORF32</i>	<i>LIMCH1</i>
<i>CAR14</i>	<i>C12ORF4</i>	<i>LIPE</i>
<i>CAR7</i>	<i>C12ORF52</i>	<i>LIPI</i>
<i>CARD10</i>	<i>C12ORF56</i>	<i>LMBR1L</i>
<i>CARS</i>	<i>C12ORF57</i>	<i>LPO</i>
<i>CASKIN2</i>	<i>C12ORF59</i>	<i>LRRC52</i>
<i>CASP1</i>	<i>C13ORF16</i>	<i>LRRN2</i>
<i>CASP9</i>	<i>C13ORF23</i>	<i>LYSMD2</i>
<i>CASS4</i>	<i>C13ORF3</i>	<i>MAF1</i>
<i>CBFB</i>	<i>C14ORF149</i>	<i>MAFB</i>
<i>CBL</i>	<i>C14ORF181</i>	<i>MAGI3</i>
<i>CBLC</i>	<i>C14ORF2</i>	<i>MAN1B1</i>
<i>CBX1</i>	<i>C14ORF28</i>	<i>MAP3K12</i>
<i>CBY1</i>	<i>C14ORF37</i>	<i>MAP3K14</i>
<i>CC2D1B</i>	<i>C14ORF39</i>	<i>MAP3K7IP3</i>
<i>CCBP2</i>	<i>C15ORF17</i>	<i>MAPKAPK2</i>
<i>CCDC100</i>	<i>C15ORF2</i>	<i>MARCH4</i>
<i>CCDC101</i>	<i>C15ORF48</i>	<i>MAT2A</i>
<i>CCDC11</i>	<i>C16ORF3</i>	<i>MBOAT1</i>
<i>CCDC113</i>	<i>C16ORF46</i>	<i>MED8</i>
<i>CCDC117</i>	<i>C16ORF57</i>	<i>MED9</i>
<i>CCDC120</i>	<i>C16ORF63</i>	<i>METTL9</i>
<i>CCDC122</i>	<i>C16ORF73</i>	<i>MFAP4</i>
<i>CCDC123</i>	<i>C16ORF84</i>	<i>MGAT5B</i>
<i>CCDC144B</i>	<i>C17ORF56</i>	<i>MICAL1</i>
<i>CCDC28A</i>	<i>C17ORF57</i>	<i>MKRN3</i>
<i>CCDC38</i>	<i>C17ORF58</i>	<i>MLXIP</i>
<i>CCDC46</i>	<i>C17ORF59</i>	<i>MMD</i>
<i>CCDC49</i>	<i>C18ORF22</i>	<i>MON1B</i>
<i>CCDC59</i>	<i>C18ORF25</i>	<i>MPDU1</i>
<i>CCDC64</i>	<i>C18ORF34</i>	<i>MPP1</i>
<i>CCDC71</i>	<i>C18ORF62</i>	<i>MREG</i>
<i>CCDC80</i>	<i>C19ORF10</i>	<i>MRPL18</i>
<i>CCDC85A</i>	<i>C19ORF22</i>	<i>MRPS2</i>
<i>CCDC86</i>	<i>C19ORF25</i>	<i>MTDH</i>
<i>CCDC88C</i>	<i>C19ORF36</i>	<i>MTFR1</i>
<i>CCDC90B</i>	<i>C19ORF40</i>	<i>MTPP</i>

<i>CCDC96</i>	<i>C19ORF50</i>	<i>MYBL2</i>
<i>CCL1</i>	<i>C19ORF56</i>	<i>MYH3</i>
<i>CCL9</i>	<i>C1GALT1</i>	<i>NAB2</i>
<i>CCM2</i>	<i>C1ORF102</i>	<i>NADK</i>
<i>CCND2</i>	<i>C1ORF110</i>	<i>NAGPA</i>
<i>CCNE1</i>	<i>C1ORF113</i>	<i>NAT14</i>
<i>CCNE2</i>	<i>C1ORF122</i>	<i>NCLN</i>
<i>CCNJL</i>	<i>C1ORF129</i>	<i>NCOA2</i>
<i>CCNY</i>	<i>C1ORF135</i>	<i>NCOR2</i>
<i>CCT2</i>	<i>C1ORF142</i>	<i>NDUFA4</i>
<i>CD200R1</i>	<i>C1ORF144</i>	<i>NEDD1</i>
<i>CD209A</i>	<i>C1ORF150</i>	<i>NEFL</i>
<i>CD2BP2</i>	<i>C1ORF163</i>	<i>NEURL</i>
<i>CD36</i>	<i>C1ORF164</i>	<i>NEUROD1</i>
<i>CD3D</i>	<i>C1ORF173</i>	<i>NEUROD2</i>
<i>CD40</i>	<i>C1ORF19</i>	<i>NEUROG3</i>
<i>CD48</i>	<i>C1ORF21</i>	<i>NFASC</i>
<i>CD79A</i>	<i>C1ORF26</i>	<i>NFATC3</i>
<i>CD81</i>	<i>C1ORF27</i>	<i>NLRX1</i>
<i>CD86</i>	<i>C1ORF54</i>	<i>NMI</i>
<i>CD8A</i>	<i>C1ORF69</i>	<i>NOL4</i>
<i>CD93</i>	<i>C1ORF92</i>	<i>NPAS4</i>
<i>CD97</i>	<i>C1QB</i>	<i>NPEPL1</i>
<i>CDC123</i>	<i>C1QTNF5</i>	<i>NPR2</i>
<i>CDC25A</i>	<i>C1QTNF7</i>	<i>NR2C2AP</i>
<i>CDC2L1</i>	<i>C20ORF108</i>	<i>NRBP1</i>
<i>CDC37</i>	<i>C20ORF114</i>	<i>NT5DC2</i>
<i>CDC37L1</i>	<i>C20ORF118</i>	<i>NT5E</i>
<i>CDC42EP2</i>	<i>C20ORF134</i>	<i>NUMA1</i>
<i>CDC42SE2</i>	<i>C20ORF186</i>	<i>NXPH2</i>
<i>CDCA5</i>	<i>C20ORF20</i>	<i>OMG</i>
<i>CDCA7</i>	<i>C20ORF200</i>	<i>OPRS1</i>
<i>CDCA8</i>	<i>C20ORF26</i>	<i>ORC3L</i>
<i>CDH12</i>	<i>C20ORF29</i>	<i>ORMDL3</i>
<i>CDH15</i>	<i>C20ORF43</i>	<i>OSGEP</i>
<i>CDH16</i>	<i>C20ORF46</i>	<i>OSGEPL1</i>
<i>CDH20</i>	<i>C20ORF96</i>	<i>OSGIN2</i>
<i>CDH26</i>	<i>C21ORF55</i>	<i>P4HA2</i>
<i>CDH7</i>	<i>C21ORF56</i>	<i>PACS1</i>
<i>CDK5RAP1</i>	<i>C21ORF62</i>	<i>PAWR</i>
<i>CDK5RAP2</i>	<i>C21ORF70</i>	<i>PDC</i>
<i>CDK8</i>	<i>C22ORF28</i>	<i>PDCD6</i>
<i>CDK9</i>	<i>C22ORF29</i>	<i>PDE10A</i>
<i>CDKL2</i>	<i>C22ORF32</i>	<i>PDE1B</i>
<i>CDS2</i>	<i>C2CD2</i>	<i>PDE4A</i>
<i>CEACAM10</i>	<i>C2ORF15</i>	<i>PDLIM3</i>

<i>CELSR3</i>	<i>C2ORF42</i>	<i>PDSS1</i>
<i>CENTG2</i>	<i>C2ORF60</i>	<i>PDZD4</i>
<i>CEP152</i>	<i>C2ORF61</i>	<i>PGAM2</i>
<i>CFHR1</i>	<i>C2ORF7</i>	<i>PGD</i>
<i>CFTR</i>	<i>C3ORF10</i>	<i>PGM1</i>
<i>CGA</i>	<i>C3ORF25</i>	<i>PGM2</i>
<i>CHCHD8</i>	<i>C3ORF37</i>	<i>PHOX2B</i>
<i>CHD7</i>	<i>C3ORF58</i>	<i>PIGM</i>
<i>CHD9</i>	<i>C4ORF15</i>	<i>PIP</i>
<i>CHEK1</i>	<i>C4ORF34</i>	<i>PIP5K1B</i>
<i>CHEK2</i>	<i>C5ORF13</i>	<i>PITPNM2</i>
<i>CHGA</i>	<i>C5ORF23</i>	<i>PLA2G2F</i>
<i>CHGB</i>	<i>C5ORF39</i>	<i>PLAG1</i>
<i>CHIA</i>	<i>C5ORF42</i>	<i>PLCD1</i>
<i>CHMP1A</i>	<i>C6ORF108</i>	<i>PLEKHA6</i>
<i>CHMP7</i>	<i>C6ORF120</i>	<i>PLXNB1</i>
<i>CHORDC1</i>	<i>C6ORF154</i>	<i>PMF1</i>
<i>CHRAC1</i>	<i>C6ORF201</i>	<i>PMPCB</i>
<i>CHRNA10</i>	<i>C6ORF203</i>	<i>PNO1</i>
<i>CHRNB2</i>	<i>C6ORF223</i>	<i>PNPLA2</i>
<i>CHRNB4</i>	<i>C6ORF47</i>	<i>PNPLA6</i>
<i>CHRNE</i>	<i>C6ORF57</i>	<i>POLQ</i>
<i>CHST1</i>	<i>C6ORF60</i>	<i>POMC</i>
<i>CHUK</i>	<i>C6ORF66</i>	<i>POU4F2</i>
<i>CIAO1</i>	<i>C7ORF20</i>	<i>PPAP2A</i>
<i>CIB1</i>	<i>C7ORF27</i>	<i>PPARGC1B</i>
<i>CIB2</i>	<i>C7ORF30</i>	<i>PPID</i>
<i>CIDEA</i>	<i>C7ORF33</i>	<i>PIIH</i>
<i>CIDEB</i>	<i>C7ORF41</i>	<i>PPM1E</i>
<i>CLCN7</i>	<i>C7ORF42</i>	<i>PPP2R1A</i>
<i>CLCNKB</i>	<i>C7ORF43</i>	<i>PPP5C</i>
<i>CLDN1</i>	<i>C7ORF49</i>	<i>PPT1</i>
<i>CLDN2</i>	<i>C7ORF52</i>	<i>PRICKLE1</i>
<i>CLDND1</i>	<i>C8A</i>	<i>PRKAG2</i>
<i>CLEC14A</i>	<i>C8ORF31</i>	<i>PRKCZ</i>
<i>CLEC1A</i>	<i>C8ORF32</i>	<i>PRKG1</i>
<i>CLEC1B</i>	<i>C8ORF44</i>	<i>PROZ</i>
<i>CLEC2E</i>	<i>C8ORF53</i>	<i>PRR16</i>
<i>CLINT1</i>	<i>C8ORF55</i>	<i>PRTG</i>
<i>CLN8</i>	<i>C8ORF58</i>	<i>PSD2</i>
<i>CLOCK</i>	<i>C8ORF76</i>	<i>PSKH1</i>
<i>CLRN1</i>	<i>C8ORF79</i>	<i>PSMD13</i>
<i>CLTB</i>	<i>C9ORF125</i>	<i>PTCD3</i>
<i>CLYBL</i>	<i>C9ORF128</i>	<i>PTH</i>
<i>CMC1</i>	<i>C9ORF150</i>	<i>PTPN13</i>
<i>CNFN</i>	<i>C9ORF18</i>	<i>PTPN18</i>

CNGA2	C9ORF19	PTPN2
CNGA4	C9ORF24	PYGO2
CNGB3	C9ORF32	R3HDM1
CNIH2	C9ORF47	RAB11FIP5
CNN1	C9ORF61	RAB15
CNOT6	C9ORF7	RAB32
CNP	C9ORF72	RAB34
CNTF	CA14	RAB4B
CNTN2	CA9	RAB7L1
CNTNAP2	CABLES2	RABEPK
CNTNAP4	CABP1	RABL4
COASY	CACNB4	RAVER2
COG2	CADPS	RBM15
COL10A1	CALB2	RBM6
COL13A1	CALCR	RBMS2
COL1A1	CALM1	RCN3
COL4A1	CALML6	RCOR2
COL4A4	CALR	RDH12
COL9A2	CALU	REEP3
COLEC10	CAMK2B	RELL1
COMMD4	CAMK2D	RFTN2
COMMD8	CAMK2N1	RFXDC1
COMMD9	CAMK4	RGMA
COMTD1	CAMKK1	RGS10
COPA	CAMSAP1L1	RGS7BP
COP52	CAND1	RHEBL1
COQ2	CANT1	RHOBTB1
CORIN	CAPN3	RHOD
CORO1B	CAPN6	RNF135
CORO1C	CARHSP1	RNF138
CORO7	CARS	RNF219
COTL1	CARS2	RNF25
COX11	CASKIN1	RNGTT
COX5B	CASP3	RPA2
COX6A2	CASQ1	RPL37A
COX6B2	CASZ1	RPP25
COX6C	CAT	RPP40
CPEB1	CATSPER1	RPS6KA5
CPLX3	CBARA1	RPS6KB2
CPNE7	CBFA2T3	RRAD
CPNE8	CBFB	RRAS
CPSF1	CBR3	RSF1
CPSF3	CBX6	RSPO2
CPSF4L	CBX7	RTN4R
CPSF6	CBY1	RUNX1T1
CPT1B	CC2D2B	S100A3

<i>CPXCR1</i>	<i>CCDC120</i>	<i>S100A5</i>
<i>CPXM2</i>	<i>CCDC126</i>	<i>SAP30BP</i>
<i>CRABP1</i>	<i>CCDC134</i>	<i>SATB2</i>
<i>CRADD</i>	<i>CCDC135</i>	<i>SBF1</i>
<i>CRELD2</i>	<i>CCDC19</i>	<i>SCEL</i>
<i>CRISPLD2</i>	<i>CCDC28A</i>	<i>SCN1A</i>
<i>CRLF2</i>	<i>CCDC28B</i>	<i>SCNN1G</i>
<i>CRTAC1</i>	<i>CCDC3</i>	<i>SDCBP2</i>
<i>CRTC2</i>	<i>CCDC46</i>	<i>SEC22C</i>
<i>CRYGA</i>	<i>CCDC47</i>	<i>SEC23B</i>
<i>CRYGB</i>	<i>CCDC52</i>	<i>SEMA3A</i>
<i>CRYGF</i>	<i>CCDC56</i>	<i>SEMA6D</i>
<i>CRYGN</i>	<i>CCDC57</i>	<i>SERP1</i>
<i>CRYL1</i>	<i>CCDC6</i>	<i>SERPINB8</i>
<i>CSDA</i>	<i>CCDC65</i>	<i>SERPINF2</i>
<i>CSDC2</i>	<i>CCDC81</i>	<i>SESN1</i>
<i>CSE1L</i>	<i>CCDC83</i>	<i>SETD7</i>
<i>CSF1R</i>	<i>CCDC88C</i>	<i>SFRS11</i>
<i>CSF2RA</i>	<i>CCDC96</i>	<i>SFXN2</i>
<i>CSF2RB</i>	<i>CCL15</i>	<i>SGCG</i>
<i>CSF3R</i>	<i>CCL19</i>	<i>SH2D2A</i>
<i>CSMD1</i>	<i>CCL23</i>	<i>SH3BP5</i>
<i>CSN1S2A</i>	<i>CCL25</i>	<i>SIN3A</i>
<i>CSNK1G1</i>	<i>CCM2</i>	<i>SKIV2L2</i>
<i>CSNK1G2</i>	<i>CCNA1</i>	<i>SLC1A5</i>
<i>CSPG4</i>	<i>CCND2</i>	<i>SLC22A18</i>
<i>CST6</i>	<i>CCNE1</i>	<i>SLC25A10</i>
<i>CTDSP2</i>	<i>CCNE2</i>	<i>SLC25A5</i>
<i>CTHRC1</i>	<i>CCNG2</i>	<i>SLC29A1</i>
<i>CTPS</i>	<i>CCNJL</i>	<i>SLC2A1</i>
<i>CTR9</i>	<i>CCNK</i>	<i>SLC35A5</i>
<i>CTSW</i>	<i>CCR10</i>	<i>SLC35B3</i>
<i>CTTNBP2NL</i>	<i>CCR4</i>	<i>SLC36A1</i>
<i>CUEDC1</i>	<i>CCT7</i>	<i>SLC37A1</i>
<i>CUL5</i>	<i>CD177</i>	<i>SLC37A3</i>
<i>CXADR</i>	<i>CD180</i>	<i>SLC38A7</i>
<i>CXCL3</i>	<i>CD1A</i>	<i>SLC39A5</i>
<i>CXCL9</i>	<i>CD1D</i>	<i>SLC41A2</i>
<i>CXCR3</i>	<i>CD2</i>	<i>SLC41A3</i>
<i>CXCR5</i>	<i>CD207</i>	<i>SLC43A2</i>
<i>CXCR7</i>	<i>CD300C</i>	<i>SLC46A3</i>
<i>CXXC4</i>	<i>CD300LG</i>	<i>SLC5A11</i>
<i>CYC1</i>	<i>CD33</i>	<i>SLC6A4</i>
<i>CYFIP2</i>	<i>CD3E</i>	<i>SLC6A8</i>
<i>CYP24A1</i>	<i>CD4</i>	<i>SLC7A10</i>
<i>CYP2C38</i>	<i>CD40</i>	<i>SMC6</i>

CYP2C54	CD48	SMPD1
CYP2D22	CD55	SNAI1
CYP39A1	CD6	SNAPIN
CYP3A13	CD70	SNCG
CYPT2	CD72	SNF1LK
CYTL1	CD80	SNRK
D0H4S114	CD83	SNX2
D16H22S680E	CD8A	SNX25
D17H6S56E-3	CD93	SNX33
D18ERTD653E	CD97	SOCS1
D19ERTD386E	CDC14A	SOCS3
D2ERTD750E	CDC14B	SOS1
D2HGDH	CDC37	SPAG7
D2WSU81E	CDC37L1	SPATA16
D330028D13RIK	CDC42	SPEN
D330038O06RIK	CDH13	SPON1
D4BWG0951E	CDK5RAP3	SRFBP1
D630042P16RIK	CDK8	SRP72
DAAM1	CEACAM4	SRPX2
DAAM2	CEACAM6	SSTR1
DACH1	CELSR3	ST3GAL3
DAF2	CENPO	STAG3
DAK	CENPT	STC1
DAP3	CENTA2	STK17B
DAPK2	CEP76	STK19
DAPP1	CH25H	STOX2
DAZL	CHD9	SUOX
DBC1	CHEK1	SURF4
DBP	CHGA	SYNGR3
DCPS	CHI3L1	SYT1
DCTD	CHIA	SYVN1
DCXR	CHMP1A	TACC2
DDB2	CHMP6	TASP1
DDI1	CHMP7	TBC1D12
DDIT4L	CHORDC1	TBC1D19
DDX1	CHPT1	TCF25
DDX21	CHRNA4	TCP1
DDX4	CHRNA5	TDRD7
DDX54	CHST2	TGIF2
DEAF1	CHST3	THBD
DEDD	CHST4	THUMPD1
DEF8	CHST9	TJAP1
DEFB25	CIAPIN1	TK2
DEFB30	CIB2	TKTL1
DEFB50	CIDEB	TM9SF3
DENND2C	CIDEC	TMEFF1

DEPDC5	CIITA	TMEM121
DERL1	CINP	TMEM128
DET1	CISH	TMEM177
DEXI	CITED1	TMEM55A
DGCR6	CLDN1	TMEM80
DGCR8	CLDN12	TNFAIP1
DGKQ	CLDN18	TNFSF10
DGKZ	CLDN2	TNNC2
DGUOK	CLDN3	TNRC4
DHRS13	CLDN9	TOMM34
DHRS9	CLEC12B	TOR1AIP1
DHX35	CLEC4D	TRIM6
DIABLO	CLEC4F	TRO
DIP2B	CLIP4	TSHB
DISP2	CLK4	TSN
DIXDC1	CLMN	TSP50
DLL1	CLN5	TSPYL2
DLX3	CLN6	TSPYL4
DMN	CLN8	TUBA1A
DMRT2	CLOCK	TUT1
DMRTA1	CLRN1	TXNDC12
DMWD	CLSTN1	TXNDC13
DMXL1	CMTM1	TXNDC4
DNAJA1	CMTM6	UACA
DNAJA2	CMTM7	UBAC1
DNAJA3	CNN1	UBN1
DNAJC15	CNOT6	UGP2
DNAJC7	CNOT7	UHRF1BP1
DNAJC9	CNP	UMOD
DNASE1L3	CNTD1	UNC119B
DNM1L	CNTFR	UNC93B1
DNMBP	CNTN2	UNK
DNTTIP2	CNTN4	UQCRC1
DOCK6	CNTNAP4	USP14
DOCK7	COCH	USP32
DOCK8	COG2	USP48
DOHH	COG3	UTP15
DOS	COIL	VAMP8
DPAGT1	COL11A1	VARS
DPH5	COL13A1	VAT1
DPP3	COL24A1	VIT
DPP4	COL2A1	VPS24
DPP7	COL5A1	VPS33B
DPT	COL6A3	VPS39
DPY19L3	COL9A3	VTI1B
DPY30	COMMD9	WARS2

DPYS	COPS2	WBP11
DR1	COPS4	WDR59
DRD1A	CORO7	WDR91
DRD2	CPA3	WDR92
DSEL	CPE	WDTC1
DTL	CPNE8	WNT8A
DTNA	CPO	WRNIP1
DTX2	CPSF3L	WSCD2
DTYMK	CPSF6	XYLB
DUOXA2	CRAMP1L	YWHAB
DUSP10	CRB1	ZBTB7B
DUSP16	CRB3	ZC3H3
DUSP19	CRHBP	ZCCHC9
DUSP2	CRIP2	ZDHHC16
DUSP4	CRISP1	ZFHX4
DUSP8	CRK	ZFP36L1
DYNC2H1	CRLS1	ZFP91
DYNLL2	CRMP1	ZNHIT3
DYNLT3	CROCC	ZNRF1
DYRK1B	CRTAC1	ZYX
E030010A14RIK	CRYBA1	
E130203B14RIK	CRYGN	
E130306D19RIK	CRYM	
E2F5	CSDA	
EAF1	CSE1L	
EAF2	CSMD1	
EAPA2	CSMD2	
EBAG9	CSNK2A2	
EBI2	CSPG5	
EBPL	CST11	
ECD	CST6	
ECHDC2	CST9L	
ECHS1	CSTL1	
EDARADD	CTAG2	
EDN2	CTDSP2	
EDNRA	CTHRC1	
EDNRB	CTNNA3	
EED	CTNNBIP1	
EEF1G	CTRC	
EEF2	CTSA	
EEF2K	CTSC	
EFCAB1	CTSF	
EFCAB2	CTSL1	
EFCAB5	CTSO	
EFCBP2	CTTNBP2NL	
EFNA3	CUEDC1	

<i>EFR3A</i>	<i>CUL2</i>
<i>EG214403</i>	<i>CUL3</i>
<i>EHD1</i>	<i>CX3CL1</i>
<i>EIF2AK4</i>	<i>CX3CR1</i>
<i>EIF2B2</i>	<i>CXCL9</i>
<i>EIF2B5</i>	<i>CXCR7</i>
<i>EIF2C2</i>	<i>CXORF23</i>
<i>EIF2S1</i>	<i>CXORF58</i>
<i>EIF3A</i>	<i>CYB561</i>
<i>EIF3B</i>	<i>CYB5D1</i>
<i>EIF3G</i>	<i>CYBA</i>
<i>EIF4E3</i>	<i>CYBRD1</i>
<i>EIF4G1</i>	<i>CYFIP1</i>
<i>EIF4G2</i>	<i>CYHR1</i>
<i>EIF4H</i>	<i>CYP24A1</i>
<i>ELA1</i>	<i>CYP2C9</i>
<i>ELA2</i>	<i>CYP2E1</i>
<i>ELAVL1</i>	<i>CYP2S1</i>
<i>ELAVL2</i>	<i>CYR1</i>
<i>ELAVL4</i>	<i>D2HGDH</i>
<i>ELF4</i>	<i>D4S234E</i>
<i>ELK3</i>	<i>DAAM1</i>
<i>ELL</i>	<i>DACT1</i>
<i>ELL2</i>	<i>DAD1</i>
<i>ELMO2</i>	<i>DAPK1</i>
<i>ELOVL4</i>	<i>DAPK3</i>
<i>ELOVL7</i>	<i>DARC</i>
<i>ELP4</i>	<i>DAZAP2</i>
<i>ELTD1</i>	<i>DBC1</i>
<i>EMB</i>	<i>DBF4B</i>
<i>EME1</i>	<i>DBNL</i>
<i>EMILIN3</i>	<i>DCBLD2</i>
<i>EML5</i>	<i>DCUN1D5</i>
<i>EMX1</i>	<i>DDEF1</i>
<i>ENAH</i>	<i>DDN</i>
<i>ENO2</i>	<i>DDX10</i>
<i>ENPEP</i>	<i>DDX39</i>
<i>ENPP1</i>	<i>DDX4</i>
<i>ENSA</i>	<i>DDX51</i>
<i>ENTPD7</i>	<i>DDX52</i>
<i>EPC2</i>	<i>DDX53</i>
<i>EPDR1</i>	<i>DDX56</i>
<i>EPHA1</i>	<i>DDX58</i>
<i>EPHA7</i>	<i>DEDD</i>
<i>EPHA8</i>	<i>DEF8</i>
<i>EPN2</i>	<i>DEFA6</i>

<i>EPN3</i>	<i>DEFB1</i>
<i>EPO</i>	<i>DEFB127</i>
<i>EPS15</i>	<i>DENND4A</i>
<i>EPS8L1</i>	<i>DEPDC1B</i>
<i>EPYC</i>	<i>DEPDC4</i>
<i>ERC2</i>	<i>DEPDC5</i>
<i>ERCC4</i>	<i>DERL3</i>
<i>ERCC6</i>	<i>DET1</i>
<i>ERCC8</i>	<i>DFFB</i>
<i>ERG</i>	<i>DGKE</i>
<i>ERGIC3</i>	<i>DGKH</i>
<i>ERLIN1</i>	<i>DGKQ</i>
<i>ERN1</i>	<i>DGKZ</i>
<i>ERP29</i>	<i>DHCR24</i>
<i>ERRFI1</i>	<i>DHRS13</i>
<i>ESCO1</i>	<i>DHRS3</i>
<i>ESPN</i>	<i>DHX30</i>
<i>ESRRA</i>	<i>DHX58</i>
<i>ETAA1</i>	<i>DICER1</i>
<i>ETFB</i>	<i>DIP2A</i>
<i>ETHE1</i>	<i>DIRAS2</i>
<i>ETNK2</i>	<i>DISC1</i>
<i>ETS1</i>	<i>DIXDC1</i>
<i>EVI5L</i>	<i>DKK2</i>
<i>EVPL</i>	<i>DLG1</i>
<i>EXO1</i>	<i>DLGAP2</i>
<i>EXOC6</i>	<i>DLK1</i>
<i>EXOSC2</i>	<i>DLST</i>
<i>EXT2</i>	<i>DMPK</i>
<i>EXTL3</i>	<i>DMRT2</i>
<i>F11R</i>	<i>DMRTA1</i>
<i>F630043A04RIK</i>	<i>DMXL1</i>
<i>F730047E07RIK</i>	<i>DNA2</i>
<i>FA2H</i>	<i>DNAI2</i>
<i>FAH</i>	<i>DNAJA1</i>
<i>FAIM</i>	<i>DNAJB11</i>
<i>FAM170A</i>	<i>DNAJB12</i>
<i>FANCI</i>	<i>DNAJC16</i>
<i>FANCM</i>	<i>DNAJC18</i>
<i>FAP</i>	<i>DNAJC3</i>
<i>FASTKD3</i>	<i>DNAJC4</i>
<i>FAT4</i>	<i>DNAJC5G</i>
<i>FBN1</i>	<i>DNAJC7</i>
<i>FBP2</i>	<i>DNASE1L2</i>
<i>FBXL12</i>	<i>DNASE2</i>
<i>FBXL18</i>	<i>DNHD1</i>

<i>FBXL2</i>	<i>DNMT1</i>
<i>FBXO11</i>	<i>DOCK2</i>
<i>FBXO2</i>	<i>DOCK5</i>
<i>FBXO25</i>	<i>DOCK6</i>
<i>FBXO30</i>	<i>DOCK7</i>
<i>FBXO34</i>	<i>DOCK8</i>
<i>FBXO6</i>	<i>DOK2</i>
<i>FBXW4</i>	<i>DOK4</i>
<i>FBXW5</i>	<i>DOK6</i>
<i>FBXW8</i>	<i>DOLPP1</i>
<i>FCER1A</i>	<i>DOT1L</i>
<i>FCER2A</i>	<i>DPF1</i>
<i>FCGR2B</i>	<i>DPH3</i>
<i>FCNA</i>	<i>DPH4</i>
<i>FDFT1</i>	<i>DPM2</i>
<i>FECH</i>	<i>DPM3</i>
<i>FERMT1</i>	<i>DPP3</i>
<i>FGD4</i>	<i>DPPA4</i>
<i>FGF12</i>	<i>DR1</i>
<i>FGF16</i>	<i>DRD5</i>
<i>FGF9</i>	<i>DSCR10</i>
<i>FGGY</i>	<i>DSCR3</i>
<i>FGL2</i>	<i>DSCR4</i>
<i>FHDC1</i>	<i>DSG2</i>
<i>FIGF</i>	<i>DSG3</i>
<i>FILIP1</i>	<i>DTWD1</i>
<i>FKBP4</i>	<i>DUS1L</i>
<i>FLCN</i>	<i>DUS2L</i>
<i>FLNA</i>	<i>DUSP10</i>
<i>FLRT3</i>	<i>DUSP13</i>
<i>FLT1</i>	<i>DUSP2</i>
<i>FLVCR2</i>	<i>DUSP28</i>
<i>FMO1</i>	<i>DUSP8</i>
<i>FMO4</i>	<i>DUT</i>
<i>FNBP4</i>	<i>DVL2</i>
<i>FNDC4</i>	<i>DYDC1</i>
<i>FNDC7</i>	<i>DYX1C1</i>
<i>FNTA</i>	<i>DZIP1L</i>
<i>FOLR2</i>	<i>E2F1</i>
<i>FOLR4</i>	<i>EAPP</i>
<i>FOXA2</i>	<i>EBF2</i>
<i>FOXD1</i>	<i>EBI3</i>
<i>FOXD2</i>	<i>ECE2</i>
<i>FOXI2</i>	<i>EDAR</i>
<i>FOXJ2</i>	<i>EDARADD</i>
<i>FOXJ3</i>	<i>EDG4</i>

<i>FOXM1</i>	<i>EDNRA</i>
<i>FOXN1</i>	<i>EED</i>
<i>FOXRED1</i>	<i>EEF1A1</i>
<i>FPGT</i>	<i>EEPD1</i>
<i>FREM1</i>	<i>EFCAB4A</i>
<i>FREM2</i>	<i>EFCAB4B</i>
<i>FRMD8</i>	<i>EFCAB5</i>
<i>FRMPD1</i>	<i>EFHD1</i>
<i>FRRS1</i>	<i>EFTUD1</i>
<i>FSCN1</i>	<i>EHBP1L1</i>
<i>FSD1</i>	<i>EHD1</i>
<i>FTL1</i>	<i>EHD4</i>
<i>FUK</i>	<i>EIF2AK1</i>
<i>FURIN</i>	<i>EIF2B2</i>
<i>FUT7</i>	<i>EIF2B5</i>
<i>FUT8</i>	<i>EIF2C4</i>
<i>FUT9</i>	<i>EIF3A</i>
<i>FXC1</i>	<i>EIF3B</i>
<i>FXYD3</i>	<i>EIF3G</i>
<i>FXYD6</i>	<i>ELAVL2</i>
<i>FZD3</i>	<i>ELMOD1</i>
<i>From</i>	<i>ELMOD2</i>
<i>G0S2</i>	<i>ELOVL1</i>
<i>G3BP2</i>	<i>ELOVL2</i>
<i>GABPA</i>	<i>EMCN</i>
<i>GABPB2</i>	<i>EME1</i>
<i>GABRA1</i>	<i>EMG1</i>
<i>GABRA3</i>	<i>EMID1</i>
<i>GABRB1</i>	<i>EML5</i>
<i>GABRD</i>	<i>EMP1</i>
<i>GABRG2</i>	<i>EMR1</i>
<i>GABRG3</i>	<i>EMX1</i>
<i>GADD45A</i>	<i>EN2</i>
<i>GAK</i>	<i>ENAM</i>
<i>GALNT1</i>	<i>ENO1</i>
<i>GALNT2</i>	<i>ENOPH1</i>
<i>GALNT3</i>	<i>ENPP4</i>
<i>GALNT7</i>	<i>ENPP5</i>
<i>GALNTL1</i>	<i>ENTPD1</i>
<i>GALR1</i>	<i>ENTPD6</i>
<i>GALR3</i>	<i>EPAS1</i>
<i>GAMT</i>	<i>EPB41L4B</i>
<i>GARS</i>	<i>EPC1</i>
<i>GAS2</i>	<i>EPC2</i>
<i>GBL</i>	<i>EPHA1</i>
<i>GCAT</i>	<i>EPHA7</i>

<i>GCDH</i>	<i>EPHX2</i>
<i>GCK</i>	<i>EPS15L1</i>
<i>GCLC</i>	<i>ERAP1</i>
<i>GDF6</i>	<i>ERBB4</i>
<i>GDF9</i>	<i>ERCC2</i>
<i>GDPD2</i>	<i>ERCC5</i>
<i>GFM2</i>	<i>ERLIN1</i>
<i>GGA3</i>	<i>ERMP1</i>
<i>GGCT</i>	<i>ERRFI1</i>
<i>GGT1</i>	<i>ESCO1</i>
<i>GIGYF2</i>	<i>ESF1</i>
<i>GIMAP7</i>	<i>ESRRA</i>
<i>GIN1</i>	<i>ETF1</i>
<i>GIYD2</i>	<i>ETFB</i>
<i>GJB3</i>	<i>ETFDH</i>
<i>GJB5</i>	<i>ETS1</i>
<i>GJC1</i>	<i>ETV5</i>
<i>GJD4</i>	<i>EVI5L</i>
<i>GLB1L2</i>	<i>EVPL</i>
<i>GLCE</i>	<i>EXDL2</i>
<i>GLDC</i>	<i>EXOC3L2</i>
<i>GLIPR1L2</i>	<i>EXOC4</i>
<i>GLTSCR1</i>	<i>EXOSC1</i>
<i>GM128</i>	<i>EXOSC10</i>
<i>GM1568</i>	<i>F9</i>
<i>GM1673</i>	<i>FA2H</i>
<i>GM1679</i>	<i>FABP3</i>
<i>GM266</i>	<i>FAH</i>
<i>GM561</i>	<i>FAM101A</i>
<i>GM806</i>	<i>FAM109A</i>
<i>GM813</i>	<i>FAM109B</i>
<i>GM962</i>	<i>FAM110A</i>
<i>GMEB1</i>	<i>FAM123B</i>
<i>GMEB2</i>	<i>FAM134C</i>
<i>GMFB</i>	<i>FAM13A1</i>
<i>GMNN</i>	<i>FAM19A2</i>
<i>GMPPB</i>	<i>FAM20A</i>
<i>GMPR2</i>	<i>FAM20B</i>
<i>GNA12</i>	<i>FAM24A</i>
<i>GNAI2</i>	<i>FAM26E</i>
<i>GNAI3</i>	<i>FAM49A</i>
<i>GNAO1</i>	<i>FAM57A</i>
<i>GNAT1</i>	<i>FAM58A</i>
<i>GNAT2</i>	<i>FAM63A</i>
<i>GNAZ</i>	<i>FAM71F1</i>
<i>GNE</i>	<i>FAM73B</i>

<i>GNG4</i>	<i>FAM76A</i>
<i>GNPAT</i>	<i>FAM81B</i>
<i>GNRH1</i>	<i>FAM82C</i>
<i>GNS</i>	<i>FAM83H</i>
<i>GOLGA1</i>	<i>FAP</i>
<i>GOLGA4</i>	<i>FARSA</i>
<i>GOSR2</i>	<i>FAS</i>
<i>GP2</i>	<i>FBLIM1</i>
<i>GPATCH3</i>	<i>FBXL13</i>
<i>GPC5</i>	<i>FBXL15</i>
<i>GPD2</i>	<i>FBXL4</i>
<i>GPER</i>	<i>FBXL8</i>
<i>GPI1</i>	<i>FBXO10</i>
<i>GPM6A</i>	<i>FBXO16</i>
<i>GPR126</i>	<i>FBXO27</i>
<i>GPR137B</i>	<i>FBXO39</i>
<i>GPR146</i>	<i>FBXO41</i>
<i>GPR156</i>	<i>FBXO42</i>
<i>GPR162</i>	<i>FBXO7</i>
<i>GPR174</i>	<i>FBXW5</i>
<i>GPR26</i>	<i>FCER2</i>
<i>GPR4</i>	<i>FCN1</i>
<i>GPR44</i>	<i>FCN3</i>
<i>GPR45</i>	<i>FCRL1</i>
<i>GPR56</i>	<i>FCRL2</i>
<i>GPR64</i>	<i>FDFT1</i>
<i>GPRC5A</i>	<i>FECH</i>
<i>GPSM3</i>	<i>FES</i>
<i>GPT2</i>	<i>FETUB</i>
<i>GPX7</i>	<i>FEV</i>
<i>GRB7</i>	<i>FFAR2</i>
<i>GRCC10</i>	<i>FGF17</i>
<i>GREB1</i>	<i>FGF2</i>
<i>GREM1</i>	<i>FGFR2</i>
<i>GRHPR</i>	<i>FGFR3</i>
<i>GRID2IP</i>	<i>FGGY</i>
<i>GRIT</i>	<i>FGL1</i>
<i>GRK5</i>	<i>FHL2</i>
<i>GRM3</i>	<i>FKBP15</i>
<i>GSDMD</i>	<i>FKBP1B</i>
<i>GSTA1</i>	<i>FLRT2</i>
<i>GSTA2</i>	<i>FLVCR2</i>
<i>GSTM5</i>	<i>FMO1</i>
<i>GSTO1</i>	<i>FMO5</i>
<i>GTF2A1</i>	<i>FMOD</i>
<i>GTF2E1</i>	<i>FMR1NB</i>

<i>GTF2E2</i>	<i>FNBP1L</i>
<i>GTF2H3</i>	<i>FNDC3A</i>
<i>GTF2H4</i>	<i>FNDC4</i>
<i>GTF3C1</i>	<i>FNTA</i>
<i>GYPK</i>	<i>FOXC1</i>
<i>GYS1</i>	<i>FOXD1</i>
<i>GZF1</i>	<i>FOXJ2</i>
<i>H2-EB1</i>	<i>FOXK1</i>
<i>H2-M3</i>	<i>FOXO1</i>
<i>H2-Q7</i>	<i>FRG2C</i>
<i>H2-T22</i>	<i>FRMD4B</i>
<i>H2AFY</i>	<i>FRMD6</i>
<i>H3F3B</i>	<i>FSCN1</i>
<i>HAGH</i>	<i>FSHR</i>
<i>HAS2</i>	<i>FSTL3</i>
<i>HAVCR2</i>	<i>FTL</i>
<i>HBA-A1</i>	<i>FUK</i>
<i>HBQ1</i>	<i>FUNDC1</i>
<i>HCRT</i>	<i>FURIN</i>
<i>HDAC10</i>	<i>FUS</i>
<i>HDAC6</i>	<i>FUT8</i>
<i>HDAC8</i>	<i>FXC1</i>
<i>HDDC2</i>	<i>From</i>
<i>HDGF</i>	<i>G6PC</i>
<i>HDGFL1</i>	<i>G6PC3</i>
<i>HDHD1A</i>	<i>G6PD</i>
<i>HDLBP</i>	<i>GABBR2</i>
<i>HEBP2</i>	<i>GABPB2</i>
<i>HELZ</i>	<i>GABRA3</i>
<i>HERPUD2</i>	<i>GABRA6</i>
<i>HES1</i>	<i>GABRG3</i>
<i>HEXB</i>	<i>GABRQ</i>
<i>HEY1</i>	<i>GABRR2</i>
<i>HGFAC</i>	<i>GADD45A</i>
<i>HHAT</i>	<i>GADD45G</i>
<i>HHIP</i>	<i>GALM</i>
<i>HIGD1C</i>	<i>GALNAC4S-6ST</i>
<i>HIP2</i>	<i>GALNT1</i>
<i>HIPK3</i>	<i>GALNT12</i>
<i>HIRA</i>	<i>GALNT3</i>
<i>HIST2H2BE</i>	<i>GALNT7</i>
<i>HLCS</i>	<i>GART</i>
<i>HLX</i>	<i>GAS2L1</i>
<i>HMG20A</i>	<i>GAS8</i>
<i>HMG20B</i>	<i>GATA2</i>
<i>HMOX1</i>	<i>GATA5</i>

<i>HNRNPUL2</i>	<i>GATA6</i>
<i>HOXA1</i>	<i>GBA3</i>
<i>HOXC8</i>	<i>GBL</i>
<i>HOXD12</i>	<i>GCA</i>
<i>HOXD13</i>	<i>GCET2</i>
<i>HPS4</i>	<i>GCG</i>
<i>HPSE</i>	<i>GCLM</i>
<i>HPSE2</i>	<i>GCNT2</i>
<i>HRASLS</i>	<i>GDE1</i>
<i>HRASLS5</i>	<i>GDF11</i>
<i>HS2ST1</i>	<i>GDI2</i>
<i>HS3ST1</i>	<i>GFER</i>
<i>HSD11B1</i>	<i>GFI1</i>
<i>HSD17B12</i>	<i>GGT5</i>
<i>HSD17B7</i>	<i>GHDC</i>
<i>HSD3B1</i>	<i>GIGYF1</i>
<i>HSD3B2</i>	<i>GIN1</i>
<i>HSD3B5</i>	<i>GIN54</i>
<i>HSD3B6</i>	<i>GJA5</i>
<i>HSD3B7</i>	<i>GJB3</i>
<i>HSDL1</i>	<i>GJB5</i>
<i>HSDL2</i>	<i>GK</i>
<i>HSPA1B</i>	<i>GKN2</i>
<i>HSPA4</i>	<i>GLCCI1</i>
<i>HSPA5</i>	<i>GLDC</i>
<i>HTRA1</i>	<i>GLG1</i>
<i>HUS1</i>	<i>GLI4</i>
<i>HVCN1</i>	<i>GLIPR1L1</i>
<i>HYAL2</i>	<i>GLIS2</i>
<i>HYAL5</i>	<i>GLP1R</i>
<i>HYOU1</i>	<i>GLRX</i>
<i>IBTK</i>	<i>GLRX5</i>
<i>ICMT</i>	<i>GLT8D3</i>
<i>IDH1</i>	<i>GLUD2</i>
<i>IDI1</i>	<i>GLULD1</i>
<i>IFI47</i>	<i>GLYCTK</i>
<i>IFITM6</i>	<i>GMFB</i>
<i>IFLTD1</i>	<i>GMIP</i>
<i>IFNAR2</i>	<i>GML</i>
<i>IFNG</i>	<i>GNAI2</i>
<i>IFNGR1</i>	<i>GNB4</i>
<i>IFNK</i>	<i>GNE</i>
<i>IFRG15</i>	<i>GNG2</i>
<i>IFT140</i>	<i>GNG7</i>
<i>IGF2R</i>	<i>GNPDA1</i>
<i>IGFALS</i>	<i>GOLGA1</i>

<i>IGFBP4</i>	<i>GOLGA8A</i>
<i>IHPK3</i>	<i>GOLPH3L</i>
<i>IKBKE</i>	<i>GOLT1A</i>
<i>IKZF3</i>	<i>GP9</i>
<i>IKZF5</i>	<i>GPATCH3</i>
<i>IL12RB1</i>	<i>GPBAR1</i>
<i>IL17RA</i>	<i>GPC6</i>
<i>IL17RD</i>	<i>GPD1</i>
<i>IL19</i>	<i>GPKOW</i>
<i>IL1A</i>	<i>GPM6A</i>
<i>IL1RAP</i>	<i>GPR103</i>
<i>IL21</i>	<i>GPR108</i>
<i>IL21R</i>	<i>GPR125</i>
<i>IL23R</i>	<i>GPR132</i>
<i>IL25</i>	<i>GPR137</i>
<i>IL28RA</i>	<i>GPR137B</i>
<i>IL31RA</i>	<i>GPR171</i>
<i>IL6RA</i>	<i>GPR180</i>
<i>IL8RB</i>	<i>GPR19</i>
<i>ILF3</i>	<i>GPR20</i>
<i>ING1</i>	<i>GPR26</i>
<i>ING3</i>	<i>GPR61</i>
<i>ING5</i>	<i>GPR63</i>
<i>INHBE</i>	<i>GPR64</i>
<i>INPP5A</i>	<i>GPR92</i>
<i>INPP5D</i>	<i>GPR98</i>
<i>INPP5E</i>	<i>GPS2</i>
<i>INVS</i>	<i>GPSM3</i>
<i>IQCE</i>	<i>GPT2</i>
<i>IQCG</i>	<i>GPX7</i>
<i>IRF2BP1</i>	<i>GRAMD1C</i>
<i>IRS3</i>	<i>GRB7</i>
<i>IRS4</i>	<i>GREM2</i>
<i>ISG20</i>	<i>GRHL1</i>
<i>ISG20L2</i>	<i>GRIA3</i>
<i>ISLR2</i>	<i>GRIK5</i>
<i>ITCH</i>	<i>GRIP1</i>
<i>ITFG1</i>	<i>GRM3</i>
<i>ITGA11</i>	<i>GRM5</i>
<i>ITGA2B</i>	<i>GRM8</i>
<i>ITGA8</i>	<i>GRWD1</i>
<i>ITGAX</i>	<i>GSK3B</i>
<i>ITGB2</i>	<i>GSTK1</i>
<i>ITGBL1</i>	<i>GSTO1</i>
<i>ITK</i>	<i>GTF2B</i>
<i>ITLN1</i>	<i>GTF2H5</i>

<i>ITPKC</i>	<i>GTF3A</i>
<i>ITPR2</i>	<i>GTF3C1</i>
<i>ITSN1</i>	<i>GTF3C3</i>
<i>ITSN2</i>	<i>GTF3C4</i>
<i>JAG1</i>	<i>GTPBP2</i>
<i>JDP2</i>	<i>GTSF1L</i>
<i>JMJD2A</i>	<i>GUCY1B3</i>
<i>JOSD1</i>	<i>GUCY2C</i>
<i>JPH3</i>	<i>GUF1</i>
<i>JRK</i>	<i>GYLTL1B</i>
<i>JUB</i>	<i>GYPB</i>
<i>JUP</i>	<i>GZF1</i>
<i>KCNA1</i>	<i>GZMA</i>
<i>KCNAB3</i>	<i>GZMB</i>
<i>KCNE1L</i>	<i>GZMM</i>
<i>KCNF1</i>	<i>H2AFY2</i>
<i>KCNG4</i>	<i>H3F3B</i>
<i>KCNIP4</i>	<i>H6PD</i>
<i>KCNJ11</i>	<i>HACE1</i>
<i>KCNJ8</i>	<i>HACL1</i>
<i>KCNK3</i>	<i>HADH</i>
<i>KCNMB2</i>	<i>HAO1</i>
<i>KCNN3</i>	<i>HAO2</i>
<i>KCNN4</i>	<i>HAPLN2</i>
<i>KCNQ5</i>	<i>HARS</i>
<i>KCNS2</i>	<i>HBG2</i>
<i>KCNT1</i>	<i>HBS1L</i>
<i>KCNV1</i>	<i>HCCA2</i>
<i>KCTD13</i>	<i>HCRT</i>
<i>KCTD15</i>	<i>HCST</i>
<i>KCTD3</i>	<i>HDAC1</i>
<i>KCTD5</i>	<i>HDAC5</i>
<i>KDELR2</i>	<i>HDAC8</i>
<i>KDELR3</i>	<i>HDC</i>
<i>KDSR</i>	<i>HEBP1</i>
<i>KIF13A</i>	<i>HELZ</i>
<i>KIF17</i>	<i>HEPACAM</i>
<i>KIF19A</i>	<i>HERPUD2</i>
<i>KIF2C</i>	<i>HES6</i>
<i>KIF5C</i>	<i>HEY1</i>
<i>KLC1</i>	<i>HEY2</i>
<i>KLC2</i>	<i>HGS</i>
<i>KLC3</i>	<i>HGSNAT</i>
<i>KLF11</i>	<i>HIC1</i>
<i>KLF12</i>	<i>HIF1AN</i>
<i>KLF9</i>	<i>HIGD1A</i>

<i>KLHDC8A</i>	<i>HIP1R</i>
<i>KLHDC8B</i>	<i>HISPPD1</i>
<i>KLHL10</i>	<i>HIST1H2AK</i>
<i>KLHL20</i>	<i>HIST1H4D</i>
<i>KLHL24</i>	<i>HIST2H2BE</i>
<i>KPNA3</i>	<i>HLA-A</i>
<i>KPRP</i>	<i>HLA-B</i>
<i>KRBA1</i>	<i>HLA-C</i>
<i>KRR1</i>	<i>HLA-DQA1</i>
<i>KRT12</i>	<i>HLA-DQB1</i>
<i>KRT14</i>	<i>HLX</i>
<i>KRT15</i>	<i>HMBOX1</i>
<i>KRT17</i>	<i>HMCN1</i>
<i>KRT32</i>	<i>HMG2L1</i>
<i>KRT34</i>	<i>HMGCS1</i>
<i>KRTAP16-7</i>	<i>HMGN3</i>
<i>KRTAP26-1</i>	<i>HMOX1</i>
<i>KRTDAP</i>	<i>HNRNPA2B1</i>
<i>KTI12</i>	<i>HNRPA3</i>
<i>KY</i>	<i>HOMER1</i>
<i>L7RN6</i>	<i>HOMER3</i>
<i>LACTB</i>	<i>HOPX</i>
<i>LAGE3</i>	<i>HORMAD1</i>
<i>LAMB2</i>	<i>HOXA1</i>
<i>LAMC3</i>	<i>HOXA13</i>
<i>LANCL3</i>	<i>HOXA6</i>
<i>LBR</i>	<i>HOXB2</i>
<i>LBX2</i>	<i>HOXB4</i>
<i>LCE1B</i>	<i>HOXC13</i>
<i>LCE1L</i>	<i>HPS4</i>
<i>LCK</i>	<i>HPS5</i>
<i>LCN12</i>	<i>HPSE2</i>
<i>LCOR</i>	<i>HRB</i>
<i>LCORL</i>	<i>HS6ST2</i>
<i>LEF1</i>	<i>HSD11B2</i>
<i>LEFTY1</i>	<i>HSD17B6</i>
<i>LEFTY2</i>	<i>HSD3B2</i>
<i>LENG1</i>	<i>HSF2BP</i>
<i>LEPRE1</i>	<i>HSPA1B</i>
<i>LGI1</i>	<i>HSPB6</i>
<i>LGI3</i>	<i>HSPBP1</i>
<i>LHCGR</i>	<i>HTATIP</i>
<i>LHX3</i>	<i>HTN1</i>
<i>LHX8</i>	<i>HTN3</i>
<i>LIF</i>	<i>HTR1F</i>
<i>LIG4</i>	<i>HTR3A</i>

<i>LIMCH1</i>	<i>HTR3B</i>
<i>LIMD1</i>	<i>HTRA2</i>
<i>LIMK1</i>	<i>HTT</i>
<i>LIN28</i>	<i>HUS1</i>
<i>LINGO3</i>	<i>ICAM3</i>
<i>LIPC</i>	<i>ICOSLG</i>
<i>LIPE</i>	<i>IDH3G</i>
<i>LIPF</i>	<i>IFI35</i>
<i>LIPH</i>	<i>IFITM2</i>
<i>LIPI</i>	<i>IFNA21</i>
<i>LMAN2L</i>	<i>IFT140</i>
<i>LMBR1</i>	<i>IFT74</i>
<i>LMBR1L</i>	<i>IGFBP7</i>
<i>LMNB2</i>	<i>IGSF21</i>
<i>LMOD1</i>	<i>IGSF5</i>
<i>LMTK2</i>	<i>IHPK3</i>
<i>LNX2</i>	<i>IKIP</i>
<i>LOXL2</i>	<i>IKZF2</i>
<i>LOXL3</i>	<i>IKZF3</i>
<i>LPAR3</i>	<i>IKZF4</i>
<i>LPO</i>	<i>IL12A</i>
<i>LPP</i>	<i>IL12RB2</i>
<i>LRCH1</i>	<i>IL15</i>
<i>LRCH3</i>	<i>IL17RD</i>
<i>LRIG1</i>	<i>IL17RE</i>
<i>LRP2BP</i>	<i>IL1A</i>
<i>LRP4</i>	<i>IL1F10</i>
<i>LRRC14</i>	<i>IL1F9</i>
<i>LRRC15</i>	<i>IL1RAPL2</i>
<i>LRRC23</i>	<i>IL1RL1</i>
<i>LRRC36</i>	<i>IL21R</i>
<i>LRRC52</i>	<i>IL5RA</i>
<i>LRRC55</i>	<i>IL8RB</i>
<i>LRRC56</i>	<i>ILDR1</i>
<i>LRRFIP2</i>	<i>IMMP2L</i>
<i>LRRK2</i>	<i>IMPACT</i>
<i>LRRN2</i>	<i>ING2</i>
<i>LSG1</i>	<i>INHBB</i>
<i>LTB4R1</i>	<i>INPP4A</i>
<i>LTF</i>	<i>INPP5B</i>
<i>LUC7L</i>	<i>INSC</i>
<i>LUZP1</i>	<i>INSIG1</i>
<i>LYNX1</i>	<i>INTS7</i>
<i>LYRM4</i>	<i>INTS9</i>
<i>LYRM5</i>	<i>INVS</i>
<i>LYSMD1</i>	<i>IQCB1</i>

<i>LYSMD2</i>	<i>IQUB</i>
<i>LYZL6</i>	<i>IRAK1BP1</i>
<i>LZTS2</i>	<i>IRAK3</i>
<i>MAB21L1</i>	<i>IRF2BP1</i>
<i>MACROD2</i>	<i>IRF5</i>
<i>MAF</i>	<i>IRS2</i>
<i>MAF1</i>	<i>IRX4</i>
<i>MAFB</i>	<i>ITGA10</i>
<i>MAGI3</i>	<i>ITGA11</i>
<i>MAK</i>	<i>ITGA3</i>
<i>MAL</i>	<i>ITGB1BP3</i>
<i>MAN1B1</i>	<i>ITGB3</i>
<i>MAN1C1</i>	<i>ITIH1</i>
<i>MAN2C1</i>	<i>ITPR2</i>
<i>MAP1LC3A</i>	<i>ITPR3</i>
<i>MAP2K4</i>	<i>ITSN2</i>
<i>MAP3K12</i>	<i>IVD</i>
<i>MAP3K14</i>	<i>JAG1</i>
<i>MAP3K2</i>	<i>JAKMIP2</i>
<i>MAP3K3</i>	<i>JAM3</i>
<i>MAP3K7IP1</i>	<i>JMJD1A</i>
<i>MAP3K7IP2</i>	<i>JMJD2B</i>
<i>MAP3K7IP3</i>	<i>KALRN</i>
<i>MAPK3</i>	<i>KARS</i>
<i>MAPK4</i>	<i>KATNAL1</i>
<i>MAPKAPK2</i>	<i>KATNB1</i>
<i>MARCH4</i>	<i>KCMF1</i>
<i>MARCKS</i>	<i>KCNA1</i>
<i>MARE</i>	<i>KCNA2</i>
<i>MARVELD2</i>	<i>KCNB2</i>
<i>MAS1</i>	<i>KCNC3</i>
<i>MASTL</i>	<i>KCNE1L</i>
<i>MAT2A</i>	<i>KCNF1</i>
<i>MBL1</i>	<i>KCNG1</i>
<i>MBOAT1</i>	<i>KCNH1</i>
<i>MC3R</i>	<i>KCNH4</i>
<i>MCART6</i>	<i>KCNH8</i>
<i>MCM7</i>	<i>KCNIP4</i>
<i>MCOLN2</i>	<i>KCNJ11</i>
<i>MCPT8</i>	<i>KCNK10</i>
<i>MED1</i>	<i>KCNK3</i>
<i>MED20</i>	<i>KCNK9</i>
<i>MED22</i>	<i>KCNMA1</i>
<i>MED6</i>	<i>KCNN3</i>
<i>MED8</i>	<i>KCNQ5</i>
<i>MED9</i>	<i>KCNS1</i>

<i>MEIG1</i>	<i>KCTD13</i>
<i>MEIS2</i>	<i>KCTD5</i>
<i>MESDC2</i>	<i>KDELR2</i>
<i>METRN</i>	<i>KDELR3</i>
<i>METTL3</i>	<i>KIAA0133</i>
<i>METTL9</i>	<i>KIAA0174</i>
<i>MFAP3</i>	<i>KIAA0241</i>
<i>MFAP4</i>	<i>KIAA0247</i>
<i>MFF</i>	<i>KIAA0284</i>
<i>MFSD1</i>	<i>KIAA0317</i>
<i>MFSD2</i>	<i>KIAA0355</i>
<i>MFSD8</i>	<i>KIAA0556</i>
<i>MGAT4A</i>	<i>KIAA0586</i>
<i>MGAT5B</i>	<i>KIAA0652</i>
<i>MGST2</i>	<i>KIAA0664</i>
<i>MGST3</i>	<i>KIAA0754</i>
<i>MICAL1</i>	<i>KIAA1147</i>
<i>MICAL2</i>	<i>KIAA1274</i>
<i>MIR16</i>	<i>KIAA1279</i>
<i>MITD1</i>	<i>KIAA1324L</i>
<i>MIXL1</i>	<i>KIAA1383</i>
<i>MKI67IP</i>	<i>KIAA1409</i>
<i>MKL2</i>	<i>KIAA1429</i>
<i>MKRN1</i>	<i>KIAA1430</i>
<i>MKRN2</i>	<i>KIAA1530</i>
<i>MKRN3</i>	<i>KIAA1576</i>
<i>MLXIP</i>	<i>KIAA1600</i>
<i>MLYCD</i>	<i>KIAA1755</i>
<i>MMAB</i>	<i>KIAA1797</i>
<i>MMD</i>	<i>KIAA1804</i>
<i>MMP1B</i>	<i>KIF16B</i>
<i>MMP9</i>	<i>KIF18A</i>
<i>MMS19</i>	<i>KIF1B</i>
<i>MN1</i>	<i>KIF23</i>
<i>MND1</i>	<i>KIF5A</i>
<i>MOBKL1A</i>	<i>KIF5C</i>
<i>MOBKL2B</i>	<i>KISS1</i>
<i>MON1B</i>	<i>KIT</i>
<i>MON2</i>	<i>KLC1</i>
<i>MORN3</i>	<i>KLC3</i>
<i>MORN5</i>	<i>KLC4</i>
<i>MOV10L1</i>	<i>KLF15</i>
<i>MPDU1</i>	<i>KLF4</i>
<i>MPP1</i>	<i>KLF5</i>
<i>MPP2</i>	<i>KLF6</i>
<i>MPRIP</i>	<i>KLF8</i>

MPZL2	KLHDC3
MREG	KLHDC8B
MRGPRA4	KLHL10
MRM1	KLHL17
MRP63	KLK13
MRPL17	KLKBL4
MRPL18	KLRK1
MRPL21	KRAS
MRPL24	KRR1
MRPL36	KRT16
MRPS16	KRT20
MRPS17	KRT33B
MRPS2	KRT34
MRPS6	KRT6C
MRPS7	KRT73
MRPS9	KRT75
MRRF	KRT76
MTA2	KRT80
MTAP	KRT85
MTCH2	KRT86
MTDH	KRTAP1-3
MTFR1	KRTAP1-5
MTHFD1	KRTAP11-1
MTHFD1L	KRTAP4-4
MTMR4	KRTAP4-5
MTRF1	KRTAP9-3
MTSS1	KRTAP9-4
MTTP	KSR1
MTUS1	KYNU
MTVR2	LAIR2
MTX1	LALBA
MUC1	LAMB2
MUC15	LAMC3
MUC5AC	LASS3
MYBL2	LASS6
MYCT1	LBX1
MYH14	LCK
MYH3	LCN2
MYH8	LCP2
MYL1	LCT
MYLK	LDB1
MYO10	LDB3
MYO1D	LDOC1L
MYO1F	LELP1
MYO5B	LEMD1
MYOM1	LEPREL2

<i>MYRIP</i>	<i>LEPROTL1</i>
<i>MYST1</i>	<i>LFNG</i>
<i>MZF1</i>	<i>LGI1</i>
<i>N28178</i>	<i>LGI3</i>
<i>NAB2</i>	<i>LHCGR</i>
<i>NADK</i>	<i>LHX5</i>
<i>NAGPA</i>	<i>LHX8</i>
<i>NANP</i>	<i>LIG3</i>
<i>NAP1L3</i>	<i>LIMCH1</i>
<i>NAPB</i>	<i>LIMS1</i>
<i>NAT1</i>	<i>LIN54</i>
<i>NAT14</i>	<i>LIPE</i>
<i>NAV1</i>	<i>LIPI</i>
<i>NCAM2</i>	<i>LITAF</i>
<i>NCAPG2</i>	<i>LMBR1L</i>
<i>NCBP1</i>	<i>LMLN</i>
<i>NCK1</i>	<i>LMTK3</i>
<i>NCKAP1L</i>	<i>LOC642587</i>
<i>NCKIPSD</i>	<i>LOC643923</i>
<i>NCLN</i>	<i>LOX</i>
<i>NCOA2</i>	<i>LOXL4</i>
<i>NCOR2</i>	<i>LPCAT1</i>
<i>NDFIP1</i>	<i>LPCAT2</i>
<i>NDRG4</i>	<i>LPHN3</i>
<i>NDUFA4</i>	<i>LPIN2</i>
<i>NDUFB5</i>	<i>LPIN3</i>
<i>NDUFS5</i>	<i>LPO</i>
<i>NEBL</i>	<i>LRDD</i>
<i>NEDD1</i>	<i>LRFN2</i>
<i>NEFL</i>	<i>LRFN4</i>
<i>NEK11</i>	<i>LRIG2</i>
<i>NEK9</i>	<i>LRP1B</i>
<i>NETO1</i>	<i>LRP8</i>
<i>NETO2</i>	<i>LRRC16B</i>
<i>NEURL</i>	<i>LRRC17</i>
<i>NEUROD1</i>	<i>LRRC20</i>
<i>NEUROD2</i>	<i>LRRC27</i>
<i>NEUROG3</i>	<i>LRRC29</i>
<i>NFASC</i>	<i>LRRC41</i>
<i>NFATC3</i>	<i>LRRC52</i>
<i>NFE2L2</i>	<i>LRRC8D</i>
<i>NFKBIL2</i>	<i>LRRN2</i>
<i>NFS1</i>	<i>LRRTM1</i>
<i>NFYA</i>	<i>LSM6</i>
<i>NG23</i>	<i>LSS</i>
<i>NGDN</i>	<i>LYN</i>

<i>NGF</i>	<i>LYPD1</i>
<i>NGP</i>	<i>LYPLA3</i>
<i>NHEDC2</i>	<i>LYSMD2</i>
<i>NIPSNAP3A</i>	<i>LYST</i>
<i>NKG7</i>	<i>LZTFL1</i>
<i>NKX6-1</i>	<i>MAF1</i>
<i>NKX6-2</i>	<i>MAFB</i>
<i>NLGN1</i>	<i>MAGEA1</i>
<i>NLRP1B</i>	<i>MAGEA4</i>
<i>NLRX1</i>	<i>MAGEA8</i>
<i>NME3</i>	<i>MAGEE1</i>
<i>NMI</i>	<i>MAGEH1</i>
<i>NODAL</i>	<i>MAGI3</i>
<i>NOL4</i>	<i>MAGIX</i>
<i>NOL5A</i>	<i>MALL</i>
<i>NOLA2</i>	<i>MAML1</i>
<i>NOLC1</i>	<i>MAMLD1</i>
<i>NONO</i>	<i>MAN1A2</i>
<i>NOXA1</i>	<i>MAN1B1</i>
<i>NPAS4</i>	<i>MAOA</i>
<i>NPEPL1</i>	<i>MAP1A</i>
<i>NPFFR2</i>	<i>MAP2K2</i>
<i>NPLOC4</i>	<i>MAP3K1</i>
<i>NPNT</i>	<i>MAP3K12</i>
<i>NPPA</i>	<i>MAP3K14</i>
<i>NPPC</i>	<i>MAP3K4</i>
<i>NPR1</i>	<i>MAP3K6</i>
<i>NPR2</i>	<i>MAP3K7IP3</i>
<i>NPSR1</i>	<i>MAPKAPK2</i>
<i>NR1H5</i>	<i>MAPRE3</i>
<i>NR2C2AP</i>	<i>MAPT</i>
<i>NRARP</i>	<i>MARCH4</i>
<i>NRBP1</i>	<i>MARCH9</i>
<i>NRD1</i>	<i>MARCO</i>
<i>NRN1L</i>	<i>MARK1</i>
<i>NRSN2</i>	<i>MAST4</i>
<i>NSG1</i>	<i>MAT2A</i>
<i>NT5DC1</i>	<i>MAX</i>
<i>NT5DC2</i>	<i>MBD1</i>
<i>NT5E</i>	<i>MBD3</i>
<i>NTHL1</i>	<i>MBD6</i>
<i>NTN4</i>	<i>MBOAT1</i>
<i>NUDT10</i>	<i>MBOAT2</i>
<i>NUDT2</i>	<i>MCCC1</i>
<i>NUDT3</i>	<i>MCF2L</i>
<i>NUDT4</i>	<i>MCM3AP</i>

<i>NUDT6</i>	<i>MCTS1</i>
<i>NUMA1</i>	<i>MDH2</i>
<i>NUPL2</i>	<i>MDM2</i>
<i>NUS1</i>	<i>MECR</i>
<i>NUT</i>	<i>MED11</i>
<i>NWD1</i>	<i>MED12</i>
<i>NXNL1</i>	<i>MED15</i>
<i>NXPH1</i>	<i>MED27</i>
<i>NXPH2</i>	<i>MED8</i>
<i>OAS1C</i>	<i>MED9</i>
<i>OAS1D</i>	<i>MEIS3</i>
<i>OAS1E</i>	<i>METAP2</i>
<i>OAS1H</i>	<i>METTL1</i>
<i>OASL1</i>	<i>METTL9</i>
<i>OASL2</i>	<i>MEX3B</i>
<i>OBFC2A</i>	<i>MEX3C</i>
<i>OBOX3</i>	<i>MFAP4</i>
<i>ODZ3</i>	<i>MFN1</i>
<i>OLFM2</i>	<i>MFRP</i>
<i>OLFM3</i>	<i>MGAT5</i>
<i>OLFML2B</i>	<i>MGAT5B</i>
<i>OLFR43</i>	<i>MGC33894</i>
<i>OLFR59</i>	<i>MGC42105</i>
<i>OLFR70</i>	<i>MIB1</i>
<i>OLR1</i>	<i>MICAL1</i>
<i>OMG</i>	<i>MICAL3</i>
<i>OPA3</i>	<i>MICALCL</i>
<i>OPALIN</i>	<i>MID2</i>
<i>OPCML</i>	<i>MINPP1</i>
<i>OPRL1</i>	<i>MIOX</i>
<i>OPRS1</i>	<i>MIP</i>
<i>ORC3L</i>	<i>MIZF</i>
<i>ORC5L</i>	<i>MKL1</i>
<i>ORMDL2</i>	<i>MKRN3</i>
<i>ORMDL3</i>	<i>MKS1</i>
<i>OSBPL1A</i>	<i>MLF1IP</i>
<i>OSGEP</i>	<i>MLH1</i>
<i>OSGEPL1</i>	<i>MLKL</i>
<i>OSGIN2</i>	<i>MLSTD1</i>
<i>OSTA</i>	<i>MLXIP</i>
<i>OTOS</i>	<i>MMD</i>
<i>OTT</i>	<i>MME</i>
<i>OTUB1</i>	<i>MMP1</i>
<i>OTUB2</i>	<i>MMP10</i>
<i>OXCT2A</i>	<i>MMP15</i>
<i>OXSM</i>	<i>MMP21</i>

<i>OXT</i>	<i>MMP24</i>
<i>P2RX3</i>	<i>MMP28</i>
<i>P2RX6</i>	<i>MMP3</i>
<i>P2RY2</i>	<i>MMP8</i>
<i>P2RY6</i>	<i>MNT</i>
<i>P4HA1</i>	<i>MOAP1</i>
<i>P4HA2</i>	<i>MOBKL2C</i>
<i>P4HA3</i>	<i>MOCS1</i>
<i>PACS1</i>	<i>MON1A</i>
<i>PACSIN2</i>	<i>MON1B</i>
<i>PACSIN3</i>	<i>MPDU1</i>
<i>PADI4</i>	<i>MPI</i>
<i>PAH</i>	<i>MPP1</i>
<i>PAIP1</i>	<i>MPP4</i>
<i>PAK7</i>	<i>MPST</i>
<i>PAPPA</i>	<i>MREG</i>
<i>PAQR4</i>	<i>MRGPRX3</i>
<i>PAQR9</i>	<i>MRPL18</i>
<i>PARC</i>	<i>MRPL28</i>
<i>PARL</i>	<i>MRPL37</i>
<i>PARP14</i>	<i>MRPL4</i>
<i>PARP2</i>	<i>MRPL40</i>
<i>PARVB</i>	<i>MRPS2</i>
<i>PAWR</i>	<i>MRPS21</i>
<i>PAX3</i>	<i>MS4A4A</i>
<i>PBK</i>	<i>MSI1</i>
<i>PBLD</i>	<i>MTA3</i>
<i>PBP2</i>	<i>MTBP</i>
<i>PCDH17</i>	<i>MTDH</i>
<i>PCDH20</i>	<i>MTFR1</i>
<i>PCDHB13</i>	<i>MTG1</i>
<i>PCDHB19</i>	<i>MTHFD2L</i>
<i>PCDHB21</i>	<i>MTHFR</i>
<i>PCDHB22</i>	<i>MTMR1</i>
<i>PCSK4</i>	<i>MTMR10</i>
<i>PCSK9</i>	<i>MTMR11</i>
<i>PDC</i>	<i>MTMR14</i>
<i>PDCD6</i>	<i>MTMR2</i>
<i>PDE10A</i>	<i>MTTP</i>
<i>PDE1A</i>	<i>MUC20</i>
<i>PDE1B</i>	<i>MUCL1</i>
<i>PDE4A</i>	<i>MUM1</i>
<i>PDE7A</i>	<i>MVD</i>
<i>PDE8A</i>	<i>MXD3</i>
<i>PDGFB</i>	<i>MYBL2</i>
<i>PKD1</i>	<i>MYCN</i>

<i>PDK4</i>	<i>MYD88</i>
<i>PDLIM3</i>	<i>MYH3</i>
<i>PDLIM4</i>	<i>MYH6</i>
<i>PDLIM5</i>	<i>MYO18B</i>
<i>PDLIM7</i>	<i>MYO1G</i>
<i>PDRG1</i>	<i>MYOC</i>
<i>PDSS1</i>	<i>MYOM3</i>
<i>PDXK</i>	<i>MYOZ2</i>
<i>PDZD4</i>	<i>MYOZ3</i>
<i>PEA15A</i>	<i>N4BP3</i>
<i>PEBP1</i>	<i>NAB2</i>
<i>PEF1</i>	<i>NACA</i>
<i>PELI3</i>	<i>NACA2</i>
<i>PEO1</i>	<i>NADK</i>
<i>PEPD</i>	<i>NAGPA</i>
<i>PER2</i>	<i>NAPG</i>
<i>PEX11A</i>	<i>NAT14</i>
<i>PEX6</i>	<i>NAT6</i>
<i>PFDN5</i>	<i>NAT8</i>
<i>PFKL</i>	<i>NAT8B</i>
<i>PGAM2</i>	<i>NAT9</i>
<i>PGCP</i>	<i>NBEA</i>
<i>PGD</i>	<i>NBL1</i>
<i>PGM1</i>	<i>NCLN</i>
<i>PGM2</i>	<i>NCOA2</i>
<i>PGM2L1</i>	<i>NCOR2</i>
<i>PHACTR2</i>	<i>NDUFA12</i>
<i>PHC3</i>	<i>NDUFA4</i>
<i>PHF19</i>	<i>NDUFB10</i>
<i>PHKA1</i>	<i>NDUFB8</i>
<i>PHLDB2</i>	<i>NDUFS4</i>
<i>PHOX2B</i>	<i>NEDD1</i>
<i>PI16</i>	<i>NEFL</i>
<i>PI4K2A</i>	<i>NEFM</i>
<i>PI4KA</i>	<i>NEK10</i>
<i>PIGA</i>	<i>NES</i>
<i>PIGH</i>	<i>NEURL</i>
<i>PIGL</i>	<i>NEUROD1</i>
<i>PIGM</i>	<i>NEUROD2</i>
<i>PIK3R3</i>	<i>NEUROD4</i>
<i>PIK3R4</i>	<i>NEUROG3</i>
<i>PIK3R5</i>	<i>NEXN</i>
<i>PIP</i>	<i>NFASC</i>
<i>PIP5K1B</i>	<i>NFATC3</i>
<i>PIP5K1C</i>	<i>NFATC4</i>
<i>PITPNM2</i>	<i>NFE2L3</i>

<i>PIWIL1</i>	<i>NFKBIA</i>
<i>PKD1</i>	<i>NFKBIL1</i>
<i>PKMYT1</i>	<i>NFRKB</i>
<i>PKNOX2</i>	<i>NGEF</i>
<i>PLA2G2F</i>	<i>NHLRC3</i>
<i>PLA2G5</i>	<i>NIP30</i>
<i>PLA2G6</i>	<i>NIPBL</i>
<i>PLAC1L</i>	<i>NISCH</i>
<i>PLAG1</i>	<i>NKX3-1</i>
<i>PLCB1</i>	<i>NKX3-2</i>
<i>PLCD1</i>	<i>NLRC5</i>
<i>PLCH2</i>	<i>NLRP14</i>
<i>PLCXD1</i>	<i>NLRP3</i>
<i>PLD3</i>	<i>NLRX1</i>
<i>PLEC1</i>	<i>NME4</i>
<i>PLEKHA3</i>	<i>NMI</i>
<i>PLEKHA6</i>	<i>NMNAT2</i>
<i>PLEKHB2</i>	<i>NMNAT3</i>
<i>PLEKHG1</i>	<i>NMUR2</i>
<i>PLK4</i>	<i>NOL1</i>
<i>PLRG1</i>	<i>NOL4</i>
<i>PLXNB1</i>	<i>NOPE</i>
<i>PMF1</i>	<i>NOS1</i>
<i>PML</i>	<i>NOS2A</i>
<i>PMM1</i>	<i>NOS3</i>
<i>PMPCB</i>	<i>NOX1</i>
<i>PNKD</i>	<i>NOX4</i>
<i>PNMA3</i>	<i>NPAS4</i>
<i>PNO1</i>	<i>NPEPL1</i>
<i>PNP1</i>	<i>NPHP4</i>
<i>PNPLA2</i>	<i>NPR2</i>
<i>PNPLA6</i>	<i>NPTX2</i>
<i>POFUT1</i>	<i>NPY2R</i>
<i>POFUT2</i>	<i>NR1I3</i>
<i>POLL</i>	<i>NR2C2</i>
<i>POLM</i>	<i>NR2C2AP</i>
<i>POLQ</i>	<i>NR2F2</i>
<i>POLR2C</i>	<i>NR4A1</i>
<i>POLR2I</i>	<i>NRBP1</i>
<i>POLR3A</i>	<i>NRIP3</i>
<i>POLR3E</i>	<i>NSD1</i>
<i>POLR3H</i>	<i>NSDHL</i>
<i>POLR3K</i>	<i>NSF</i>
<i>POMC</i>	<i>NSUN6</i>
<i>POMT2</i>	<i>NT5C3</i>
<i>POU4F2</i>	<i>NT5DC2</i>

<i>PPA1</i>	<i>NT5E</i>
<i>PPA2</i>	<i>NUDT14</i>
<i>PPAP2A</i>	<i>NUDT15</i>
<i>PPAP2B</i>	<i>NUMA1</i>
<i>PPAP2C</i>	<i>NUP133</i>
<i>PPAPDC1A</i>	<i>NUP188</i>
<i>PPARD</i>	<i>NUP35</i>
<i>PPARGC1B</i>	<i>NXF1</i>
<i>PPCS</i>	<i>NXF3</i>
<i>PPID</i>	<i>NXPH2</i>
<i>PPIH</i>	<i>OAS3</i>
<i>PPM1D</i>	<i>ODF1</i>
<i>PPM1E</i>	<i>ODZ1</i>
<i>PPM1L</i>	<i>OIP5</i>
<i>PPP1R12A</i>	<i>OLFML1</i>
<i>PPP1R14D</i>	<i>OLFML3</i>
<i>PPP1R15B</i>	<i>OMG</i>
<i>PPP1R3D</i>	<i>OOEP</i>
<i>PPP2R1A</i>	<i>OPLAH</i>
<i>PPP2R2C</i>	<i>OPN5</i>
<i>PPP2R5A</i>	<i>OPRM1</i>
<i>PPP2R5C</i>	<i>OPRS1</i>
<i>PPP3CA</i>	<i>OR2H1</i>
<i>PPP4R2</i>	<i>ORC3L</i>
<i>PPP5C</i>	<i>ORMDL3</i>
<i>PPP6C</i>	<i>OS9</i>
<i>PPT1</i>	<i>OSBPL11</i>
<i>PPWD1</i>	<i>OSBPL5</i>
<i>PRDX6-RS1</i>	<i>OSGEP</i>
<i>PREPL</i>	<i>OSGEPL1</i>
<i>PRICKLE1</i>	<i>OSGIN2</i>
<i>PRICKLE4</i>	<i>OSR1</i>
<i>PRKAG2</i>	<i>OSTM1</i>
<i>PRKAR1A</i>	<i>OTC</i>
<i>PRKAR2A</i>	<i>OTUD6B</i>
<i>PRKCZ</i>	<i>OVOL2</i>
<i>PRKG1</i>	<i>OXR1</i>
<i>PRKRA</i>	<i>P2RY11</i>
<i>PRKRIP1</i>	<i>P4HA2</i>
<i>PRL2C2</i>	<i>PAAF1</i>
<i>PRL2C4</i>	<i>PABPC1L2B</i>
<i>PROM2</i>	<i>PABPC4L</i>
<i>PROX1</i>	<i>PACS1</i>
<i>PROZ</i>	<i>PAF1</i>
<i>PRPF4</i>	<i>PAFAH1B3</i>
<i>PRPF40B</i>	<i>PAFAH2</i>

<i>PRR11</i>	<i>PAK3</i>
<i>PRR16</i>	<i>PAPD4</i>
<i>PRRXL1</i>	<i>PAPD5</i>
<i>PRSS23</i>	<i>PAQR3</i>
<i>PRTG</i>	<i>PARP15</i>
<i>PSCD3</i>	<i>PARP16</i>
<i>PSD2</i>	<i>PARP3</i>
<i>PSEENEN</i>	<i>PARVA</i>
<i>PSG21</i>	<i>PAWR</i>
<i>PSG22</i>	<i>PAXIP1</i>
<i>PSG27</i>	<i>PBOV1</i>
<i>PSG29</i>	<i>PC</i>
<i>PSKH1</i>	<i>PCBD2</i>
<i>PSMA3</i>	<i>PCDH18</i>
<i>PSMA7</i>	<i>PCGF5</i>
<i>PSMC1</i>	<i>PCMTD2</i>
<i>PSMC6</i>	<i>PCTK1</i>
<i>PSMD10</i>	<i>PCYT2</i>
<i>PSMD11</i>	<i>PDAP1</i>
<i>PSMD13</i>	<i>PDC</i>
<i>PTCD2</i>	<i>PDCD2L</i>
<i>PTCD3</i>	<i>PDCD6</i>
<i>PTGDS</i>	<i>PDE10A</i>
<i>PTGER1</i>	<i>PDE1B</i>
<i>PTGER2</i>	<i>PDE2A</i>
<i>PTGER4</i>	<i>PDE4A</i>
<i>PTGFR</i>	<i>PDGFC</i>
<i>PTGFRN</i>	<i>PDLIM3</i>
<i>PTGIS</i>	<i>PDP2</i>
<i>PTH</i>	<i>PDS5A</i>
<i>PTHLH</i>	<i>PDSS1</i>
<i>PTMS</i>	<i>PDXDC1</i>
<i>PTPN1</i>	<i>PDZD4</i>
<i>PTPN13</i>	<i>PEBP4</i>
<i>PTPN14</i>	<i>PERLD1</i>
<i>PTPN18</i>	<i>PES1</i>
<i>PTPN2</i>	<i>PEX11B</i>
<i>PTPN22</i>	<i>PEX12</i>
<i>PTPN23</i>	<i>PEX26</i>
<i>PTPN4</i>	<i>PFDN6</i>
<i>PTPN5</i>	<i>PFKFB4</i>
<i>PTPRF</i>	<i>PFKM</i>
<i>PTPRM</i>	<i>PFTK1</i>
<i>PTPRT</i>	<i>PGAM2</i>
<i>PTRF</i>	<i>PGBD2</i>
<i>PUM2</i>	<i>PGD</i>

PURB
PUS3
PWP2
PYCRL
PYGO2
PYROXD1
QRFP
R3HDM1
RAB10
RAB11FIP4
RAB11FIP5
RAB13
RAB15
RAB27A
RAB32
RAB34
RAB40C
RAB4B
RAB6B
RAB7L1
RAB8A
RABEP1
RABEPK
RABIF
RABL4
RABL5
RAC1
RAD50
RAD52
RAET1B
RAET1C
RALB
RAPGEF1
RAPGEF3
RAPGEF6
RARRES2
RASD1
RASSF8
RASSF9
RAVER2
RBBP5
RBM13
RBM15
RBM19
RBM44
RBM6

PGLS
PGLYRP1
PGM1
PGM2
PGM3
PHACTR3
PHACTR4
PHEX
PHF15
PHF2
PHF21A
PHF21B
PHF23
PHF5A
PHGDH
PHIP
PHKG1
PHKG2
PHOX2B
PHTF1
PHTF2
PIAS2
PICK1
PIGK
PIGM
PIGN
PIGS
PIGY
PIK3AP1
PIK3C2B
PIK3CD
PIK3R2
PIK3R6
PIM3
PIN4
PIP
PIP5K1A
PIP5K1B
PITPNB
PITPNM2
PKD2
PLA2G2F
PLA2G4F
PLAA
PLAG1
PLCD1

<i>RBMS2</i>	<i>PLCL1</i>
<i>RCC2</i>	<i>PLCZ1</i>
<i>RCN1</i>	<i>PLEKHA6</i>
<i>RCN3</i>	<i>PLEKHA9</i>
<i>RCOR2</i>	<i>PLEKHF2</i>
<i>RDH11</i>	<i>PLEKHH1</i>
<i>RDH12</i>	<i>PLEKHJ1</i>
<i>RDH9</i>	<i>PLEKHM1</i>
<i>REEP3</i>	<i>PLEKHO2</i>
<i>REG3D</i>	<i>PLTP</i>
<i>REL</i>	<i>PLXNA4</i>
<i>RELL1</i>	<i>PLXNB1</i>
<i>REV1</i>	<i>PMF1</i>
<i>REV3L</i>	<i>PMPCB</i>
<i>RFC2</i>	<i>PNLIPRP1</i>
<i>RFESD</i>	<i>PNMA1</i>
<i>RFTN2</i>	<i>PNO1</i>
<i>RFWD3</i>	<i>PNOC</i>
<i>RFXDC1</i>	<i>PNPLA1</i>
<i>RG9MTD3</i>	<i>PNPLA2</i>
<i>RGMA</i>	<i>PNPLA6</i>
<i>RGS10</i>	<i>PNPT1</i>
<i>RGS16</i>	<i>PNRC2</i>
<i>RGS19</i>	<i>PODN</i>
<i>RGS2</i>	<i>PODXL2</i>
<i>RGS3</i>	<i>POLDIP2</i>
<i>RGS7BP</i>	<i>POLE4</i>
<i>RGS8</i>	<i>POLQ</i>
<i>RGS9BP</i>	<i>POLR2A</i>
<i>RHBDL3</i>	<i>POLR3D</i>
<i>RHEBL1</i>	<i>POLS</i>
<i>RHOBTB1</i>	<i>POMC</i>
<i>RHOD</i>	<i>POP4</i>
<i>RHOV</i>	<i>POPDC3</i>
<i>RHOX10</i>	<i>POSTN</i>
<i>RHOX11</i>	<i>POU2F3</i>
<i>RHOX12</i>	<i>POU4F2</i>
<i>RHOX6</i>	<i>POU6F1</i>
<i>RIC3</i>	<i>PPAP2A</i>
<i>RIMBP2</i>	<i>PPAPDC1B</i>
<i>RIOK3</i>	<i>PPAPDC2</i>
<i>RMND5B</i>	<i>PPARG</i>
<i>RNASEH1</i>	<i>PPARGC1B</i>
<i>RNASEH2B</i>	<i>PPAT</i>
<i>RNF10</i>	<i>PPBP</i>
<i>RNF12</i>	<i>PPFIA4</i>

<i>RNF135</i>	<i>PPFIBP1</i>
<i>RNF138</i>	<i>PPHLN1</i>
<i>RNF151</i>	<i>PPID</i>
<i>RNF17</i>	<i>PPIF</i>
<i>RNF219</i>	<i>PPIH</i>
<i>RNF220</i>	<i>PPIL2</i>
<i>RNF25</i>	<i>PPIL3</i>
<i>RNF40</i>	<i>PPIL4</i>
<i>RNF5</i>	<i>PPL</i>
<i>RNF8</i>	<i>PPM1E</i>
<i>RNGTT</i>	<i>PPP1R14C</i>
<i>RNPS1</i>	<i>PPP1R2</i>
<i>RP9</i>	<i>PPP1R3C</i>
<i>RPA2</i>	<i>PPP1R7</i>
<i>RPGR</i>	<i>PPP2CA</i>
<i>RPL13</i>	<i>PPP2R1A</i>
<i>RPL18A</i>	<i>PPP2R1B</i>
<i>RPL28</i>	<i>PPP2R2A</i>
<i>RPL36A</i>	<i>PPP2R3A</i>
<i>RPL37A</i>	<i>PPP5C</i>
<i>RPL39</i>	<i>PPT1</i>
<i>RPL6</i>	<i>PPTC7</i>
<i>RPL7L1</i>	<i>PQLC3</i>
<i>RPN1</i>	<i>PRDM1</i>
<i>RPN2</i>	<i>PRDM13</i>
<i>RPP25</i>	<i>PREB</i>
<i>RPP38</i>	<i>PRELID2</i>
<i>RPP40</i>	<i>PRICKLE1</i>
<i>RPS19BP1</i>	<i>PRKAG2</i>
<i>RPS24</i>	<i>PRKCE</i>
<i>RPS5</i>	<i>PRKCZ</i>
<i>RPS6KA5</i>	<i>PRKD3</i>
<i>RPS6KB1</i>	<i>PRKG1</i>
<i>RPS6KB2</i>	<i>PRKG2</i>
<i>RPS6KC1</i>	<i>PRMT2</i>
<i>RPS6KL1</i>	<i>PRMT6</i>
<i>RRAD</i>	<i>PRMT7</i>
<i>RRAS</i>	<i>PRNP</i>
<i>RS1</i>	<i>PROL1</i>
<i>RSAD1</i>	<i>PROZ</i>
<i>RSF1</i>	<i>PRPF38A</i>
<i>RSPO2</i>	<i>PRPH2</i>
<i>RSPRY1</i>	<i>PRR16</i>
<i>RTCD1</i>	<i>PRR18</i>
<i>RTN4</i>	<i>PRR6</i>
<i>RTN4R</i>	<i>PRRG3</i>

<i>RUFY1</i>	<i>PRRT2</i>
<i>RUNX1</i>	<i>PRSS21</i>
<i>RUNX1T1</i>	<i>PRSS7</i>
<i>RUNX2</i>	<i>PRSS8</i>
<i>RUSC1</i>	<i>PRTG</i>
<i>RWDD3</i>	<i>PSAP</i>
<i>RWDD4A</i>	<i>PSCA</i>
<i>RYR1</i>	<i>PSCDBP</i>
<i>S100A16</i>	<i>PSD2</i>
<i>S100A3</i>	<i>PSD4</i>
<i>S100A5</i>	<i>PSKH1</i>
<i>SALL3</i>	<i>PSMB3</i>
<i>SAMD10</i>	<i>PSMB6</i>
<i>SAMM50</i>	<i>PSMB7</i>
<i>SAP30</i>	<i>PSMB8</i>
<i>SAP30BP</i>	<i>PSMC3</i>
<i>SAR1A</i>	<i>PSMC5</i>
<i>SARDH</i>	<i>PSMD1</i>
<i>SARM1</i>	<i>PSMD13</i>
<i>SARS</i>	<i>PSMD14</i>
<i>SART1</i>	<i>PSMD7</i>
<i>SATB2</i>	<i>PSORS1C1</i>
<i>SBF1</i>	<i>PSRC1</i>
<i>SBK1</i>	<i>PTAR1</i>
<i>SCAMP1</i>	<i>PTBP1</i>
<i>SCAMP2</i>	<i>PTCD3</i>
<i>SCARA5</i>	<i>PTCHD2</i>
<i>SCARB1</i>	<i>PTGER3</i>
<i>SCCPDH</i>	<i>PTGS2</i>
<i>SCD2</i>	<i>PTH</i>
<i>SCEL</i>	<i>PTP4A3</i>
<i>SCG3</i>	<i>PTPLB</i>
<i>SCGB1A1</i>	<i>PTPMT1</i>
<i>SCGB3A1</i>	<i>PTPN13</i>
<i>SCGN</i>	<i>PTPN18</i>
<i>SCN1A</i>	<i>PTPN2</i>
<i>SCN3B</i>	<i>PTPRA</i>
<i>SCN4B</i>	<i>PTPRK</i>
<i>SCNN1G</i>	<i>PTRH1</i>
<i>SDAD1</i>	<i>PUF60</i>
<i>SDCBP2</i>	<i>PUS10</i>
<i>SDF2</i>	<i>PVALB</i>
<i>SDPR</i>	<i>PXDN</i>
<i>SDS</i>	<i>PXDNL</i>
<i>SEC14L4</i>	<i>PXK</i>
<i>SEC22C</i>	<i>PXMP2</i>

<i>SEC23B</i>	<i>PXMP3</i>
<i>SECISBP2</i>	<i>PYGO2</i>
<i>SEMA3A</i>	<i>QARS</i>
<i>SEMA6D</i>	<i>QPCTL</i>
<i>SEPP1</i>	<i>QRICH1</i>
<i>SEPX1</i>	<i>R3HDM1</i>
<i>SERBP1</i>	<i>RAB11FIP3</i>
<i>SERINC1</i>	<i>RAB11FIP5</i>
<i>SERINC4</i>	<i>RAB15</i>
<i>SERP1</i>	<i>RAB21</i>
<i>SERPINA3C</i>	<i>RAB24</i>
<i>SERPINA3F</i>	<i>RAB25</i>
<i>SERPINB12</i>	<i>RAB26</i>
<i>SERPINB13</i>	<i>RAB27B</i>
<i>SERPINB3A</i>	<i>RAB32</i>
<i>SERPINB8</i>	<i>RAB34</i>
<i>SERPINB9C</i>	<i>RAB35</i>
<i>SERPINC1</i>	<i>RAB31P</i>
<i>SERPINF1</i>	<i>RAB4B</i>
<i>SERPINF2</i>	<i>RAB6A</i>
<i>SERPINI1</i>	<i>RAB7L1</i>
<i>SERTAD2</i>	<i>RABEPK</i>
<i>SESN1</i>	<i>RABL4</i>
<i>SETD7</i>	<i>RACGAP1</i>
<i>SF3A1</i>	<i>RAD51</i>
<i>SF3B2</i>	<i>RAD51L1</i>
<i>SF3B4</i>	<i>RAD9A</i>
<i>SF3B5</i>	<i>RAD9B</i>
<i>SFRS11</i>	<i>RAG2</i>
<i>SFRS17B</i>	<i>RAGE</i>
<i>SFXN2</i>	<i>RAMP1</i>
<i>SFXN4</i>	<i>RAMP3</i>
<i>SGCG</i>	<i>RANBP2</i>
<i>SGIP1</i>	<i>RANGAP1</i>
<i>SGPP1</i>	<i>RAPGEF4</i>
<i>SGTB</i>	<i>RAPGEF5</i>
<i>SH2B3</i>	<i>RAPGEFL1</i>
<i>SH2D2A</i>	<i>RARRES1</i>
<i>SH3BGR</i>	<i>RASA1</i>
<i>SH3BP2</i>	<i>RASAL1</i>
<i>SH3BP5</i>	<i>RASAL2</i>
<i>SH3PXD2B</i>	<i>RASGRF1</i>
<i>SH3RF2</i>	<i>RASGRP3</i>
<i>SH3TC2</i>	<i>RASIP1</i>
<i>SH3YL1</i>	<i>RASL10B</i>
<i>SHISA3</i>	<i>RASSF2</i>

<i>SHKBP1</i>	<i>RASSF4</i>
<i>SIAH1A</i>	<i>RASSF5</i>
<i>SIAH1B</i>	<i>RAVER2</i>
<i>SIGIRR</i>	<i>RBM15</i>
<i>SIL1</i>	<i>RBM28</i>
<i>SIN3A</i>	<i>RBM35B</i>
<i>SIRT1</i>	<i>RBM4B</i>
<i>SIRT3</i>	<i>RBM5</i>
<i>SIX5</i>	<i>RBM6</i>
<i>SKIV2L2</i>	<i>RBM8A</i>
<i>SKP1A</i>	<i>RBMS2</i>
<i>SLC10A5</i>	<i>RCAN2</i>
<i>SLC16A2</i>	<i>RCL1</i>
<i>SLC16A4</i>	<i>RCN3</i>
<i>SLC17A5</i>	<i>RCOR2</i>
<i>SLC17A6</i>	<i>RDH12</i>
<i>SLC19A2</i>	<i>RDH16</i>
<i>SLC1A2</i>	<i>RECQL4</i>
<i>SLC1A5</i>	<i>REEP3</i>
<i>SLC22A18</i>	<i>REEP4</i>
<i>SLC22A2</i>	<i>REEP5</i>
<i>SLC23A2</i>	<i>REG3A</i>
<i>SLC24A1</i>	<i>RELA</i>
<i>SLC24A6</i>	<i>RELL1</i>
<i>SLC25A10</i>	<i>RELL2</i>
<i>SLC25A14</i>	<i>REXO4</i>
<i>SLC25A16</i>	<i>RFT1</i>
<i>SLC25A23</i>	<i>RFTN2</i>
<i>SLC25A25</i>	<i>RFX2</i>
<i>SLC25A38</i>	<i>RFX5</i>
<i>SLC25A46</i>	<i>RFXAP</i>
<i>SLC25A5</i>	<i>RFXDC1</i>
<i>SLC26A4</i>	<i>RGL4</i>
<i>SLC26A5</i>	<i>RGMA</i>
<i>SLC28A3</i>	<i>RGS10</i>
<i>SLC29A1</i>	<i>RGS22</i>
<i>SLC29A4</i>	<i>RGS4</i>
<i>SLC2A1</i>	<i>RGS7BP</i>
<i>SLC2A3</i>	<i>RHBDD1</i>
<i>SLC2A6</i>	<i>RHBG</i>
<i>SLC34A2</i>	<i>RHD</i>
<i>SLC35A5</i>	<i>RHEBL1</i>
<i>SLC35B1</i>	<i>RHOB</i>
<i>SLC35B2</i>	<i>RHOBTB1</i>
<i>SLC35B3</i>	<i>RHOC</i>
<i>SLC35B4</i>	<i>RHOD</i>

<i>SLC35C1</i>	<i>RHOQ</i>
<i>SLC35D1</i>	<i>RHOT2</i>
<i>SLC36A1</i>	<i>RICTOR</i>
<i>SLC37A1</i>	<i>RILPL2</i>
<i>SLC37A3</i>	<i>RIMS1</i>
<i>SLC38A11</i>	<i>RIOK2</i>
<i>SLC38A7</i>	<i>RIPK1</i>
<i>SLC39A11</i>	<i>RIPK4</i>
<i>SLC39A5</i>	<i>RNASE6</i>
<i>SLC3A1</i>	<i>RNASE7</i>
<i>SLC41A2</i>	<i>RNASEK</i>
<i>SLC41A3</i>	<i>RNASET2</i>
<i>SLC43A2</i>	<i>RND3</i>
<i>SLC43A3</i>	<i>RNF13</i>
<i>SLC46A3</i>	<i>RNF135</i>
<i>SLC47A2</i>	<i>RNF138</i>
<i>SLC4A10</i>	<i>RNF139</i>
<i>SLC4A9</i>	<i>RNF217</i>
<i>SLC5A11</i>	<i>RNF219</i>
<i>SLC6A13</i>	<i>RNF25</i>
<i>SLC6A17</i>	<i>RNF41</i>
<i>SLC6A20A</i>	<i>RNGTT</i>
<i>SLC6A4</i>	<i>RNUXA</i>
<i>SLC6A8</i>	<i>ROGDI</i>
<i>SLC7A10</i>	<i>ROM1</i>
<i>SLC7A13</i>	<i>ROR2</i>
<i>SLC7A4</i>	<i>RORA</i>
<i>SLC7A7</i>	<i>RORC</i>
<i>SLC9A2</i>	<i>RP11-529I10.4</i>
<i>SLCO2A1</i>	<i>RPA2</i>
<i>SLCO4A1</i>	<i>RPAP1</i>
<i>SLMO1</i>	<i>RPL10L</i>
<i>SMAD2</i>	<i>RPL11</i>
<i>SMARCAL1</i>	<i>RPL27A</i>
<i>SMARCD1</i>	<i>RPL37A</i>
<i>SMC6</i>	<i>RPP25</i>
<i>SMG7</i>	<i>RPP40</i>
<i>SMOX</i>	<i>RPRML</i>
<i>SMPD1</i>	<i>RPS20</i>
<i>SMPDL3B</i>	<i>RPS3</i>
<i>SMS</i>	<i>RPS6KA5</i>
<i>SMU1</i>	<i>RPS6KA6</i>
<i>SMYD1</i>	<i>RPS6KB2</i>
<i>SNAI1</i>	<i>RPTN</i>
<i>SNAPIN</i>	<i>RPUSD1</i>
<i>SNCG</i>	<i>RRAD</i>

<i>SNF1LK</i>	<i>RRAGA</i>
<i>SNF1LK2</i>	<i>RRAGD</i>
<i>SNN</i>	<i>RRAS</i>
<i>SNRK</i>	<i>RSBN1L</i>
<i>SNRP70</i>	<i>RSF1</i>
<i>SNTB1</i>	<i>RSPO1</i>
<i>SNX15</i>	<i>RSPO2</i>
<i>SNX19</i>	<i>RSPO4</i>
<i>SNX2</i>	<i>RTF1</i>
<i>SNX25</i>	<i>RTN4R</i>
<i>SNX29</i>	<i>RTN4RL1</i>
<i>SNX30</i>	<i>RTTN</i>
<i>SNX33</i>	<i>RUFY2</i>
<i>SNX4</i>	<i>RUNX1T1</i>
<i>SNX5</i>	<i>RXFP2</i>
<i>SOCS1</i>	<i>RXRB</i>
<i>SOCS2</i>	<i>S100A14</i>
<i>SOCS3</i>	<i>S100A3</i>
<i>SON</i>	<i>S100A5</i>
<i>SORCS2</i>	<i>S100A8</i>
<i>SOS1</i>	<i>S100P</i>
<i>SOSTDC1</i>	<i>SACS</i>
<i>SOX11</i>	<i>SALL4</i>
<i>SOX8</i>	<i>SAP30BP</i>
<i>SP4</i>	<i>SAP30L</i>
<i>SPAG6</i>	<i>SAPS3</i>
<i>SPAG7</i>	<i>SART3</i>
<i>SPARCL1</i>	<i>SAT1</i>
<i>SPATA16</i>	<i>SATB2</i>
<i>SPATA2</i>	<i>SBF1</i>
<i>SPCS2</i>	<i>SCAP</i>
<i>SPEER4B</i>	<i>SCEL</i>
<i>SPEER4D</i>	<i>SCGB1D2</i>
<i>SPEER4F</i>	<i>SCN1A</i>
<i>SPEF1</i>	<i>SCN2A</i>
<i>SPEN</i>	<i>SCN2B</i>
<i>SPHK2</i>	<i>SCN3A</i>
<i>SPIC</i>	<i>SCN4A</i>
<i>SPINK2</i>	<i>SCNN1A</i>
<i>SPINT1</i>	<i>SCNN1D</i>
<i>SPINT2</i>	<i>SCNN1G</i>
<i>SPNB3</i>	<i>SCRT1</i>
<i>SPOCK3</i>	<i>SDC2</i>
<i>SPON1</i>	<i>SDCBP2</i>
<i>SPP2</i>	<i>SDHD</i>
<i>SPRR2F</i>	<i>SEC22A</i>

<i>SPRR2K</i>	<i>SEC22C</i>
<i>SPTLC1</i>	<i>SEC23A</i>
<i>SPTLC2</i>	<i>SEC23B</i>
<i>SRFBP1</i>	<i>SEC61A1</i>
<i>SRP68</i>	<i>SEC61G</i>
<i>SRP72</i>	<i>SEH1L</i>
<i>SRPX2</i>	<i>SELENBP1</i>
<i>SRRP</i>	<i>SELS</i>
<i>SSBP2</i>	<i>SEMA3A</i>
<i>SSBP4</i>	<i>SEMA3B</i>
<i>SSR1</i>	<i>SEMA5A</i>
<i>SSR4</i>	<i>SEMA6D</i>
<i>SSTR1</i>	<i>SEMA7A</i>
<i>SSTR4</i>	<i>SENP3</i>
<i>SSTR5</i>	<i>SENP6</i>
<i>ST3GAL3</i>	<i>SEPN1</i>
<i>ST3GAL5</i>	<i>SEPSECS</i>
<i>ST6GAL1</i>	<i>SERAC1</i>
<i>ST6GAL2</i>	<i>SERP1</i>
<i>ST6GALNAC5</i>	<i>SERPINA1</i>
<i>STAC</i>	<i>SERPINA3</i>
<i>STAG3</i>	<i>SERPINB1</i>
<i>STARD3NL</i>	<i>SERPINB2</i>
<i>STAT3</i>	<i>SERPINB8</i>
<i>STC1</i>	<i>SERPINE1</i>
<i>STK17B</i>	<i>SERPINF2</i>
<i>STK19</i>	<i>SERPING1</i>
<i>STK38L</i>	<i>SESN1</i>
<i>STOX2</i>	<i>SESN2</i>
<i>STRN3</i>	<i>SETD1A</i>
<i>STT3B</i>	<i>SETD6</i>
<i>STUB1</i>	<i>SETD7</i>
<i>STX4A</i>	<i>SEZ6L2</i>
<i>STX5A</i>	<i>SF3A2</i>
<i>SUCLG1</i>	<i>SF3B3</i>
<i>SULF1</i>	<i>SF4</i>
<i>SULT5A1</i>	<i>SFN</i>
<i>SUNC1</i>	<i>SFRS10</i>
<i>SUOX</i>	<i>SFRS11</i>
<i>SUPT3H</i>	<i>SFRS16</i>
<i>SURF4</i>	<i>SFRS2IP</i>
<i>SVA</i>	<i>SFT2D2</i>
<i>SYNGR3</i>	<i>SFXN2</i>
<i>SYT1</i>	<i>SGCA</i>
<i>SYT15</i>	<i>SGCG</i>
<i>SYT4</i>	<i>SGEF</i>

<i>SYTL1</i>	<i>SGSM2</i>
<i>SYTL4</i>	<i>SH2D2A</i>
<i>SYVN1</i>	<i>SH3BGRL</i>
<i>T</i>	<i>SH3BGRL2</i>
<i>TAC1</i>	<i>SH3BP5</i>
<i>TACC2</i>	<i>SH3GL1</i>
<i>TADA3L</i>	<i>SH3MD4</i>
<i>TAF1C</i>	<i>SH3PXD2A</i>
<i>TAF8</i>	<i>SH3TC1</i>
<i>TAOK1</i>	<i>SHBG</i>
<i>TAS1R2</i>	<i>SHC4</i>
<i>TASP1</i>	<i>SHD</i>
<i>TATDN1</i>	<i>SHF</i>
<i>TBC1D12</i>	<i>SHMT2</i>
<i>TBC1D13</i>	<i>SHROOM2</i>
<i>TBC1D19</i>	<i>SIAH1</i>
<i>TBC1D20</i>	<i>SIDT1</i>
<i>TBCC</i>	<i>SIGLEC8</i>
<i>TBPL1</i>	<i>SIM2</i>
<i>TBPL2</i>	<i>SIN3A</i>
<i>TBRG4</i>	<i>SIRPB1</i>
<i>TBX10</i>	<i>SIX4</i>
<i>TBXA2R</i>	<i>SKAP2</i>
<i>TBXAS1</i>	<i>SKIL</i>
<i>TCF25</i>	<i>SKIV2L2</i>
<i>TCF7</i>	<i>SLC10A1</i>
<i>TCFCP2</i>	<i>SLC11A2</i>
<i>TCFCP2L1</i>	<i>SLC12A5</i>
<i>TCFEB</i>	<i>SLC12A7</i>
<i>TCFEC</i>	<i>SLC13A2</i>
<i>TCN2</i>	<i>SLC13A5</i>
<i>TCP1</i>	<i>SLC15A4</i>
<i>TCP10</i>	<i>SLC17A1</i>
<i>TCP11L1</i>	<i>SLC1A5</i>
<i>TCP11L2</i>	<i>SLC20A2</i>
<i>TCTA</i>	<i>SLC22A1</i>
<i>TDGF1</i>	<i>SLC22A11</i>
<i>TDH</i>	<i>SLC22A18</i>
<i>TDRD7</i>	<i>SLC22A5</i>
<i>TECTA</i>	<i>SLC22A8</i>
<i>TEDDM1</i>	<i>SLC25A10</i>
<i>TEP1</i>	<i>SLC25A12</i>
<i>TERF1</i>	<i>SLC25A15</i>
<i>TESP2</i>	<i>SLC25A24</i>
<i>TFDP2</i>	<i>SLC25A30</i>
<i>TFF3</i>	<i>SLC25A40</i>

<i>TFRC</i>	<i>SLC25A43</i>
<i>TG</i>	<i>SLC25A45</i>
<i>TGDS</i>	<i>SLC25A5</i>
<i>TGFBRAP1</i>	<i>SLC26A11</i>
<i>TGIF2</i>	<i>SLC26A9</i>
<i>THAP1</i>	<i>SLC29A1</i>
<i>THAP2</i>	<i>SLC2A1</i>
<i>THBD</i>	<i>SLC2A4RG</i>
<i>THRB</i>	<i>SLC30A4</i>
<i>THUMPD1</i>	<i>SLC30A7</i>
<i>THY1</i>	<i>SLC30A8</i>
<i>TICAM2</i>	<i>SLC35A4</i>
<i>TIMD2</i>	<i>SLC35A5</i>
<i>TIPARP</i>	<i>SLC35B3</i>
<i>TIRAP</i>	<i>SLC35D2</i>
<i>TJAP1</i>	<i>SLC35D3</i>
<i>TK2</i>	<i>SLC36A1</i>
<i>TKTL1</i>	<i>SLC37A1</i>
<i>TLN1</i>	<i>SLC37A3</i>
<i>TM2D2</i>	<i>SLC38A7</i>
<i>TM2D3</i>	<i>SLC38A9</i>
<i>TM4SF1</i>	<i>SLC39A5</i>
<i>TM7SF3</i>	<i>SLC39A9</i>
<i>TM9SF3</i>	<i>SLC41A2</i>
<i>TMC7</i>	<i>SLC41A3</i>
<i>TMCO1</i>	<i>SLC43A2</i>
<i>TMCO3</i>	<i>SLC45A3</i>
<i>TMCO4</i>	<i>SLC46A3</i>
<i>TMED3</i>	<i>SLC4A11</i>
<i>TMEFF1</i>	<i>SLC5A10</i>
<i>TMEM104</i>	<i>SLC5A11</i>
<i>TMEM121</i>	<i>SLC6A14</i>
<i>TMEM128</i>	<i>SLC6A3</i>
<i>TMEM132A</i>	<i>SLC6A4</i>
<i>TMEM135</i>	<i>SLC6A8</i>
<i>TMEM144</i>	<i>SLC7A10</i>
<i>TMEM154</i>	<i>SLC7A9</i>
<i>TMEM161A</i>	<i>SLC8A1</i>
<i>TMEM162</i>	<i>SLC9A6</i>
<i>TMEM177</i>	<i>SLC9A8</i>
<i>TMEM208</i>	<i>SLCO3A1</i>
<i>TMEM30B</i>	<i>SLCO5A1</i>
<i>TMEM37</i>	<i>SLCO6A1</i>
<i>TMEM40</i>	<i>SLFN5</i>
<i>TMEM41A</i>	<i>SLIT1</i>
<i>TMEM51</i>	<i>SLIT2</i>

<i>TMEM55A</i>	<i>SLITRK6</i>
<i>TMEM56</i>	<i>SLK</i>
<i>TMEM66</i>	<i>SLMAP</i>
<i>TMEM80</i>	<i>SLURP1</i>
<i>TMEM85</i>	<i>SMARCA4</i>
<i>TMEM90A</i>	<i>SMARCC1</i>
<i>TMOD1</i>	<i>SMARCD2</i>
<i>TMSB4X</i>	<i>SMC1B</i>
<i>TMTC3</i>	<i>SMC6</i>
<i>TNFAIP1</i>	<i>SMCP</i>
<i>TNFRSF13C</i>	<i>SMG5</i>
<i>TNFRSF19</i>	<i>SMPD1</i>
<i>TNFRSF21</i>	<i>SMUG1</i>
<i>TNFRSF22</i>	<i>SMYD5</i>
<i>TNFSF10</i>	<i>SNAI1</i>
<i>TNFSF11</i>	<i>SNAP29</i>
<i>TNNC2</i>	<i>SNAP91</i>
<i>TNNT3</i>	<i>SNAPIN</i>
<i>TNPO2</i>	<i>SNCA</i>
<i>TNRC4</i>	<i>SNCG</i>
<i>TOM1L1</i>	<i>SNED1</i>
<i>TOMM34</i>	<i>SNF1LK</i>
<i>TOMT</i>	<i>SNRK</i>
<i>TOP3A</i>	<i>SNRPC</i>
<i>TOR1AIP1</i>	<i>SNRPD1</i>
<i>TOX4</i>	<i>SNRPD3</i>
<i>TPD52L1</i>	<i>SNRPE</i>
<i>TPM2</i>	<i>SNX1</i>
<i>TPO</i>	<i>SNX10</i>
<i>TPPP3</i>	<i>SNX12</i>
<i>TPRGL</i>	<i>SNX13</i>
<i>TPRKB</i>	<i>SNX16</i>
<i>TPSB2</i>	<i>SNX2</i>
<i>TRAK2</i>	<i>SNX20</i>
<i>TREX1</i>	<i>SNX21</i>
<i>TRHR2</i>	<i>SNX25</i>
<i>TRIM11</i>	<i>SNX31</i>
<i>TRIM16</i>	<i>SNX33</i>
<i>TRIM31</i>	<i>SNX9</i>
<i>TRIM37</i>	<i>SOAT2</i>
<i>TRIM6</i>	<i>SOCS1</i>
<i>TRIML1</i>	<i>SOCS3</i>
<i>TRIT1</i>	<i>SORBS2</i>
<i>TRO</i>	<i>SOS1</i>
<i>TRP53INP2</i>	<i>SOX15</i>
<i>TRUB1</i>	<i>SOX6</i>

<i>TSEN54</i>	<i>SOX9</i>
<i>TSHB</i>	<i>SP140</i>
<i>TSHR</i>	<i>SP5</i>
<i>TSN</i>	<i>SPA17</i>
<i>TSP50</i>	<i>SPAG7</i>
<i>TSPAN10</i>	<i>SPATA16</i>
<i>TSPAN11</i>	<i>SPATA7</i>
<i>TSPAN14</i>	<i>SPATS2</i>
<i>TSPAN17</i>	<i>SPEF2</i>
<i>TSPYL1</i>	<i>SPEN</i>
<i>TSPYL2</i>	<i>SPERT</i>
<i>TSPYL4</i>	<i>SPHKAP</i>
<i>TSR1</i>	<i>SPINLW1</i>
<i>TSSK1</i>	<i>SPO11</i>
<i>TSTA3</i>	<i>SPON1</i>
<i>TTC12</i>	<i>SPON2</i>
<i>TTC19</i>	<i>SPRN</i>
<i>TTC21B</i>	<i>SPRYD3</i>
<i>TTC39B</i>	<i>SPSB1</i>
<i>TLL6</i>	<i>SPSB3</i>
<i>TTPA</i>	<i>SPTBN2</i>
<i>TTR</i>	<i>SPTBN4</i>
<i>TTYH1</i>	<i>SPTLC3</i>
<i>TTYH2</i>	<i>SQSTM1</i>
<i>TUBA1A</i>	<i>SR140</i>
<i>TUBA1C</i>	<i>SRC</i>
<i>TUBA3B</i>	<i>SRFBP1</i>
<i>TUBA4A</i>	<i>SRGAP1</i>
<i>TUBB3</i>	<i>SRGAP3</i>
<i>TUBGCP5</i>	<i>SRP54</i>
<i>TULP2</i>	<i>SRP72</i>
<i>TUT1</i>	<i>SRPRB</i>
<i>TXN1</i>	<i>SRPX2</i>
<i>TXNDC12</i>	<i>SS18L2</i>
<i>TXNDC13</i>	<i>SSR3</i>
<i>TXNDC16</i>	<i>SSTR1</i>
<i>TXNDC4</i>	<i>SSU72</i>
<i>U2AF1</i>	<i>SSX5</i>
<i>UACA</i>	<i>ST13</i>
<i>UBAC1</i>	<i>ST18</i>
<i>UBE1Y1</i>	<i>ST3GAL3</i>
<i>UBE2A</i>	<i>ST6GALNAC2</i>
<i>UBE2T</i>	<i>STAB2</i>
<i>UBE2U</i>	<i>STAG3</i>
<i>UBFD1</i>	<i>STAMBP</i>
<i>UBL4B</i>	<i>STAP1</i>

<i>UBN1</i>	<i>STAR</i>
<i>UBR2</i>	<i>STARD3</i>
<i>UBR7</i>	<i>STATH</i>
<i>UBTD1</i>	<i>STAU1</i>
<i>UBXN1</i>	<i>STC1</i>
<i>UCHL5IP</i>	<i>STEAP1</i>
<i>UCKL1</i>	<i>STEAP3</i>
<i>UFM1</i>	<i>STK10</i>
<i>UGCG</i>	<i>STK17B</i>
<i>UGP2</i>	<i>STK19</i>
<i>UGT2B34</i>	<i>STK3</i>
<i>UGT3A1</i>	<i>STK33</i>
<i>UHMK1</i>	<i>STK35</i>
<i>UHRF1</i>	<i>STK38</i>
<i>UHRF1BP1</i>	<i>STK4</i>
<i>ULK1</i>	<i>STMN3</i>
<i>UMOD</i>	<i>STOX2</i>
<i>UNC119B</i>	<i>STRA13</i>
<i>UNC93B1</i>	<i>STRAP</i>
<i>UNG</i>	<i>STX18</i>
<i>UNK</i>	<i>STX2</i>
<i>UNKL</i>	<i>STX4</i>
<i>UPP1</i>	<i>STX5</i>
<i>UQCRC1</i>	<i>STXBP1</i>
<i>URM1</i>	<i>SUGT1</i>
<i>UROC1</i>	<i>SULT1C2</i>
<i>UROS</i>	<i>SUMF2</i>
<i>USH1G</i>	<i>SUOX</i>
<i>USP12</i>	<i>SURF1</i>
<i>USP14</i>	<i>SURF4</i>
<i>USP32</i>	<i>SUSD1</i>
<i>USP37</i>	<i>SUSD3</i>
<i>USP43</i>	<i>SV2A</i>
<i>USP48</i>	<i>SVIP</i>
<i>USP6NL</i>	<i>SYF2</i>
<i>UTP15</i>	<i>SYMPK</i>
<i>UTS2</i>	<i>SYN2</i>
<i>UVRAG</i>	<i>SYNC1</i>
<i>UXT</i>	<i>SYNCRIP</i>
<i>V1RD6</i>	<i>SYNE1</i>
<i>VAMP8</i>	<i>SYNGR2</i>
<i>VARS</i>	<i>SYNGR3</i>
<i>VAT1</i>	<i>SYNJ1</i>
<i>VEGFC</i>	<i>SYNJ2</i>
<i>VIP</i>	<i>SYNPO2L</i>
<i>VIPR2</i>	<i>SYT1</i>

VIT	SYT12
VKORC1L1	SYT17
VPS24	SYT8
VPS28	SYVN1
VPS33A	TAC4
VPS33B	TACC2
VPS39	TACC3
VPS41	TAF7L
VPS4A	TAL2
VPS54	TANK
VRK1	TARBP1
VRK3	TASP1
VSX2	TATDN2
VTI1B	TATDN3
VWA2	TBC1D1
VWA5B2	TBC1D10A
WAP	TBC1D10B
WAPAL	TBC1D12
WARS2	TBC1D15
WAS	TBC1D19
WBP11	TBCE
WBSCR22	TBKBP1
WBSCR27	TBL2
WDR20B	TBP
WDR32	TBX5
WDR42A	TCF25
WDR45	TCF7L2
WDR59	TCFL5
WDR68	TCP1
WDR75	TCTE1
WDR82	TCTE3
WDR91	TCTN3
WDR92	TDRD6
WDR93	TDRD7
WDTC1	TEKT4
WEE1	TENC1
WHSC2	TEX2
WNT11	TFAP2B
WNT16	TFAP2C
WNT8A	TFB2M
WRNIP1	TFCP2L1
WSB2	TFG
WSCD1	TGFBI
WSCD2	TGIF2
WWP2	TH1L
XRCC5	THAP7

<i>XYLB</i>	<i>THBD</i>
<i>YIPF5</i>	<i>THEM2</i>
<i>YWHAB</i>	<i>THNSL1</i>
<i>ZBED3</i>	<i>THOP1</i>
<i>ZBED4</i>	<i>THRAP3</i>
<i>ZBP1</i>	<i>THSD3</i>
<i>ZBTB1</i>	<i>THUMPD1</i>
<i>ZBTB45</i>	<i>THUMPD3</i>
<i>ZBTB7B</i>	<i>THYN1</i>
<i>ZBTB80S</i>	<i>TICAM1</i>
<i>ZC3H3</i>	<i>TIFAB</i>
<i>ZC3HC1</i>	<i>TIGD1</i>
<i>ZCCHC17</i>	<i>TIGD5</i>
<i>ZCCHC3</i>	<i>TIMM17B</i>
<i>ZCCHC6</i>	<i>TIPIN</i>
<i>ZCCHC9</i>	<i>TJAP1</i>
<i>ZDHHC11</i>	<i>TJP2</i>
<i>ZDHHC16</i>	<i>TK2</i>
<i>ZDHHC20</i>	<i>TKTL1</i>
<i>ZER1</i>	<i>TKTL2</i>
<i>ZFAND2B</i>	<i>TLX2</i>
<i>ZFAND3</i>	<i>TM4SF20</i>
<i>ZFHX4</i>	<i>TM6SF1</i>
<i>ZFP106</i>	<i>TM6SF2</i>
<i>ZFP109</i>	<i>TM7SF4</i>
<i>ZFP110</i>	<i>TM9SF3</i>
<i>ZFP148</i>	<i>TM9SF4</i>
<i>ZFP157</i>	<i>TMC8</i>
<i>ZFP161</i>	<i>TMCC1</i>
<i>ZFP217</i>	<i>TMCC3</i>
<i>ZFP238</i>	<i>TMED7</i>
<i>ZFP281</i>	<i>TMEFF1</i>
<i>ZFP316</i>	<i>TMEM102</i>
<i>ZFP330</i>	<i>TMEM103</i>
<i>ZFP341</i>	<i>TMEM121</i>
<i>ZFP352</i>	<i>TMEM127</i>
<i>ZFP362</i>	<i>TMEM128</i>
<i>ZFP365</i>	<i>TMEM141</i>
<i>ZFP36L1</i>	<i>TMEM151A</i>
<i>ZFP385C</i>	<i>TMEM165</i>
<i>ZFP418</i>	<i>TMEM16F</i>
<i>ZFP438</i>	<i>TMEM170</i>
<i>ZFP456</i>	<i>TMEM173</i>
<i>ZFP498</i>	<i>TMEM174</i>
<i>ZFP512</i>	<i>TMEM176B</i>
<i>ZFP560</i>	<i>TMEM177</i>

ZFP568	TMEM184B
ZFP575	TMEM187
ZFP595	TMEM205
ZFP598	TMEM22
ZFP608	TMEM43
ZFP619	TMEM54
ZFP644	TMEM55A
ZFP664	TMEM59L
ZFP68	TMEM62
ZFP691	TMEM80
ZFP7	TMEM86B
ZFP715	TMEM97
ZFP748	TMF1
ZFP770	TMPRSS4
ZFP777	TMUB1
ZFP784	TNFAIP1
ZFP809	TNFAIP6
ZFP828	TNFRSF10B
ZFP830	TNFRSF10C
ZFP91	TNFRSF10D
ZFP94	TNFRSF13B
ZFYVE1	TNFRSF14
ZFYVE20	TNFRSF6B
ZMAT3	TNFSF10
ZNHIT3	TNFSF13B
ZNRF1	TNIP2
ZRANB3	TNKS2
ZUFSP	TNN
ZW10	TNNC2
ZXDB	TNRC4
ZYG11B	TNRC6C
ZYX	TNXB
	TOM1
	TOMM20
	TOMM34
	TOR1AIP1
	TPCN1
	TPP2
	TPPP2
	TPRG1L
	TRADD
	TRAF1
	TRAF3IP1
	TRAF5
	TRAF6
	TRAM2

TRAPPC2L
TRAPPC6B
TRDN
TRIM10
TRIM21
TRIM32
TRIM41
TRIM44
TRIM46
TRIM5
TRIM56
TRIM6
TRIOBP
TRIP11
TRIP6
TRMT1
TRMT5
TRMT6
TRMU
TRO
TRPA1
TRPM7
TRPV4
TRSPAP1
TSC1
TSC2
TSFM
TSGA13
TSHB
TSKU
TSLP
TSN
TSNARE1
TSP50
TSPYL2
TSPYL4
TSR2
TSSC4
TSSK6
TTC1
TTC23
TTC26
TTC29
TTC31
TTC5
TTC8

TTC9C
TTF2
TTLL12
TTLL4
TTLL5
TTLL7
TUBA1A
TUBB2A
TUBB6
TUBE1
TULP3
TUSC3
TUT1
TWF2
TXLNA
TXN2
TXNDC12
TXNDC13
TXNDC4
U1SNRNPBP
UACA
UAP1L1
UBA1
UBA52
UBAC1
UBAP1
UBASH3A
UBC
UBE2G2
UBE2I
UBN1
UBQLNL
UCN2
UCP2
UCP3
UGP2
UGT1A6
UGT1A8
UGT2A3
UHRF1BP1
ULBP1
UMOD
UNC119B
UNC13B
UNC45B
UNC93B1

UNK
UPK1A
UQCRC1
USF1
USP13
USP14
USP31
USP32
USP4
USP44
USP46
USP48
USP5
USP6
USP7
USP8
USP9Y
UTF1
UTP15
UTS2D
VAMP3
VAMP8
VARS
VAT1
VCL
VGLL3
VGLL4
VIT
VKORC1
VPRBP
VPS24
VPS29
VPS33B
VPS37A
VPS39
VPS8
VSIG1
VSIG4
VTI1B
VWA3B
VWF
WARS2
WBP11
WDFY4
WDR13
WDR26

WDR31
WDR33
WDR37
WDR47
WDR59
WDR6
WDR62
WDR81
WDR85
WDR91
WDR92
WDSOF1
WDTC1
WFDC1
WFDC10A
WFDC12
WFDC5
WFDC8
WHSC1L1
WIBG
WIPF1
WISP1
WNT4
WNT8A
WNT9B
WRNIP1
WSCD2
WWC1
XBP1
XPO4
XPO5
XPO6
XYLB
XYLT1
YDJC
YIF1A
YIF1B
YPEL3
YPEL5
YTHDC1
YTHDC2
YWHAB
YWHAZ
ZBTB25
ZBTB46
ZBTB5

ZBTB7A
ZBTB7B
ZC3H11A
ZC3H12A
ZC3H3
ZC3H7A
ZCCHC2
ZCCHC9
ZDHHC16
ZDHHC17
ZDHHC19
ZDHHC22
ZDHHC3
ZDHHC6
ZDHHC7
ZFHX3
ZFHX4
ZFP1
ZFP28
ZFP30
ZFP36L1
ZFP91
ZFYVE16
ZFYVE26
ZFYVE9
ZIC1
ZIC5
ZIK1
ZIM2
ZMYM4
ZNF114
ZNF124
ZNF132
ZNF135
ZNF148
ZNF16
ZNF169
ZNF175
ZNF187
ZNF193
ZNF20
ZNF202
ZNF211
ZNF224
ZNF233
ZNF238

ZNF264
ZNF274
ZNF275
ZNF277
ZNF280D
ZNF281
ZNF285A
ZNF317
ZNF346
ZNF35
ZNF358
ZNF362
ZNF385D
ZNF474
ZNF498
ZNF544
ZNF546
ZNF566
ZNF570
ZNF573
ZNF594
ZNF598
ZNF608
ZNF622
ZNF628
ZNF689
ZNF691
ZNF695
ZNF701
ZNF711
ZNF746
ZNF766
ZNF789
ZNF83
ZNF831
ZNF84
ZNHIT3
ZNRF1
ZNRF3
ZPLD1
ZRANB1
ZSCAN1
ZSWIM3
ZSWIM7
ZYG
ZZEF1